

# Konstrukcijsko rješenje oscilirajuće brusilice za drvo

---

**Kelčec-Pester, Matija**

**Undergraduate thesis / Završni rad**

**2015**

*Degree Grantor / Ustanova koja je dodijelila akademski / stručni stupanj: **University of Zagreb, Faculty of Mechanical Engineering and Naval Architecture / Sveučilište u Zagrebu, Fakultet strojarstva i brodogradnje***

*Permanent link / Trajna poveznica: <https://urn.nsk.hr/urn:nbn:hr:235:355200>*

*Rights / Prava: [In copyright/Zaštićeno autorskim pravom.](#)*

*Download date / Datum preuzimanja: **2024-06-30***

*Repository / Repozitorij:*

[Repository of Faculty of Mechanical Engineering and Naval Architecture University of Zagreb](#)



SVEUČILIŠTE U ZAGREBU  
FAKULTET STROJARSTVA I BRODOGRADNJE

# ZAVRŠNI RAD

**Matija Kelčec-Pester**

Zagreb, 2015.

SVEUČILIŠTE U ZAGREBU  
FAKULTET STROJARSTVA I BRODOGRADNJE

# ZAVRŠNI RAD

Mentor:

Doc. dr. sc. Dragan Žeželj, dipl. ing.

Student:

Matija Kelčec-Pester

Zagreb, 2015.

Izjavljujem da sam ovaj rad izradio samostalno koristeći stečena znanja tijekom studija i navedenu literaturu.

Zahvaljujem se mentoru doc. dr. sc. Draganu Žeželju na strpljenju i korisnim savjetima.

Također, zahvaljujem se i svojoj obitelji na velikoj podršci i razumijevanju tijekom preddiplomskog studija.

Matija Kelčec-Pester



SVEUČILIŠTE U ZAGREBU  
FAKULTET STROJARSTVA I BRODOGRADNJE



Središnje povjerenstvo za završne i diplomske ispite

Povjerenstvo za završne ispite studija strojarstva za smjerove:  
procesno-energetski, konstrukcijski, brodostrojarski i inženjersko modeliranje i računalne simulacije

Sveučilište u Zagrebu	
Fakultet strojarstva i brodogradnje	
Datum	Prilog
Klasa:	
Ur.broj:	

## ZAVRŠNI ZADATAK

Student: **Matija Kelčec - Pester** Mat. br.: 0035182417

Naslov rada na hrvatskom jeziku: **Konstrukcijsko rješenje oscilirajuće brusilice za drvo**

Naslov rada na engleskom jeziku: **Design solution for a oscillating spindle sander for wood**

Opis zadatka:

Oscilirajuća brusilica za drvo je stroj namijenjen završnoj obradi drvenih obradaka čiji su bridovi krivulje proizvoljnog oblika. Koristi se pri pojedinačnoj proizvodnji tako da se unaprijed definira linija budućeg brida na obratku, a zatim alat brusilice odstranjuje materijal do definirane linije pomicanjem obratka rukama korisnika. Specifičnost ovog tipa brusilice je gibanje alata, brusnog tuljca. Alat se giba istovremenom rotacijom oko svoje osi i oscilirajućom translacijom uzduž iste. Primarna svrha rotacijskog gibanja je odvajanje čestica drva. Translacijsko gibanje je potrebno zbog povećanja trajnosti i iskoristivosti brusnog tuljca te boljeg odvođenja trenjem generirane topoline.

U okviru rada je potrebno načiniti konstrukcijsko rješenje brusilice. Tijekom razrade u obzir treba uzeti sljedeće:

- broj okretaja alata do  $2000 \text{ min}^{-1}$
- broj translacijskih oscilacija alata do  $75 \text{ min}^{-1}$
- amplituda translacijskih oscilacija alata do 40 mm
- pretpostavljena potrebna snaga motora je 0,75 kW
- dimenzije radne površine do 600 mm x 600 mm
- mogućnost nagiba radne površine za  $45^\circ$  u odnosu na vodoravnu ravninu
- postolje stroja je samostojeće
- predviđjeti priključak za usisavanje drvene prašine
- sigurnost rada s otvorenim rotacijskim dijelovima.

Konstrukcijsko rješenje modelirati uporabom 3D programa te prikazati sklopnim crtežom, a dijelove odabrane u dogovoru s mentorom razraditi do razine radioničkih crteža.

U radu navesti korištenu literaturu, norme kao i eventualnu pomoć.

Zadatak zadan:

5. svibnja 2015.

Rok predaje rada:

2. rok: 17. rujna 2015.

Predviđeni datumi obrane:

2. rok: 21., 22., i 23. rujna 2015.

Zadatak zadao:

Doc. dr. sc. Dragan Žeželj

Predsjednik Povjerenstva:

Prof. dr. sc. Igor Balen

## SADRŽAJ

SADRŽAJ .....	I
POPIS SLIKA .....	II
POPIS TABLICA.....	III
POPIS TEHNIČKE DOKUMENTACIJE .....	IV
POPIS OZNAKA .....	V
SAŽETAK.....	XI
1. UVOD.....	1
1.1. Brušenje.....	1
1.2. Materijali abrazivnih čestica .....	2
1.3. Drvo .....	3
1.3.1. Građa i svojstva drva.....	3
2. FUNKCIJSKA DEKOMPOZICIJA.....	5
3. MORFOLOŠKA MATRICA .....	6
4. KONCEPTI.....	8
4.1. Koncept 1 .....	8
4.2. Koncept 2 .....	9
4.3. Koncept 3 .....	10
4.4. Vrednovanje koncepata.....	12
5. PRORAČUN.....	14
5.1. Ulagani parametri.....	14
5.2. Odabir motora .....	14
5.3. Proračun remenskog prijenosa .....	15
5.4. Određivanje kinematskih parametara mehanizma za translaciju .....	18
5.5. Geometrijske karakteristike pužnog para.....	19
5.6. Sile koje djeluju na mehanizam pri podizanju alata.....	22
5.7. Provjera čvrstoće vratila.....	27
5.7.1. Ulagano vratilo brusilice .....	27
5.7.2. Izlazno vratilo brusilice.....	37
5.8. Provjera čvrstoće vodilica .....	54
5.9. Provjera čvrstoće poluge .....	60
5.10. Provjera čvrstoće svornjaka u ekscentru .....	61
5.11. Provjera površinskog tlaka u kliznom ležaju pužnog kola.....	62
6. ZAKLJUČAK.....	63
LITERATURA.....	64
PRILOZI.....	65

## POPIS SLIKA

Slika 1.	Princip djelovanja abrazivne čestice (a), tračno brušenje (b), cilindrično brušenje	1
Slika 2.	Funkcijska dekompozicija .....	5
Slika 3.	Koncept 1 .....	8
Slika 4.	Koncept 2 .....	9
Slika 5.	Koncept 3 .....	11
Slika 6.	Shema prijenosa klinastim remenjem.....	16
Slika 7.	Faktor trenja u pužnom paru .....	20
Slika 8.	Mehanizam za translaciju.....	23
Slika 9.	Ovisnost ubrzanja o kutu zakreta pužnog kola.....	23
Slika 10.	Grafovi normalne, resultantne sile na polugu i ukupne sile za podizanje sklopa .	24
Slika 11.	Grafovi tangencijalne, radijalne i resultantne sile.....	25
Slika 12.	Tangencijalne sile na pužnom kolu .....	25
Slika 13.	Reakcije u ležajevima ulaznog vratila .....	27
Slika 14.	Konstrukcijske duljine i promjeri ulaznog vratila.....	28
Slika 15.	Faktori koncentracije naprezanja prema [6] .....	30
Slika 16.	Faktori koncentracije naprezanja prema [6] .....	31
Slika 19.	Opterećenje vratila u Z-X ravnini.....	37
Slika 18.	Opterećenje vratila u Z-Y ravnini.....	37
Slika 17.	Prostorno opterećenje vratila.....	37
Slika 20.	Konstrukcijske duljine i presjeci na izlaznom vratilu .....	40
Slika 21.	Graf iz [21] za određivanje $\beta_{kt}$ za dijelove sa cilindričnim provrtom .....	41
Slika 22.	Moment tromosti presjeka sa provrtom.....	41
Slika 23.	Dinamički faktori X i Y .....	51
Slika 24.	Izlaznog vratilo u deformiranom obliku.....	53
Slika 25.	Model izlaznog vratila sa definiranim opterećenjima (ljubičasto) i ograničenjima (zeleno).....	53
Slika 26.	Prikaz vrijednosti resultantne deformacije u pojedinim točkama na mjestu pužnog vijka .....	54
Slika 27.	Redukcija reakcijskih sila na os nosive ploče .....	55
Slika 28.	Redukcija opterećenja na os nosive ploče .....	56
Slika 29.	Redukcija reakcija nosive ploče na točku vodilice .....	57
Slika 30.	Redukcija opterećenja vodilice.....	58
Slika 31.	Skica poluge mehanizma.....	60
Slika 32.	Skica opterećenja svornjaka .....	61
Slika 33.	Dimenzije kliznog ležaja .....	62

## POPIS TABLICA

Tablica 1.	Granulacija brusnih traka .....	2
Tablica 2.	Morfološka matrica .....	6
Tablica 3.	Vrednovanje koncepta .....	12
Tablica 4.	Karakteristike motora .....	14
Tablica 5.	Sila za translatiranje alata.....	23
Tablica 6.	Izrazi za sile.....	24
Tablica 7.	Sile na pužnom paru .....	26

## POPIS TEHNIČKE DOKUMENTACIJE

BROJ CRTEŽA	Naziv iz sastavnice
1-0-0-0-00	Sklop oscilirajuće brusilice
1-1-0-0-00	Zavareni sklop stola
1-2-0-0-00	Zglob
1-3-0-0-00	Pogonski sklop
1-3-1-0-00	Mehanizam za translaciju
1-3-1-0-01	Izlazno vratilo
1-3-1-0-02	Kućište ležajeva
1-3-1-0-03	Pužni vijak
1-3-1-0-04	Ploča mehanizma
1-3-1-1-00	Sklop pužnog kola
1-3-1-1-01	Pužno kolo
1-3-2-0-00	Sklop nosive ploče
1-3-2-0-00	Nosiva ploča
1-3-4-0-00	Sklop ulaznog vratila
1-3-4-0-01	Ulazno vratilo
1-3-4-0-02	Prirubnica
1-4-0-0-00	Postolje

## POPIS OZNAKA

Oznaka	Jedinica	Opis
$A$	$\text{mm}^2$	Projicirana površina brusnog tuljca (alata)
$A_s$	$\text{mm}^2$	Površina kritičnog presjeka
$A_l$	$\text{mm}^2$	Projicirana površina ležaja
$a$	mm	Osni razmak
$a_l$	$\text{m}/\text{s}^2$	Ubrzanje translatirajuće mase
$a'$	mm	Iskustvena vrijednost osnog razmaka remenskog prijenosa
$b_1$	mm	Korisna duljina pužnog vijka
$b_1$	-	Faktor veličine strojnog dijela
$b_2$	-	Faktor površinske obrade
C	N	Dinamička nosivost ležaja
$C_1$	N	Dinamička opterećenost ležaja
$c_1$	-	Faktor obuhvatnog kuta za izbor klinastih remena
$c_1$	mm	Tjemena zračnost pužnog vijka
$c_1$	-	Faktor za odnose $D/d \neq 2$
$c_2$	-	Faktor opterećenja za izbor klinastih remena
$c_2$	-	Faktor za odnose $D/d \neq 1,4$
$c_3$	-	Faktor duljine za izbor klinastih remena
$c_4$	-	Faktor djelovanja za izbor klinastih remena
$c_5$	-	Faktor prijenosnog omjera za izbor klinastih remena
$d$	mm	Promjer vratila ili osovine
$d_A$	mm	Vanjski promjer pužnog kola
$d_{a1}$	mm	Promjer tjemene kružnice
$d_{a2}$	mm	Tjemeni promjer

$d_{BA}$	mm	Promjer brusnog tuljca
$d_{f1}$	mm	Promjer podnožne kružnice pužnog vijka
$d_{f2}$	mm	Podnožni promjer pužnog kola
$d_{m1}$	mm	Srednji promjer puža
$d_{m2}$	mm	Promjer srednje kružnice
$d_1$	mm	Aktivni promjer remenice na motoru
$d_2$	mm	Aktivni promjer remenice na ulaznom vratilu
$E$	-	Eksponent vijeka trajanja
$e_{nm}$	mm	Širina uzubine
$F_{a1}$	N	Aksijalna sila na pužnom vijku
$F_{a2}$	N	Aksijalna sila na pužnom kolu
$F_{AX}$	N	Reakcijska sila u točki A u smjeru osi X
$F_{AY}$	N	Reakcijska sila u točki A u smjeru Y osi
$F_{BV}$	N	Sila otpora brušenja pri translatornom gibanju
$F_{BX}$	N	Reakcijska sila u točki B u smjeru osi X
$F_{BY}$	N	Reakcijska sila u točki B u smjeru Y osi
$F_{BZ}$	N	Reakcijska sila u točki B u smjeru osi Z
$F_I$	N	Inercijska sila
$F_K$	N	Rezultantna sila na polugu
$F_L$	N	Ukupna sila potrebna za translatiranje
$F_N$	N	Normalna sila
$F_O$	N	Vlačna sila u remenu
$F_{PR}$	N	Sila pritiska obratka o alat
$F_{RM}$	N	Dopušteno radijalno opterećenje vratila
$F_R$	N	Radijalna sila
$F_{R1}$	N	Radijalna sila na pužnom vijku
$F_{R2}$	N	Radijalna sila na pužnom kolu

$F_T$	N	Tangencijalna sila
$F_{T1}$	N	Obodna sila na pužnom vijku
$F_{T2}$	N	Obodna sila na pužnom kolu
$F_{TP2}$	N	Tangencijalna sila na pužnom kolu
$F_{VR}$	N	Sila kojom remenski prijenos opterećuje vratila
$F_Y$	N	Suma sila u smjeru osi A
$F_{rez}$	N	Rezultantna poprečna sila
$f_B$	$s^{-1}$	Učestalost savijanja remena
$f_{fdop}$	mm	Iskustvena granica dopuštenog progiba vratila na mjestu puža
$h$	mm	Ukupna visina zuba
$h_{a1}$	mm	Tjedena visina zuba
$h_{a2}$	mm	Tjedena visina pužnog kola
$h_{f1}$	mm	Podnožna visina zuba
$h_{f2}$	mm	Podnožna visina pužnog kola
$i_P$	-	Prijenosni omjer pužnog para
$i_R$	-	Prijenosni omjer remenskog prijenosa
$K_1$	-	Faktor udara
$L$	mm	Standardna aktivna duljina remena
$L'$	mm	Aktivna duljina remena
$L_{10h\_min}$	h	Zahtijevani nazivni vijek trajanja ležaja u satima
$l$	mm	Duljina poluge
$l_{BA}$	mm	Radna duljina brusnog tuljca
$M_A$	Nmm	Suma momenata oko točke A
$M_{BV}$	Nmm	Moment oko osi y nakon redukcije sile $F_{BV}$
$M_{red}$	Nmm	Reducirani moment savijanja
$M_{YP}$	Nmm	Moment oko osi x nakon redukcije sile $F_{al}$
$m$	mm	Modul pužnog prijenosnika

$m_T$	kg	Masa svih dijelova koji translatiraju
$n_1$	$\text{min}^{-1}$	Kutna brzina motora
$n_2$	$\text{min}^{-1}$	Broj okretaja ulaznog vratila stroja
$n_{PK}$	$\text{min}^{-1}$	Broj okretaja pužnog kola
$n_T$	$\text{min}^{-1}$	Odabrani broj translacija alata
$P$	kW	Snaga motora
$P$	mm	Uspon pužnog vijka
$P_1$	W	Snaga potrebna na strani pužnog vijka
$P_{2T}$	W	Snaga na strani pužnog kola
$P_c$	kW	Udarna snaga
$p_a$	mm	Aksijalni korak
$P_N$	kW	Nazivna snaga koju remen određenog profila može prenijeti
$P_r$	N	Ekvivalentno dinamičko radikalno opterećenje
$Q$	N	Ukupna težina dijelova koji translatiraju
$r$	mm	Radius ekscentričnog prvrta u pužnom kolu
$r_K$	mm	Polumjer zakrivljenja tjemena pužnog kola
$S$	-	Koeficijent sigurnosti u presjeku
$s$	mm	Amplituda hoda alata
$s_{nm}$	mm	Debljina zuba
$s_{am}$	mm	Aksijalna debljina zuba
$T_{BR}$	Nmm	Raspoloživ torzijski moment za brušenje na alatu
$T_n$	Nm	Nazivni moment motora
$T_u$	Nmm	Ulazni torzijski moment na izlaznom vratilu
$T_{1\max}$	Nmm	Okretni moment na pužnom vijku
$T_2$	Nm	Torzijski moment na gonjenoj remenici
$t_1$	mm	Dubina utora za pero
$v$	m/s	Brzina remena

$v_K$	m/s	Brzina klizanja
$W$	mm <sup>3</sup>	Moment otpornosti presjeka
$x$	mm	Radijalni pomak vratila za prednaprezanje
$y$	mm	Radijalni pomak vratila za montažu
$z$	-	Potreban broj remena
$z_F$	-	Faktor oblika puža
$z_1$	-	Broj zubi pužnog vijka
$z_2$	-	Broj zubi
$\alpha$	°	Kut zahvatne crte u aksijalnom presjeku
$\alpha$	°	Kut zakreta pužnog kola
$\alpha_n$	°	Kut zahvatne crte u normalnom presjeku
$\alpha_{ks}$	-	Faktor koncentracije naprezanja za savijanje
$\alpha_{kt}$	-	Faktor koncentracije naprezanja za uvijanje
$\alpha_0$	-	Faktor čvrstoće materijala
$\beta$	°	Kut nagiba vučnog i slobodnog kraja remena
$\beta$	°	Kut pomaka stapa od osi cilindra
$\beta_{kt}$	-	Faktor zareznog djelovanja kod torzijskog opterećenja
$\beta_{kt1,4}$	-	Faktor kod uvijanja za odnos D/d=1,4
$\gamma_m$	°	Srednji kut uspona
$\sigma$	N/mm <sup>2</sup>	Naprezanje u presjeku
$\sigma_{ekv}$	N/mm <sup>2</sup>	Ekvivalentno naprezanje
$\eta_B$	-	Gubici bućkanja ulja
$\eta_k$	-	Faktor osjetljivosti materijala
$\eta_{KL}$	-	Gubici u kliznim ležajevima
$\eta_{PP}$	-	Gubici ozubljenja
$\eta_R$	-	Korisnost remenskog prijenosa

$\lambda$	-	Faktor odnosa duljine stapa i radiusa ekscentričnosti
$\rho$	mm	Polumjer zakrivljenosti na mjestu koncentratora naprezanja
$\rho'$	°	Kut trenja
$\tau$	N/mm <sup>2</sup>	Smično naprezanje
$\omega_1$	s <sup>-1</sup>	kutna brzina pužnog vijka
$\omega_2$	s <sup>-1</sup>	Kutna brzina okretanja pužnog kola

## **SAŽETAK**

Brušenje je abrazivan postupak obrade drva koji se primjenjuje najčešće u završnoj fazi obrade proizvoda. Svrha brušenja je postizanje manje hraptavosti površine kao i konačnog oblika i dimenzija, uklanjanje prirodnih površinskih nedostataka kao i onih nastalih tijekom prijašnjih, grubljih obrada.

Cilj ovog rada bio je načiniti konstrukcijsko rješenje brusilice kojom će se moći postići složena geometrija obratka u pojedinačnoj proizvodnji uz povećanje trajnosti brusnog tuljca te bolje odvođenje trenjem generirane topoline. Tim zahtjevima je udovoljeno konstruiranjem brusilice kod koje brusni tuljac rotira i istovremeno translatira uzduž svoje osi.

U uvodu završnog rada je opisan proces brušenja te značajke drva. U drugom dijelu rada je opisano konstrukcijsko rješenje brusilice te provedena provjera čvrstoće ključnih komponenata.

Ključne riječi: brusilica za drvo, oscilirajuće gibanje alata

## SUMMARY

Sanding is an abrasive process of wood machining which is usually applied in final stage of product manufacturing. The purpose of sanding is achieving lower roughness of the wood surface and final shape and dimensions of the product, removing of natural surface imperfections as well as the imperfections from previous coarser machining stages.

The goal of this paper was to design a solution for a sander with which it will be possible to make complex geometry in craft production, with increased durability of sanding sleeve and better dissipation of heat generated by friction. Those goals were achieved by designing a sander in which sanding sleeve rotates and simultaneously translates along the same axis.

In the introduction of this paper a sanding process and wood characteristics are described. In the second part of the paper design solution of the sander is described and required calculations of critical components are carried out.

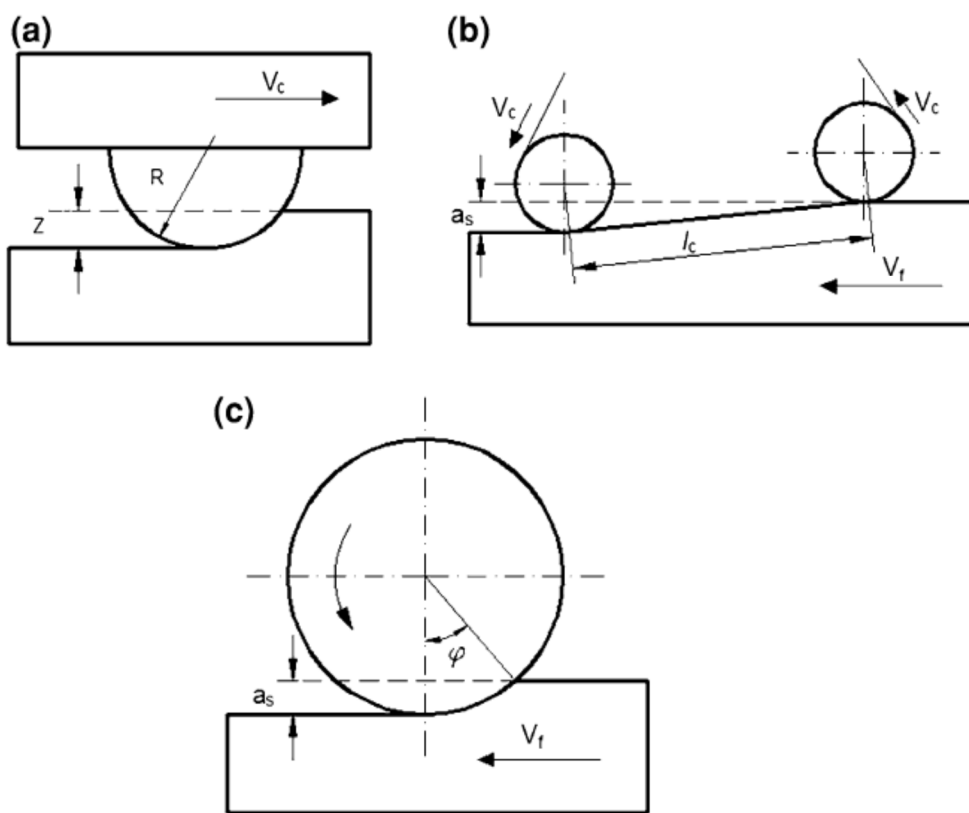
Key words: wood sander, tool oscillating motion

## 1. UVOD

### 1.1. Brušenje

Brušenje je proces obrade kod kojeg se abrazivnim česticama koje se relativno gibaju u odnosu na obradak uklanja materijal. Zbog komplikirane geometrije abrazivne čestice, tj. oštice pri analiziranju procesa rezanja ona se pojednostavljeno promatra kao djelovanje kuglastog indentora na obradak, Slika 1 (a).

Formiranje odvojene čestice ovisi o granici tečenja drva pri tlačnom opterećenju, vertikalnom opterećenju na abrazivnu česticu i njenom radijusu zaobljenja  $R$  te brzini rezanja  $V_c$ . Brušenje karakterizira mali presjek odvojene čestice. Specifičnost brušenja kao obrade odvajanjem čestica je negativni prednji kut te nasumičan položaj abrazivne čestice u matrici.



Slika 1. Princip djelovanja abrazivne čestice (a), tračno brušenje (b), cilindrično brušenje

U općenitom smislu glavna svrha brušenja je postizanje kvalitetne površine koja se ocjenjuje parametrima hrapavosti površine ( $R_z$ ,  $R_{max}$ ,  $R_a$  itd.). Radni parametri koji najviše utječu na postizanje određene kvalitete površine su površinski tlak između alata i obratka, brzina posmaka alata, granulacija brusa te brzina brušenja. Točan opis procesa rezanja

abrazivnim česticama nije moguć, pa ga se aproksimira raznim empirijskim formulama odnosno podacima dobivenima na temelju eksperimenata.

U drvnoj industriji pri brušenju se najčešće koriste papirne trake sa nanesenim abrazivnim česticama koje se razlikuju osim po materijalu čestica i po granulaciji. Na primjer, brusna traka manje granulacije ima abrazivne čestice većih promjera te manju gustoću čestica. Postoji nekoliko standarda koji definiraju granulaciju brusnih traka. U Europi se najviše koristi onaj federacije proizvođača abraziva (FEPA) koji je istovjetan standardu ISO 6344. Po tom standardu granulacija brusnih papira se definira slovom P i brojem. Različite granulacije i njihova primjena se vidi u Tablica 1.

**Tablica 1. Granulacija brusnih traka**

Ekstra grubo, za vrlo brzo uklanjanje velikih količina materijala	P12, P16, P20, P24, P30, P36
Grubo, brzo uklanjanje materijala	P40, P50
Srednje grubo, priprema drva za završnu obradu, pogodno za skidanje premaza	P60, P80
Fino, priprema za završnu obradu, nije pogodno za skidanje premaza	P100, P120
Vrlo fino	P150, P180, P220

## 1.2. Materijali abrazivnih čestica

Materijali abrazivnih čestica koji se najčešće primjenjuju za brušenje u drvnoj industriji su aluminijev oksid ( $\text{Al}_2\text{O}_3$ ) te silicijev karbid (SiC). Ta dva materijala se razlikuju po fizikalnim parametrima tvrdoće i koeficijenata toplinske vodljivosti. Silicijev karbid ima tvrdoću od 9,7, a aluminijev oksid 9,0 mjereno po Mohsovom ljestvici. Koeficijent toplinske vodljivosti silicijevog karbida je  $\lambda=41 \text{ W/m}\cdot\text{K}$ , dok aluminijevog oksida  $\lambda=20 \text{ W/m}\cdot\text{K}$ . Veliki koeficijent vodljivosti je značajno svojstvo pri brušenju drvnih kompozita koji sadrže ljepila. U industrijskoj praksi čestice aluminijevog oksida se pretežno rabe za brušenje obradaka od punog drva, a one od silicijevog karbida za obradu drvnih kompozita. Razlog za to je što pri povišenim temperaturama koje se razvijaju pri brušenju dolazi do omekšavanja ljepila u kompozitu što može uzrokovati njihovo razmazivanje te začepljenje prostora između abrazivnih čestica.

### 1.3. Drvo

Drvo je prirodan materijal koji se može upotrebljavati u neobrađenom i obrađenom stanju.

Razlikuju se 3 temeljne vrste drva:

- lišićari (drvo bjelogorice)
- četinari (drvo crnogorice)
- egzotočna drva

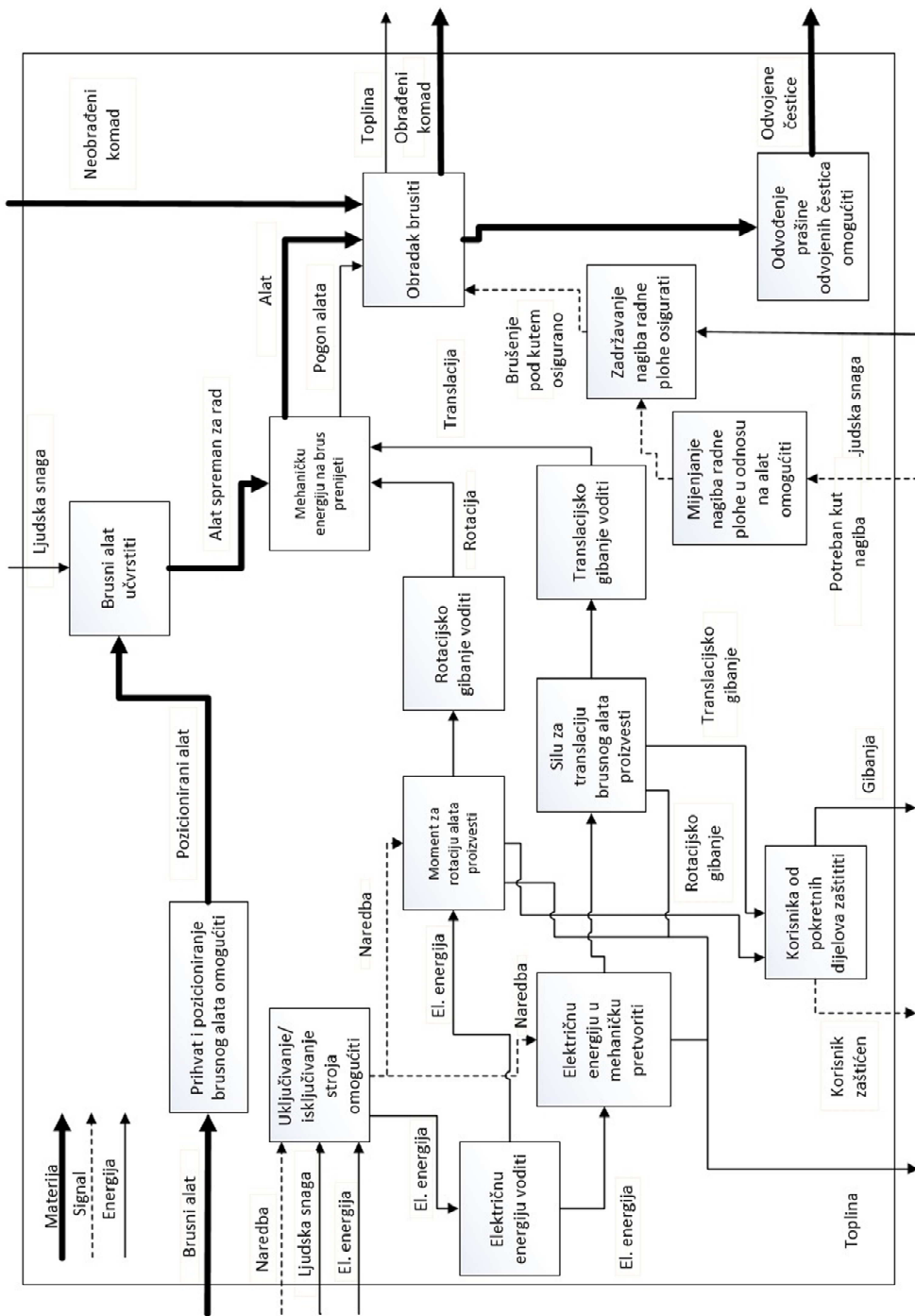
U lišićare spadaju hrast, bukva, jasen, orah i dr. Četinari su ariš, bor, jela, smreka itd., a egzotična drva mahagonij, cedar, ebanovina itd.

#### 1.3.1. Građa i svojstva drva

Pod drvom se razumijeva stablo, grana i korijen nakon skidanja kore. Po svojoj građi drvo nije homogeno. Drvo se pretežno sastoji od celuloze, lignina i smola. Promatra li se struktura drva, uočavaju se celulozna vlakna, vezivo (lignin) i praznine. Celuloza se nalazi u stjenkama stanica. Stanice su većinom cjevastog oblika te su na krajevima zašiljene. One tvore usmjerena vlakna koja su međusobno povezana ligninom, tvari sličnoj duromernoj smoli. Celulozne molekule stijenki stanica raspoređene su tako da mogu preuzeti različita naprezanja. Često su raspoređene u stijenki cijevi u obliku dvostrukih spirala kako bi se mogla preuzeti i smična naprezanja. Iz navedenog proizlazi da je drvo vlaknaste strukture te da se sastoji od stanica koje su smještene radijalno u odnosu na os debla. Različite brzine rasta u pojedinim godišnjim dobima daju u proljeće mekane, svijetle, u ljeti i jeseni tamnije i tvrde stanice (godovi). Jedno od temeljnih svojstava drva je gustoća. Gustoća pojedine vrste drva ponajprije ovisi o debljini stijenke celulozne cijevi u odnosu prema šupljini. Čvrstoća uvelike ovisi o smjeru vlakana. Prilikom opterećenja u smjeru vlakana postižu se najviše, a okomito na taj smjer najmanje vrijednosti vlačne čvrstoće. Čvrstoća se smanjuje povišenjem sadržaja vlage. Zbog izvijanja vlakana tlačna čvrstoća iznosi samo oko polovice vlačne čvrstoće. Pri smičnom opterećenju vrijednosti dobivene za smjer opterećenja koji je okomit na smjer vlakana biti će više. Vlačna čvrstoća pojedinih vrsta drva razmjerna je gustoći. Iz makroskopski nehomogene grade slijedi da se ne mogu očekivati jednolična svojstva. Mehanička svojstva drva vrlo su anizotropna. Vlačna čvrstoća u smjeru vlakana približno je dvostruka u odnosu na tlačnu čvrstoću budući da vlakna pod tlačnim opterećenjem zbog izvijanja pucaju. Čvrstoća je u smjeru okomitom prema osi vlakana slaba. Približno ona iznosi 1/50 vlačne i 1/20 tlačne čvrstoće u smjeru osi vlakana.. Unatoč tome, drvo je uslijed povoljnog omjera čvrstoće prema gustoći

omiljeni konstrukcijski materijal u građevinarstvu. Drvo se odlikuje malom gustoćom, razmjerno visokom čvrstoćom i lakom obradom. Svojstva drva mogu se poboljšati rezanjem na tanke ploče (furnire) te njihovim sljepljivanjem.

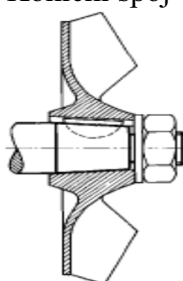
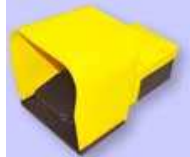
## 2. FUNKCIJSKA DEKOMPOZICIJA

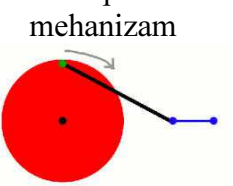
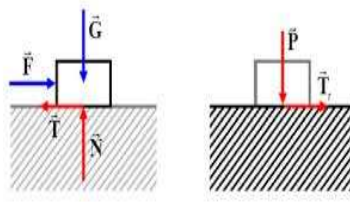


Slika 2. Funkcijska dekompozicija

### 3. MORFOLOŠKA MATRICA

**Tablica 2. Morfološka matrica**

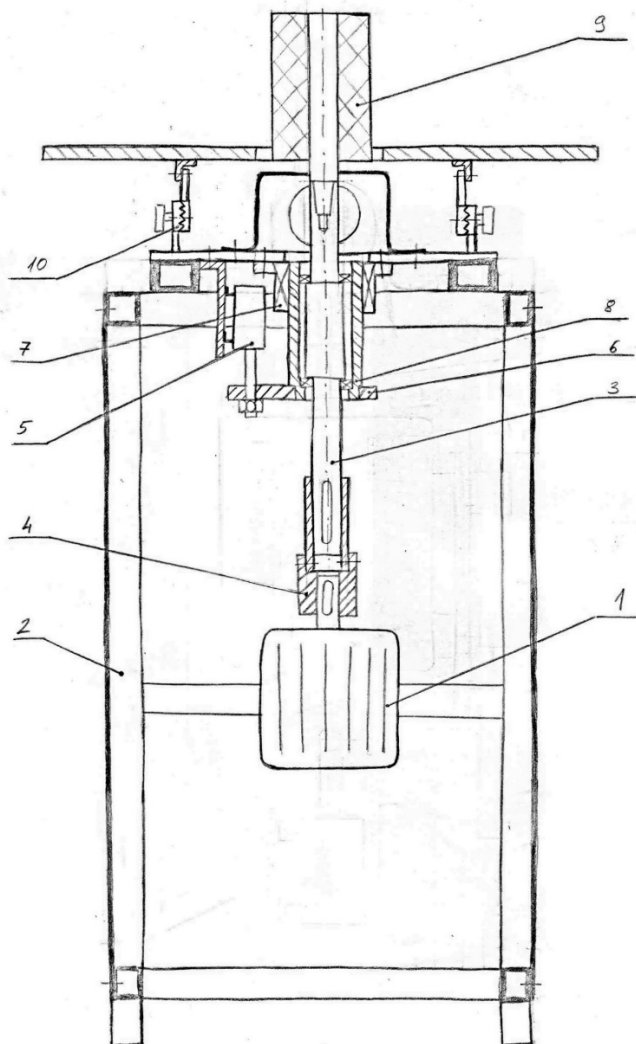
1. Prihvati brusnog alata omogućiti	Vratilo 		
2. Brusni alat učvrstiti	Pero DIN 6885 	Vijak	Konični spoj 
3. Uključivanje/Isključivanje stroja omogućiti	Tipkalo 	Nožna papuča 	
4. Električnu energiju voditi	Strujni kabel 		
5. Moment za rotaciju alata proizvesti	Električni motor 		
6. Rotacijsko gibanje voditi	Valjnim ležajevima 	Kliznim ležajevima 	
8. Električnu energiju u mehaničku pretvoriti	Električni motor 	Kompresor zraka 	

8. Silu za translaciju alata proizvesti	Pneumatski cilindar 	Pužni par 	Klipni mehanizam 
9. Translacijsko gibanje voditi	Klizni ležaj 	Valjni linearni ležaj 	
10. Mehaničku energiju na brus prenijeti	Krutom spojkom 	Teleskopskim vratilom 	
11. Korisnika od pokretnih dijelova zaštitići	Limenom oplatom 	Žičanom ogradom 	
12. Mijenjanje nagiba radne plohe omogućiti	2-D zglob 	3-D zglob 	
13. Zadržavanje nagiba radne plohe osigurati	Trenjem  Hirthovim ozubljenjem 	Hirthovim ozubljenjem 	Osiguračem 
14. Odvođenje prašine odvojenih čestica omogućiti	Standardni priključak za usisivač 		

## 4. KONCEPTI

### 4.1. Koncept 1

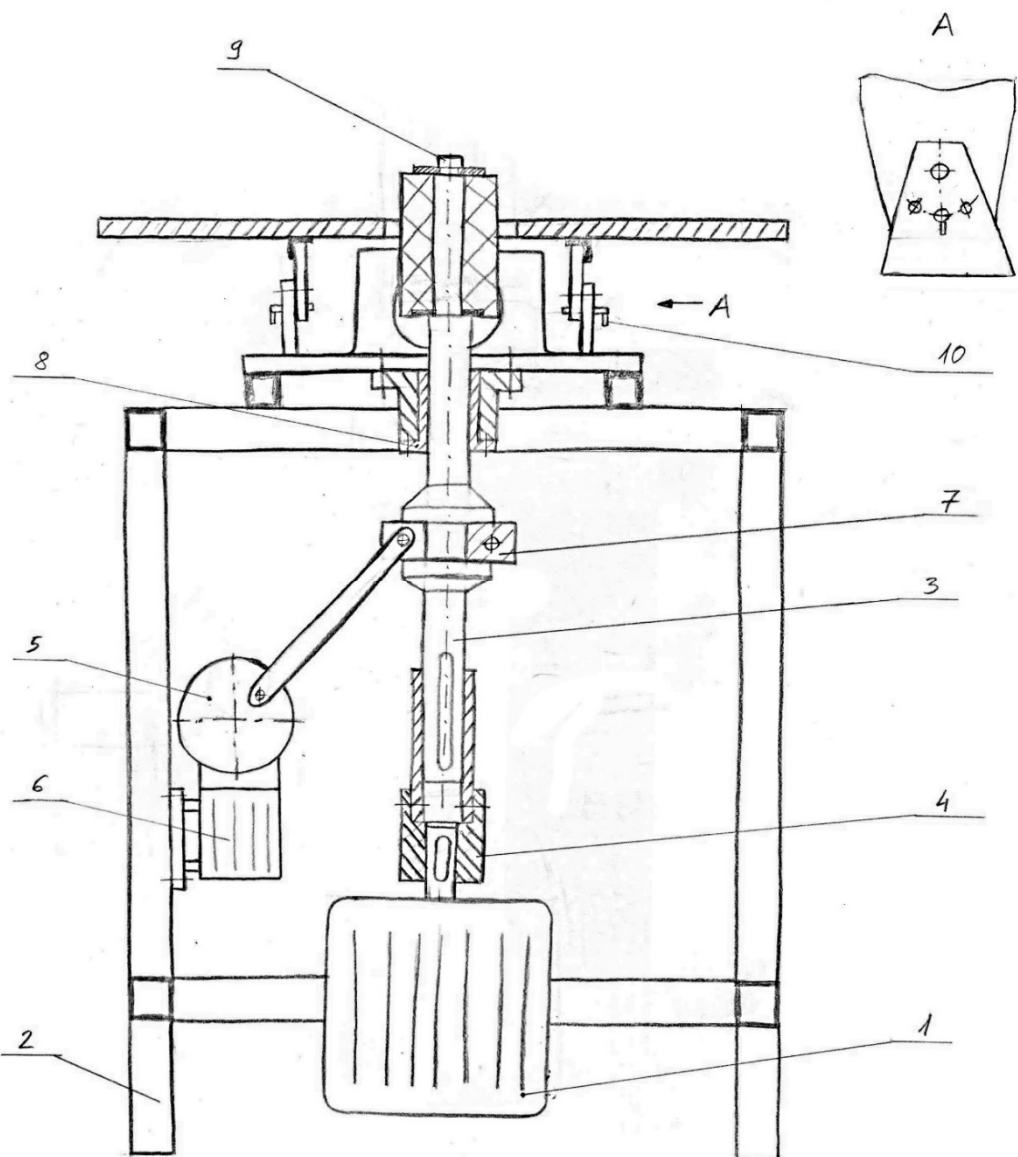
Elektromotor (poz. 1), čvrsto vezan za postolje (poz. 2) je spojen sa vratilom (poz. 3) na kojem se nalazi brusni alat preko spojke (poz. 4). Jedan ulaz spojke je čvrsto spojen sa elektromotorom dok drugi omogućava vratilu da slobodno kliže, tj. translatира. Za translatorno gibanje vratila je odgovoran pneumatski cilindar (poz. 5). Pneumatski cilindar je vezan sa nosačem vratila (poz. 6) vijčanim spojem. Za pravocrtno vođenje nosača vratila je odgovoran valjni linearni ležaj (poz. 7), dok su za vodenje vratila unutar nosača vratila odgovorni valjni ležajevi (poz. 8). Brusni alat (poz. 9) se na vratilo spaja preko koničnog i vijčanog spoja. Nagib radne plohe se može mijenjati otpuštanjem vijka koji drži u spoju Hirthovo ozubljenje (poz. 10).



Slika 3. Koncept 1

#### 4.2. Koncept 2

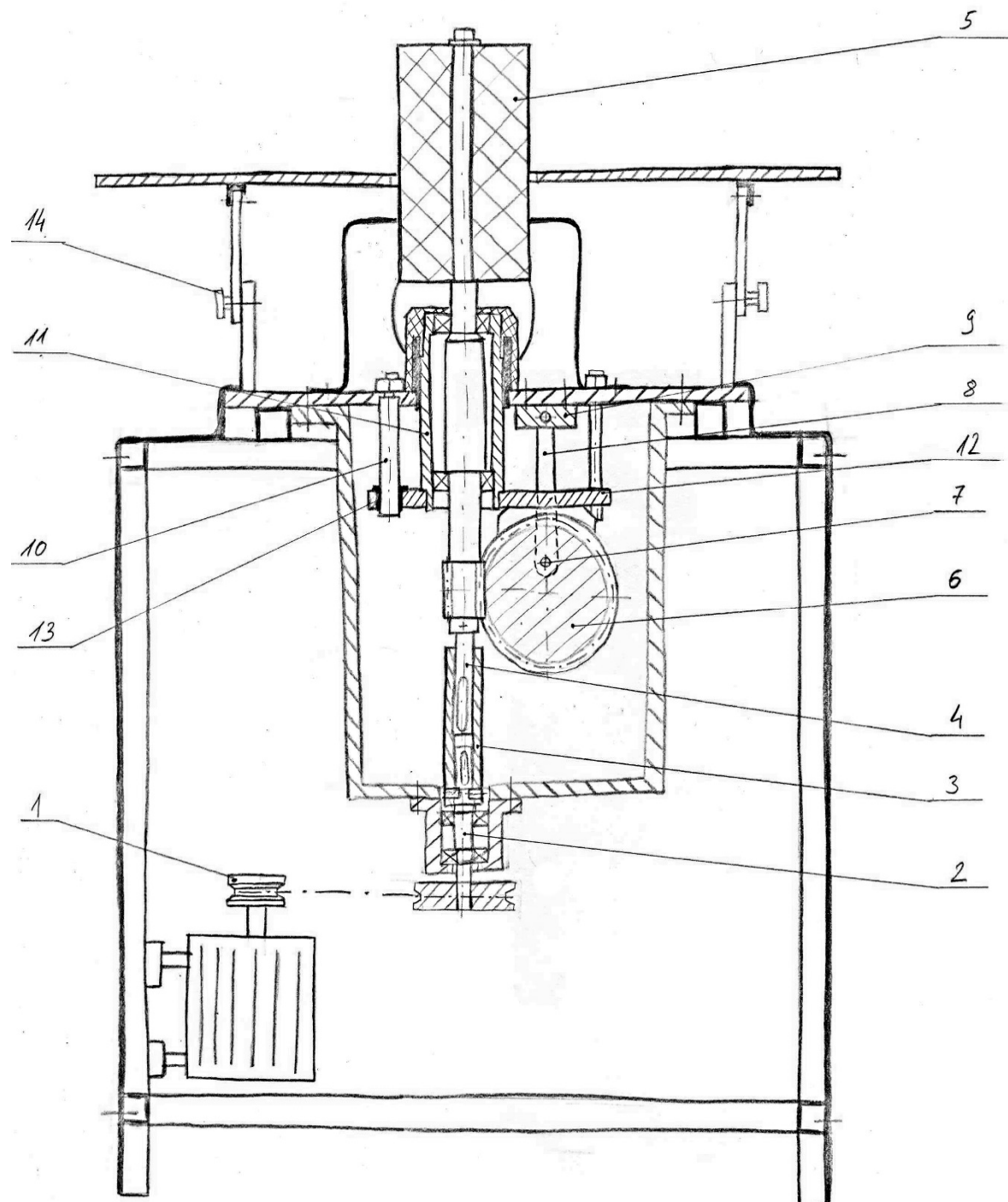
Elektromotor (poz. 1), čvrsto vezan za postolje (poz. 2) je spojen sa vratilom (poz. 3) na kojem se nalazi brusni alat preko spojke (poz. 4). Jedan ulaz spojke je čvrsto spojen sa elektromotorom dok drugi omogućava vratilu da slobodnu translaciju. Translatorno gibanje vratila omogućava klipni mehanizam (poz. 5) koji se pogoni zasebnim motorom (poz. 6). Translacija se sa mehanizma na vratilo prenosi preko kliznog ležaja (poz. 7) s obzirom da vratilo istovremeno i rotira. Za vođenje vratila pri translaciji i rotaciji je odgovoran klizni ležaj (poz. 8). Brusni alat je na vratilo učvršćen vijkom (poz. 9). Nagib radne plohe se mijenja izvlačenjem osigurača (poz. 10) te njegovim premještanjem u željeni provrt



Slika 4. Koncept 2

### 4.3. Koncept 3

Preko remenskog prijenosa (poz. 1) sa prenosi snaga na ulazno vratilo (poz. 2). Ulazno vratilo je krutom spojkom (poz. 3) povezano sa izlaznim vratilom (poz. 4). Vratila su sa spojkom povezana preko pera. Izlazno vratilo prenosi većinu snage na alat (poz. 5), a dio prenosi preko pužnog para (poz. 6) na mehanizam za stvaranje translacijskog gibanja. Rotacijom pužnog kola dolazi do rotacije svornjaka (poz. 7) koji je uložen u ekscentričan provrt u pužnom kolu. Taj svornjak istodobno svojim krajevima prolazi kroz dvije poluge (poz. 8), koje se nalaze sa svake strane pužnog kola. Drugi kraj poluga je preko svornjaka povezan na fiksni blok (poz. 9). Spajanjem poluga jednim njihovim krajem na potpuno nepomičan blok postiže se pretvaranje rotacije pužnog kola u translaciju. Shema mehanizma je istovjetna klipnom mehanizmu. Translacijsko gibanje sklopa je osigurano preko vodilica (poz 10). Zbog zupčane veze između pužnog kola i puža te vodilicama osigurane translacija dolazi do ostvarenja istovremene translacije izlaznog vratila u skladu sa prijenosnim omjerom pužnog para i ekscentra te istovremene rotacije prenesene remenskim prijenosom (izlazno vratilo je uležišteno u cijevi (poz. 11), a ta cijev je steznim spojem povezana sa pločom (poz. 12) na koju je vezano pužno kolo kao i klizni ležajevi za vodilice (poz. 13)). Nagib radne plohe se mijenja otpuštanjem vijka (poz. 14), ručnim postavljanjem radne plohe pod željeni nagib te ponovnim zatezanjem vijka.



Slika 5. Koncept 3

#### 4.4. Vrednovanje koncepata

Koncepti se uspoređuju metodom koja koristi težinske faktore. Kriterijima su dodijeljeni težinski faktori čija je suma jednaka jedan. Ocjene se dodjeljuju u rasponu od jedan do pet. Ocjena jedan se dodjeljuje ako kriterij u potpunosti nije zadovoljen, a 5 ukoliko je kriterij u potpunosti zadovoljen.

**Tablica 3. Vrednovanje koncepata**

Kriterij	Težinski faktor	Koncept 1		Koncept 2		Koncept 3	
		Ocjena	Težinska ocjena	Ocjena	Težinska ocjena	Ocjena	Težinska ocjena
Mala masa stroja	0,1	5	0,5	2	0,2	3	0,1
Malo zauzeće prostora	0,2	5	1	2	0,2	3	0,6
Niska cijena	0,2	2	0,4	2	0,4	3	0,6
Preciznost namještanja kuta nagiba radne plohe	0,1	4	0,4	2	0,1	5	0,5
Otpornost podsklopova na drvenu prašinu i mala potreba za održavanjem	0,3	2	0,6	4	1,2	5	1,5
Niska bučnost	0,1	1	0,1	4	0,4	4	0,4
$\Sigma$	1		3		2,5		3,7

Iz rezultata vrednovanja koncepata se vidi da je najbolji Koncept 3 te će on biti detaljnije razrađen.

Prednosti trećeg koncepta u odnosu na ostala dva su niža prepostavljena cijena proizvodnje jer Koncept 1 koristi pneumatski dvoradni cilindar koji za oscilirajuće gibanje zahtjeva dodatne

elemente poput senzora krajnjih položaja, razvodnika te regulatora protoka,a Koncept 2 dodatan motor i reduktor.

Mala prednost mu je i što se kut nagiba radne plohe može postaviti na bilo koji iznos unutar raspona od 0 do 45 stupnjeva zbog toga što se položaj ostvaruje bezstupanjskom rotacijom zgloba i održavanjem u zadanom položaju trenjem između dijelova zgloba. Koncept 1 koristi Hirthovo ozubljenje kojemu je broj mogućih međupo položaja određen brojem zubaca. Prednost Hirthovog ozubljenja bi bila veća sigurnost zadržavanja zadanog položaja zbog veze zubcima (oblikom) no zbog male mase obradaka proklizavanje zgloba iz koncepta 3 pod opterećenjem nije vjerojatno.

Vitalni dijelovi oscilirajućeg mehanizma kod Koncepta 3 su zatvoreni unutar spremnika sa uljem tako da je ostvarena njihova potpuna zaštita od prašine uz podmazivanje za dugotrajan rad sa rijetkim izmjenama ulja (zbog toga što se ovakvi strojevi koriste najčešće u pojedinačnoj proizvodnji bez intenzivnog dugotrajnog opterećenja period izmjene ulja je dugačak).

Nedostatak korištenja pneumatskog elementa u Konceptu 1 je nešto veća bučnost zbog ekspanzije zraka (radnog medija).

## 5. PRORAČUN

### 5.1. Ulazni parametri

Ulagani parametri opterećenja alata potrebni za konstrukciju brusilice ovise o mnogim faktorima kao što su vrsta obrađivanog drva i njegova gustoća, vlažnost drva, posmična brzina alata i brzina rezanja, granulaciji brusne trake itd. Zbog velikog broja utjecajnih parametara, a relativno slabe pokrivenosti tehnologije brušenja literaturom u odnosu na druge tehnologije obrade drva te manjka dostupne literature, za proračun konstrukcije su korištene okvirne vrijednosti pronadene u literaturi [11],[12],[13], [14]. Pretraživanjem znanstvenih članaka može se uočiti da je najčešće ispitivano drvo bukve, a njegova svojstva usporedbom sa drugim vrstama drva se mogu ocijeniti kao prosječna. Korištenjem tih podataka može se pretpostaviti da će stroj zadovoljiti većinu zahtjeva.

Ulagani parametri za proračun:

- $p = 0,01 \text{ N/mm}^2$ , tlačno opterećenje alata
- $F_{BV} = 40 \text{ N}$ , sila otpora brušenja pri translatornom gibanju
- $P = 0,75 \text{ kW}$ , pretpostavljena potrebna snaga motora
- Broj okretaja alata do  $2000 \text{ min}^{-1}$
- Broj translacijskih oscilacija alata do  $75 \text{ min}^{-1}$

### 5.2. Odabir motora

Prema zadanoj snazi motora od  $0,75 \text{ kW}$  iz kataloga tvrtke Končar je odabran motor sa oznakom 5AZ 80-A2. To je trofazni asinkroni motor.

**Tablica 4. Karakteristike motora**

Snaga	$P = 0,75 \text{ kW}$
Nazivni broj okretaja	$n_1 = 2830 \text{ min}^{-1}$
Dopušteno radikalno opterećenje vratila	$F_{RM} = 470 \text{ N}$

Nazivni moment motora izračunat je prema uputi proizvođača [18]:

$$T_n = \frac{P \cdot 9550}{n_1} = \frac{0,75 \cdot 9550}{2830} = 2,53 \text{ Nm} \quad (1)$$

### 5.3. Proračun remenskog prijenosa

Proračun je proveden prema [9].

#### Prijenosni omjer i promjeri remenica

Na temelju istraživanja postojećih oscilirajućih brusilica na tržištu i njihovih karakteristika odabran je ciljani broj okretaja alata od  $1750 \text{ min}^{-1}$ , to je ujedno i broj okretaja ulaznog vratila stroja.

$$i_R = \frac{n_1}{n_2} = \frac{2830}{1750} = 1,62 \quad (2)$$

$i_R$  - prijenosni omjer remenskog prijenosa

$n_2$  - broj okretaja ulaznog vratila stroja

Odabran je uski profil klinastog remena SPZ, DIN 7753, na temelju udarne snage te brzine vrtnje male remenice

$$P_C = P \cdot c_2 = 0,75 \cdot 1 = 0,75 \text{ kW} \quad (3)$$

$P_c$  - udarna snaga

$c_2$  - faktor opterećenja prema smjernicama za izbor klinastih remena, DIN 7753

Iz prijenosnog omjera i odabirom aktivnog promjera remenice na motoru iz kataloga proizvođača [19] izračunava se potreban aktivni promjer remenice na ulaznom vratilu stroja.

$$i_R = \frac{d_2}{d_1}, d_2 = i_R \cdot d_1 = 1,62 \cdot 50 = 81 \text{ mm} \quad (4)$$

$d_1$  - aktivni promjer remenice na motoru

$d_2$  - aktivni promjer remenice na ulaznom vratilu

Promjer  $d_{w2}$  je zaokružen na prvu bližu vrijednost,  $d_{w2}=80 \text{ mm}$  kako bi se mogla odabrati standardna remenica iz kataloga.

Novi prijenosni omjer sa standardnim remenicama

$$i_R = \frac{d_2}{d_1} = \frac{80}{50} = 1,6 \quad (5)$$

Iz novog prijenosnog omjera slijedi konačna brzina vrtnje ulaznog vratila, odnosno alata.

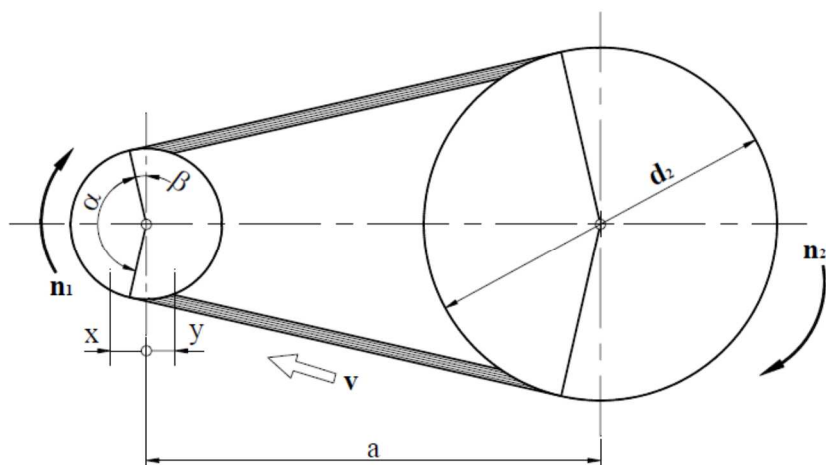
$$n_2 = \frac{n_1}{i_R} = \frac{2830}{1,6} = 1768,75 \text{ min}^{-1} \quad (6)$$

Torzijski moment na gonjenoj remenici

$$T_2 = T_n \cdot i_R \cdot \eta_R = 2,53 \cdot 1,6 \cdot 0,95 = 3,85 \text{ Nm} \quad (7)$$

$\eta_R$  - korisnost remenskog prijenosa

### Proračun duljine remena i potrebnog broj remena



Slika 6. Shema prijenosa klinastim remenjem

Iskustvena vrijednost osnog razmaka  $a'$  prema [9]:

$$a' = 0,7(d_1 + d_2) = 0,7(50 + 80) = 91 \text{ mm} \quad (8)$$

Iz nje slijedi približna aktivna duljina remena  $L'$ :

$$\begin{aligned} L' &= 2 \cdot a' \cdot \cos(\beta) + \frac{\pi}{2} \cdot (d_1 + d_2) + \frac{\beta \cdot \pi}{180^\circ} \cdot (d_2 - d_1) \\ L' &= 2 \cdot 91 \cdot \cos(9,49^\circ) + \frac{\pi}{2} \cdot (50 + 80) + \frac{9,49^\circ \cdot \pi}{180^\circ} \cdot (80 - 50) \\ L' &= 388,68 \text{ mm} \end{aligned} \quad (9)$$

$\beta$  - kut nagiba vučnog i slobodnog kraja remena

$$\beta = \arcsin\left(\frac{d_2 - d_1}{2 \cdot a'}\right) = \arcsin\left(\frac{80 - 50}{2 \cdot 91}\right) = 9,49^\circ \quad (10)$$

Dobivena aktivna duljina remena je zaokružena na standardnu vrijednost:

$$L = 487 \text{ mm}$$

Stvarni osni razmak sada iznosi

$$a \cong a' + \frac{L - L'}{2} = 91 + \frac{487 - 388,68}{2} = 140,2 \text{ mm} \quad (11)$$

Potreban broj remena z:

$$z = \frac{P \cdot c_2}{P_N \cdot c_1 \cdot c_3 \cdot c_4 \cdot c_5} = \frac{0,75 \cdot 1}{4,09 \cdot 0,95 \cdot 0,82 \cdot 0,24 \cdot 1,31} = 0,75 \quad (12)$$

$c_1$  - faktor obuhvatnog kuta

$c_3$  - faktor duljine

$c_4$  - faktor djelovanja

$c_5$  - faktor prijenosnog omjera

$P_N$  - nazivna snaga koju remen određenog profila može prenijeti

Računski broj remena je potrebno zaokružiti na prvi veći cijeli broj tako da je potreban 1 remen

### Provjera učestalosti savijanja

Učestalost savijanja se računa prema izrazu

$$f_B = z' \cdot \frac{v}{L} = 2 \cdot \frac{7,4}{0,487} = 30,4 \text{ s}^{-1} \leq f_{B\text{dop}} = 100 \text{ s}^{-1} \quad (13)$$

$v$  - brzina remena

$$v = \frac{d_1 \cdot n_1 \cdot \pi}{2 \cdot 30} = \frac{0,05 \cdot 2830 \cdot \pi}{60} = 7,4 \text{ m/s} \quad (14)$$

### Potrebni radikalni pomaci vratila

Za normalan rad remenskog prijenosa potrebno je ostvariti prednaprezanje u remenu pomakom jedne od remenica. Potreban pomak  $x$  iznosi:

$$x \geq 0,02 \cdot L = 0,02 \cdot 487 = 9,74 \text{ mm} \quad (15)$$

Za potrebe montaže potrebno je omogućiti pomak jedne od remenica u smjeru suprotnom od smjera pomaka za prednaprezanje. Potreban pomak  $y$  iznosi:

$$y \geq 0,015 \cdot L = 0,015 \cdot 487 = 7,3 \text{ mm} \quad (16)$$

### Opterećenje vratila

Iznos sile  $F_{VR}$  kojom remenski prijenos opterećuje vratila

$$F_{VR} = 2 \cdot F_0 = 2 \cdot 101,4 = 202,8 \text{ N} \quad (17)$$

$F_O$  - vlačna sila koja je jednaka obodnoj sili na aktivnom promjeru remenice

$$F_0 = \frac{P}{v} = \frac{750}{7,4} = 101,4 \text{ N} \quad (18)$$

Iznos sile  $F_{VR}$  je manji od dopuštenog iznosa radijalne sile na vratilu elektromotora koja iznosi 470 N.

### 5.4. Određivanje kinematskih parametara mehanizma za translaciju

Za pretvaranje rotacijskog u translacijsko gibanje je odgovoran svornjak uložen u ekscentričan provrt na pužnom kolu.

Radius na kojem se nalazi ekscentričan provrt se određuje iz amplitude hoda alata.

$$r = \frac{s}{2} = \frac{36}{2} = 18 \text{ mm} \quad (19)$$

$s$  - amplituda hoda alata, odabрано

Prijenosnim omjerom pužnog para određen je broj translacija alata.

Jedan okretaj pužnog kola rezultira sa 2 translacije pa je broj okretaja pužnog kola:

$$n_{PK} = \frac{n_T}{2} = \frac{74}{2} = 37 \text{ min}^{-1} \quad (20)$$

$n_{PK}$  - broj okretaja pužnog kola,  $\text{min}^{-1}$

$n_T$  - odabrani broj translacija alata,  $\text{min}^{-1}$

Iz potrebnog broja okretaja pužnog kola izračuna se potreban prijenosni omjer pužnog para:

$$i_P = \frac{n_2}{n_{PK}} = \frac{1768,75}{37} = 47,8 \quad (21)$$

Prema DIN 3976 su standardizirani prijenosni omjeri za pužne prijenosnike, a u skladu sa tom normom je odabran prijenosni omjer  $i_P = 49$ . Iz novog prijenosnog omjera slijede:

$$n_T = 2 \cdot n_{PK} = 2 \cdot 36,1 = 72,2 \text{ min}^{-1} \quad (22)$$

$$n_{PK} = \frac{n_2}{i_{PP}} = \frac{1768,75}{49} = 36,1 \text{ min}^{-1} \quad (23)$$

## 5.5. Geometrijske karakteristike pužnog para

Za daljnji proračun je potrebno definirati geometrijske karakteristike pužnog para.

Na temelju konstrukcijskog uvjeta da je vrijednost radijusa ekscentra u pužnom kolu 18 mm, prema mogućnostima smještaja pužnog para unutar konstrukcije te tehnološkim mogućnostima izrade u skladu sa DIN 3976 i DIN 780 geometrijske karakteristike su slijedeće:

Modul pužnog prijenosnika:  $m = 2 \text{ mm}$

Osni razmak:  $a = 63 \text{ mm}$

Prijenosni omjer:  $i_P = 49$

### Pužni vijak

Broj zubi pužnog vijka:  $z_1 = 1$

Tip pužnog vijka: ZA

Srednji promjer puža:  $d_{m1} = 0,45 \cdot a = 0,45 \cdot 63 \approx 28 \text{ mm} = d_1$

Faktor oblika puža:  $z_F = \frac{d_{m1}}{m} = \frac{28}{2} = 14$

Srednji kut uspona:  $\tan \gamma_m = \frac{z_1}{z_F} = \frac{1}{14} = 0,07$ ,  $\gamma_m = 4,086^\circ$

Aksijalni korak:  $p_a = \pi \cdot m = \pi \cdot 2 = 6,283 \text{ mm}$

Uspon:  $P = z_1 \cdot p_a = 1 \cdot 6,283 = 6,283 \text{ mm}$

Kut zahvatne crte u normalnom presjeku:  $\alpha_n = 20^\circ = \alpha_w$

Kut zahvatne crte u aksijalnom presjeku:  $\alpha = 20^\circ$

Tjemena visina zuba:  $h_{a1} = 1 \cdot m = 1 \cdot 2 = 2 \text{ mm}$

Podnožna visina zuba:  $h_{f1} = 1,2 \cdot m = 1,2 \cdot 2 = 2,4 \text{ mm}$

Ukupna visina zuba:  $h = h_1 = h_{a1} + h_{f1} = 2 + 2,4 = 4,4 \text{ mm}$

Promjer tjemene kružnice:  $d_{a1} = d_{m1} + 2 \cdot h_{a1} = 28 + 2 \cdot 2 = 32 \text{ mm}$

Tjemena zračnost:  $c_1 = 0,2 \cdot m = 0,2 \cdot 2 = 0,4 \text{ mm}$

Promjer podnožne kružnice:  $d_{f1} = d_{m1} - (2 \cdot m + 2 \cdot c_1)$

$$d_{f1} = 28 - (2 \cdot 2 + 2 \cdot 0,4) = 23,2 \text{ mm}$$

Korisna duljina pužnog vijka:  $b_1 \approx 2 \cdot m \cdot \sqrt{z_2 + 1} = 2 \cdot 2 \cdot \sqrt{49 + 1}$

$$b_1 = 28,28 \text{ mm}$$

Debljina zuba:  $s_{nm} = \frac{m \cdot \pi}{2} \cdot \cos \gamma_m = \frac{2 \cdot \pi}{2} \cdot \cos 4,086^\circ = 3,134 \text{ mm}$

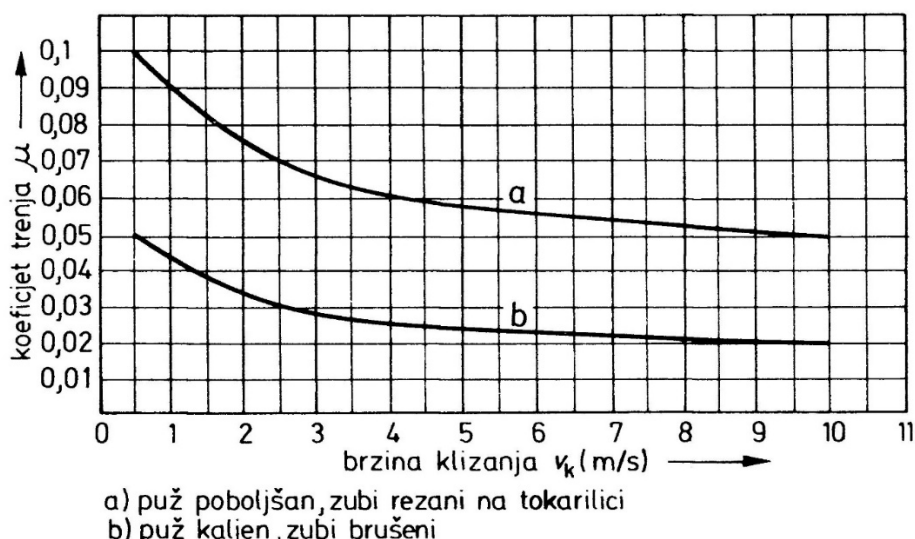
Aksijalna debljina zuba:  $s_{am} = \frac{p_a}{2} = \frac{6,28}{2} = 3,14 \text{ mm}$

Širina uzubine:  $e_{nm} = s_{nm} = 3,134 \text{ mm}$

Materija pužnog vijka: C45 E

Kut trenja:  $\tan \rho' = \frac{\mu}{\cos \alpha_n} = \frac{0,07}{\cos 20^\circ} = 0,074, \rho' = 4,26^\circ$

Faktor trenja prema slici 7 za materijal C45 E i  $v_K$ :  $\mu = 0,07$



Slika 7. Faktor trenja u pužnom paru

$$\text{Brzina klizanja: } v_K = \frac{\left(\frac{d_{m1}}{2}\right) \cdot \omega_1}{\cos \gamma_m} = \frac{\left(\frac{0,028}{2}\right) \cdot 185,2}{\cos 4,09^\circ} = 2,59 \text{ m/s}$$

$\omega_1$  - kutna brzina pužnog vijka

$$\omega_1 = \frac{n_2 \cdot \pi}{30} = \frac{1768,75 \cdot \pi}{30} = 185,2 \text{ s}^{-1}$$

$\gamma_m < \rho'$  pužni par je samokočan što je poželjno pri mijenjanju alata (neće doći do translatornog pomicanja pri mijenjanju brusnog tuljca)

## Pužno kolo

Broj zubi:  $z_2 = i_p \cdot z_1 = 49 \cdot 1 = 49$

Promjer srednje kružnice:  $d_{m2} = 2 \cdot a - d_{m1} = 2 \cdot 63 - 28$

$$d_{m2} = 98 \text{ mm} = d_2$$

Korak pužnog kola:  $p = p_a = 6,28 \text{ mm}$

Debljina zuba:  $s = \frac{m \cdot \pi}{2} = \frac{2 \cdot \pi}{2} = 3,14 \text{ mm}$

Širina uzubine:  $e = s = 3,14 \text{ mm}$

Tjemena visina:  $h_{a2} = h_{a1} = 2 \text{ mm}$

Tjemeni promjer:  $d_{a2} = d_2 + 2 \cdot m = 98 + 2 \cdot 2 = 102 \text{ mm}$

Polumjer zakrivljenja tjemena:  $r_K = a - \frac{1}{2} \cdot d_{a2} = 63 - \frac{1}{2} \cdot 102$

$$r_K = 12 \text{ mm}$$

Vanjski promjer:  $d_A \approx d_{a2} + m = 102 + 2 = 104 \text{ mm}$

Tjemena zračnost:  $c_2 = c_1 = 0,4 \text{ mm}$

Širina pužnog kola:  $b_2 \approx 0,8 \cdot d_{m1} = 0,8 \cdot 28 = 22,4 \text{ mm}$ ,

$$b_2 \rightarrow 20 \text{ mm}$$

Podnožna visina:  $h_{f2} = m + c_2 = 2 + 0,4 = 2,4 \text{ mm}$

Podnožni promjer:  $d_{f2} = d_{a2} - 2 \cdot (h_{a2} + h_{f2})$

$$d_{f2} = 102 - 2 \cdot (2 + 2,4) = 93,2 \text{ mm}$$

Materijal pužnog kola: EN-GJL250S (SL 25)

## 5.6. Sile koje djeluju na mehanizam pri podizanju alata

Na gibanje alata utječu 3 sile:

$Q$  - ukupna težina dijelova koji translatiraju

$$Q = m_T \cdot g = 7,2 \cdot 9,81 \approx 70,63 \text{ N} \quad (24)$$

$m_T$  - masa svih dijelova koji translatiraju (iz CAD modela)

$F_I$  - inercijska sila, posljedica oscilirajućeg translatornog gibanja mehanizma i njegove mase

$$F_I = m \cdot a \quad (25)$$

$$a_I = r \cdot \omega^2 (\cos(\alpha) + \lambda \cdot \cos(2\alpha)) \quad (26)$$

$a_I$ -ubrzanje translatirajuće mase

$\omega_2$ -kutna brzina okretanja pužnog kola

$$\omega_2 = \frac{n_{PK} \cdot \pi}{30} = \frac{36,1 \cdot \pi}{30} = 3,78 \text{ s}^{-1} \quad (27)$$

$\alpha$ -kut zakreta pužnog kola, mjereno od vertikalne osi u smjeru kazaljke na satu

$\lambda$ -faktor odnosa duljine stapa i radijusa ekscentričnosti

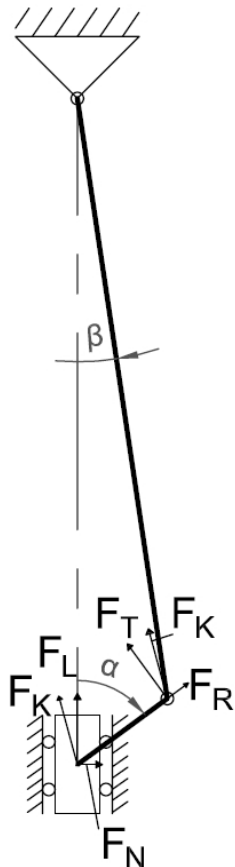
$$\lambda = \frac{r}{l} = \frac{18}{98} = 0,18 \quad (28)$$

$l$  – duljina poluge (udaljenost između svornjaka u ekscentru pužnog kola i svornjaka u fiksnom bloku)

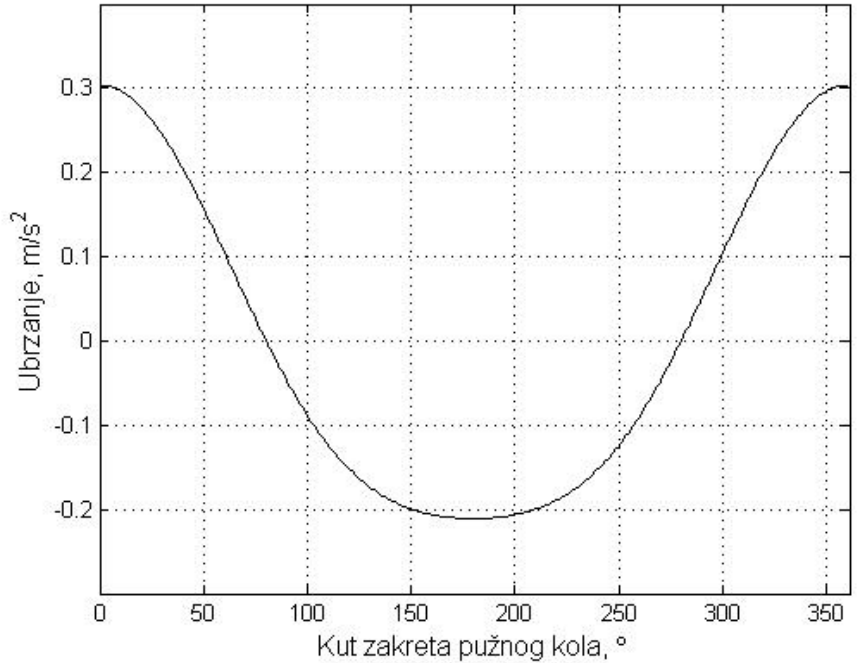
$F_{BV}$  - sila otpora brušenja pri translaciji

Mehanizam za translaciju nelinearno ubrzava mase elementa koji translatiraju između krajnjih položaja alata, a posljedica toga je promjenjiva inercijska sila  $F_I$ . Ovisnost ubrzanja o kutu zakreta pužnog kola se vidi na slici 9.

U tablici 5 su prikazane kinetičke jednadžbe ravnoteže ovisno o predznaku ubrzanja i smjeru gibanja alata.



**Slika 8.** Mehanizam za translaciju



**Slika 9.** Ovisnost ubrzanja o kutu zakreta pužnog kola

**Tablica 5.** Sila za translatiranje alata

$1^\circ - 80^\circ$	$81^\circ - 190^\circ$	$191^\circ - 279^\circ$	$280^\circ - 360^\circ$
$F_L = Q + F_I + F_{BV}$	$F_L = Q - F_I + F_{BV}$	$F_L = Q - F_I - F_{BV}$	$F_L = Q + F_I - F_{BV}$

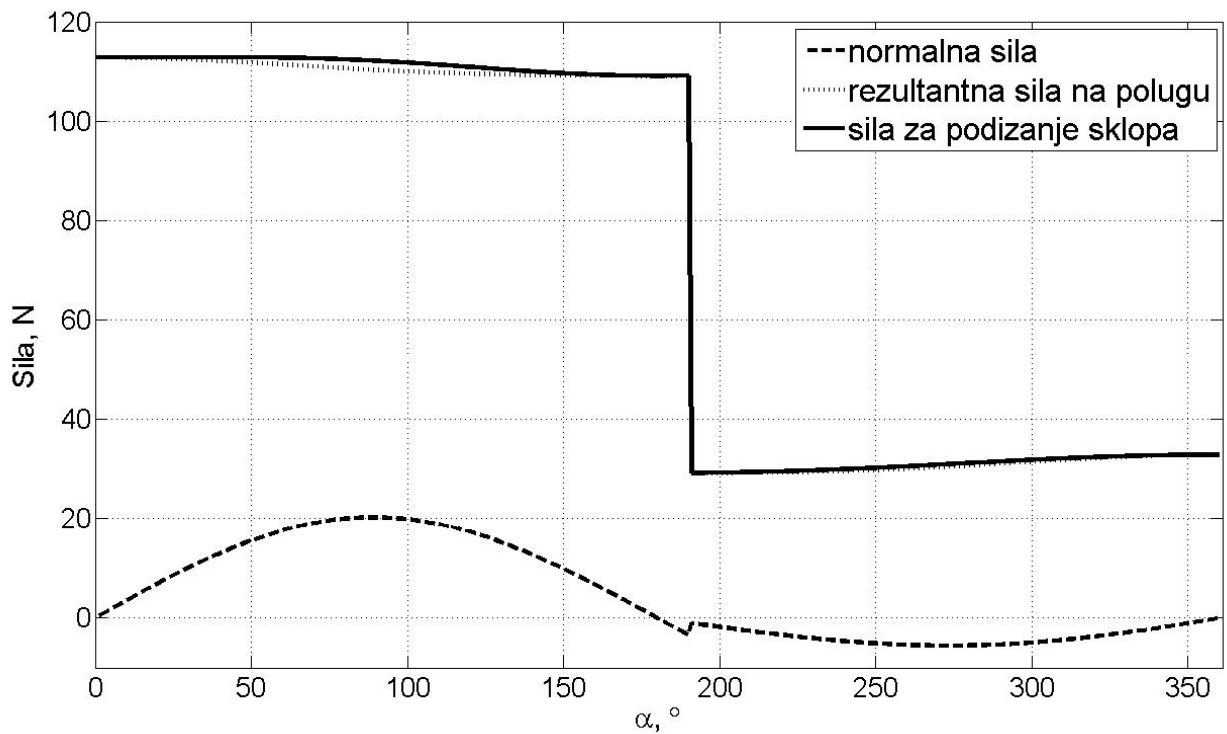
Ukupna sila potrebna za translatiranje alata  $F_L$  se tijekom rotacije pužnog kola rastavlja na komponentu  $F_K$  (u smjeru poluge) i  $F_N$  (normalna sila kojom translatirajući sklop, djeluje na vodilice). Sila  $F_K$  se dalje rastavlja na komponente  $F_R$  (djeluje radijalno na smjer kretanja ekscentričnog svornjaka) i  $F_T$  (sila koja djeluje na svornjak tangencijalno na smjer okretanja pužnog kola). Komponente navedenih sile su prikazane na slici 8.

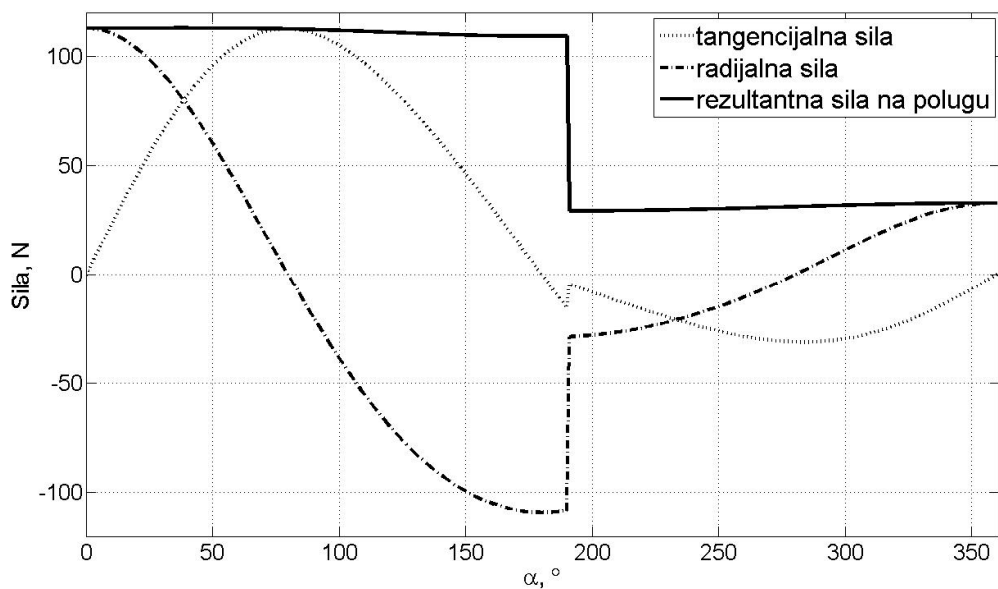
**Tablica 6. Izrazi za sile**

Normalna sila	Rezultantna sila na polugu	Tangencijalna sila	Radijalna sila
$F_N = F_L \cdot \tan \beta$	$F_K = \frac{F_L}{\cos \beta}$	$F_T = F_L \frac{\sin(\alpha + \beta)}{\cos \beta}$	$F_R = F_L \frac{\cos(\alpha + \beta)}{\cos \beta}$

$\beta$  - kut pomaka stapa od osi cilindra

$$\beta = \sin^{-1}(\lambda \cdot \sin \alpha) \quad (29)$$

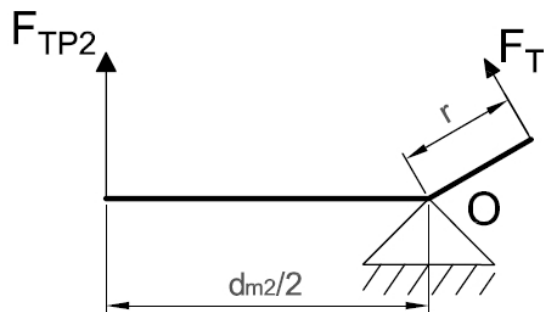
**Slika 10. Grafovi normalne, rezultantne sile na polugu i ukupne sile za podizanje sklopa**



**Slika 11.** Grafovi tangencijalne, radijalne i resultantne sile

Sila  $F_T$  ima najveći iznos za kut  $\alpha=79^\circ$  i iznosi:  $F_T=205,31$  N i prema njoj je dimenzioniran sklop.

Postavljanjem jednadžbe ravnoteže oko točke O (slika 12) nalazi se tangencijalna sila  $F_{TP2}$  koja djeluje na promjeru srednje kružnice pužnog kola pomoću koje se izračunavaju sile koje djeluju u pužnom paru.



**Slika 12.** Tangencijalne sile na pužnom kolu

$$F_{TP2} = \frac{2 \cdot F_T \cdot r}{d_{m2}} = \frac{2 \cdot 112,43 \cdot 18}{98} = 41,3 \text{ N} \quad (30)$$

Potrebna snaga na strani pužnog kola:

$$P_{2T} = F_{TP2} \cdot d_{m2} \cdot \frac{n_{PK} \cdot \pi}{60} = 41,3 \cdot 0,098 \cdot \frac{36,1 \cdot \pi}{60} = 7,65 \text{ W} \quad (31)$$

Snaga potrebna za translaciju na strani pužnog vijka (potrebna snaga uvećana za gubitke):

$$P_1 = \frac{P_{2T}}{\eta_{PP} \cdot \eta_B \cdot \eta_{KL}^2} = \frac{7,65}{0,49 \cdot 0,95 \cdot 0,97^2} = 17,47 \text{ W} \quad (32)$$

$\eta_{PP}$  - gubici ozubljenja

$$\eta_{PP} = \frac{\tan \gamma_m}{\tan(\gamma_m + \rho')} = \frac{\tan 4,09^\circ}{\tan(4,09^\circ + 4,26^\circ)} = 0,49 \quad (33)$$

$\eta_B$  - gubici bućanja ulja

$\eta_{KL}$  - gubici u kliznim ležajevima (uležištenje pužnog kola je promatrano kao jedan par kliznih ležajeva, a klizni ležajevi vodilica kao drugi par)

Okretni moment na pužnom vijku:

$$T_{1max} = \frac{K_1 \cdot P_1 \cdot 30}{n_{VR} \cdot \pi} \cdot 1000 \quad (34)$$

$$T_{1max} = \frac{1,25 \cdot 17,47 \cdot 30}{1768,75 \cdot \pi} \cdot 1000 = 117,9 \text{ Nmm}$$

$K_1$  - faktor udara

**Tablica 7. Sile na pužnom paru**

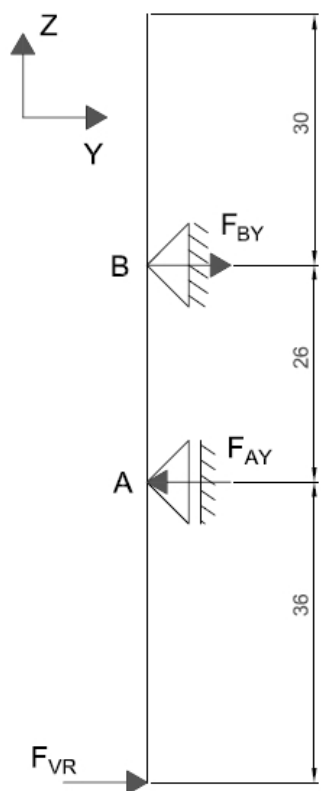
	Pužni vijak	Pužno kolo
Obodna sila	$F_{T1} = \frac{2 \cdot T_{1max}}{d_{m1}} = \frac{2 \cdot 117,9}{28} = 8,42 \text{ N}$	$F_{T2} = F_{a1}$
Aksijalna sila	$F_{a1} = \frac{F_{T1}}{\tan(\gamma_m + \rho')} = \frac{8,42}{\tan(4,09^\circ + 4,26^\circ)} = 57,36 \text{ N}$	$F_{a2} = F_{T1}$
Radijalna sila	$F_{R1} = \frac{F_{T2} \cdot \tan \alpha_n \cdot \cos \rho'}{\cos(\gamma_m + \rho')} = \frac{57,36 \cdot \tan 20^\circ \cdot \cos 4,26^\circ}{\cos(4,09^\circ + 4,26^\circ)} = 21,04 \text{ N}$	$F_{R2} = F_{R1}$

## 5.7. Provjera čvrstoće vratila

### 5.7.1. Ulazno vratilo brusilice

Torzijski moment opterećenja vratila:  $T_2=3850 \text{ Nmm}$

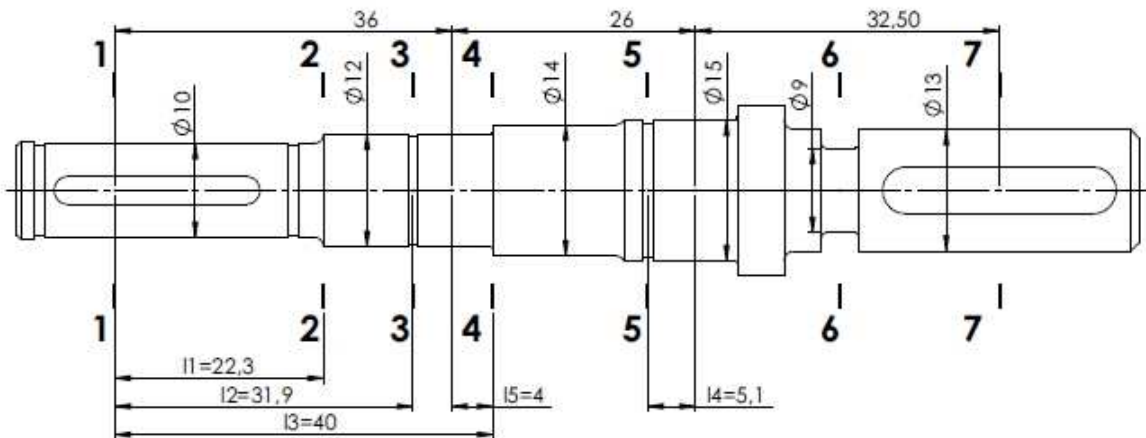
Ulazno vratilo je opterećeno samo u jednoj ravnini, pa su reakcijske sile ujedno i rezultantne



**Slika 13. Reakcije u ležajevima ulaznog vratila**

$$\begin{aligned} \Sigma M_A = 0 & F_{VR} \cdot 36 - F_{BY} \cdot 26 = 0 \\ F_{BY} &= \frac{F_{VR} \cdot 36}{26} = \frac{202,8 \cdot 36}{26} = 280,8 \text{ N} \end{aligned} \quad (35)$$

$$\begin{aligned} \Sigma F_Y = 0 & F_{VR} - F_{AY} + F_{BY} = 0 \\ F_{AY} &= F_{VR} + F_{BY} = 202,8 + 280,8 = 483,6 \text{ N} \end{aligned} \quad (36)$$



Slika 14. Konstrukcijske duljine i promjeri ulaznog vratila

### Presjek 1-1

Reducirani moment savijanja

$$M_{1\text{red}} = \sqrt{0,75 \cdot (\alpha_0 \cdot T_2 \cdot \beta_{kt})^2} \quad (37)$$

$$M_{1\text{red}} = \sqrt{0,75 \cdot (0,78 \cdot 3850 \cdot 1,9)^2} = 4941,3 \text{ Nmm}$$

$\alpha_0$  - faktor čvrstoće materijala (RSt 37-2) obzirom na tip naprezanja:

$$\alpha_0 = \frac{\sigma_{fDN}}{1,73 \cdot \tau_{tDI}} = \frac{190}{1,73 \cdot 140} = 0,78 \quad (38)$$

$\beta_{kt}$  - faktor zareznog djelovanja kod torzijskog opterećenja prema [4]

Koeficijent sigurnosti u presjeku

$$S_1 = \frac{b_1 \cdot b_2 \cdot \sigma_{fDN}}{\varphi \cdot \sigma_1} = \frac{1 \cdot 0,9 \cdot 190}{1,2 \cdot 55,5} = 2,57 \quad (39)$$

$b_1$  - faktor veličine strojnog dijela kod savijanja i uvijanja

$b_2$  - faktor površinske obrade

$\sigma_1$  - naprezanje u presjeku

$$\sigma_1 = \frac{M_{1\text{red}}}{W_1} = \frac{4941,3}{89} = 55,5 \text{ N/mm}^2 \quad (40)$$

$W_1$  - moment otpornosti presjeka

$$W_1 = 0,012 \cdot (2 \cdot d_1 - t_1)^3 = 0,012 \cdot (2 \cdot 11 - 2,5)^3 \approx 89 \text{ mm}^3 \quad (41)$$

$d_1$  - promjer vratila na mjestu promatranog presjeka

$t_1$  - dubina utora za pero

## Presjek 2-2

Reducirani moment savijanja

$$\begin{aligned} M_{2\text{red}} &= \sqrt{(M_2 \cdot \beta_{kf})^2 + 0,75 \cdot (\alpha_0 \cdot T_2 \cdot \beta_{kt})^2} \\ M_{2\text{red}} &= \sqrt{(4522,44 \cdot 1,46)^2 + 0,75 \cdot (0,78 \cdot 3850 \cdot 1,26)^2} \\ M_{2\text{red}} &= 7371,1 \text{ Nmm} \end{aligned} \quad (42)$$

$M_2$  - moment savijanja u promatranom presjeku

$$M_2 = F_{VR} \cdot l_1 = 202,8 \cdot 22,3 = 4522,44 \text{ Nmm} \quad (43)$$

$\beta_{kf}$  je određen prema Thumu čiji je izraz dan u [6]

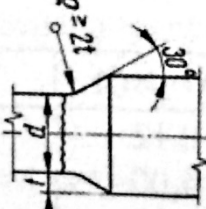
$$\beta_{kf} = 1 + \eta_k \cdot (\alpha_{ks} - 1) = 1 + 0,65 \cdot (1,7 - 1) = 1,46 \quad (44)$$

$\eta_k$  - faktor osjetljivosti materijala prema [6]

$$\eta_k = \frac{1}{1 + \frac{8}{\rho} \cdot \left(1 - \frac{R_{p0,2}}{R_m}\right)^3} = \frac{1}{1 + \frac{8}{1} \cdot \left(1 - \frac{220}{370}\right)^3} = 0,65 \quad (45)$$

$\rho$  - polumjer zakrivljenosti na mjestu koncentratora naprezanja, vidjeti Slika 15

$$\rho = 2 \cdot t = 2 \cdot 0,5 = 1 \text{ mm} \quad (46)$$

Vratilo	$\alpha_{ks}$	$\alpha_{kt}$	$\rho$ (mm)
	1,7	1,4	$\varrho$

Slika 15. Faktori koncentracije naprezanja prema [6]

$\beta_{kt}$  je određen prema Thumu čiji je izraz dan u [6]

$$\beta_{kt} = 1 + \eta_k \cdot (\alpha_{kt} - 1) = 1 + 0,65 \cdot (1,4 - 1) = 1,26 \quad (47)$$

Faktor sigurnosti u presjeku 2-2

$$S_2 = \frac{b_1 \cdot b_2 \cdot \sigma_{fDN}}{\varphi \cdot \sigma_2} = \frac{1 \cdot 0,85 \cdot 190}{1,2 \cdot 56,4} = 2,4 \quad (48)$$

$$\sigma_2 = \frac{M_{2\text{red}}}{W_2} = \frac{7371,1}{130,7} = 56,4 \text{ N/mm}^2 \quad (49)$$

$$W_2 = \frac{\pi \cdot d_2^3}{32} = \frac{\pi \cdot 11^3}{32} = 130,7 \text{ mm}^3 \quad (50)$$

### Presjek 3-3

Reducirani moment savijanja

$$\begin{aligned} M_{3\text{red}} &= \sqrt{(M_3 \cdot \beta_{kf})^2 + 0,75 \cdot (\alpha_0 \cdot T_2 \cdot \beta_{kt})^2} \\ M_{3\text{red}} &= \sqrt{(6469,32 \cdot 1,3)^2 + 0,75 \cdot (0,78 \cdot 3850 \cdot 1,2)^2} \\ M_{3\text{red}} &= 8970,48 \text{ Nmm} \end{aligned} \quad (51)$$

$M_3$  - moment savijanja u promatranom presjeku

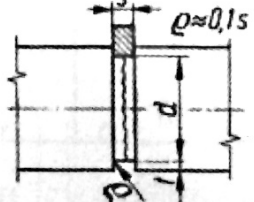
$$M_3 = F_{VR} \cdot l_2 = 202,8 \cdot 31,9 = 6469,32 \text{ Nmm} \quad (52)$$

$$\beta_{kf} = 1 + \eta_k \cdot (\alpha_{ks} - 1) = 1 + 0,17 \cdot (2,77 - 1) = 1,3 \quad (53)$$

$$\eta_k = \frac{1}{1 + \frac{8}{\rho} \cdot \left(1 - \frac{R_{p0,2}}{R_m}\right)^3} = \frac{1}{1 + \frac{8}{0,11} \cdot \left(1 - \frac{220}{370}\right)^3} = 0,17 \quad (54)$$

$\rho$  - polumjer zakrivljenosti na mjestu koncentratora naprezanja, vidjeti sliku 16.

$$\rho \approx 0,1 \cdot s = 0,1 \cdot 1,1 = 0,11 \text{ mm} \quad (55)$$

Vratilo	$a_{ks}$	$a_{kt}$	$\rho$ (mm)
	$1,14 + 1,08 \sqrt{10t/s}$	$1,48 + 0,45 \sqrt{10t/s}$	$e$

Slika 16. Faktori koncentracije naprezanja prema [6]

$$a_{ks} = 1,14 + 1,08 \sqrt{\frac{10 \cdot t}{s}} = 1,14 + 1,08 \sqrt{\frac{10 \cdot 0,25}{1,1}} = 2,77 \quad (56)$$

$$\beta_{kt} = 1 + \eta_k \cdot (a_{kt} - 1) = 1 + 0,17 \cdot (2,16 - 1) = 1,2 \quad (57)$$

$$a_{kt} = 1,48 + 0,45 \sqrt{\frac{10 \cdot t}{s}} = 1,48 + 0,45 \sqrt{\frac{10 \cdot 0,25}{1,1}} = 2,16 \quad (58)$$

Faktor sigurnosti u presjeku 3-3

$$S_3 = \frac{b_1 \cdot b_2 \cdot \sigma_{fDN}}{\varphi \cdot \sigma_3} = \frac{1 \cdot 0,9 \cdot 190}{1,2 \cdot 60,1} = 2,37 \quad (59)$$

$$\sigma_3 = \frac{M_{3red}}{W_3} = \frac{8970,48}{149,31} = 60,1 \text{ N/mm}^2 \quad (60)$$

$$W_3 = \frac{\pi \cdot d_3^3}{32} = \frac{\pi \cdot 11,5^3}{32} = 149,31 \text{ mm}^3 \quad (61)$$

### Presjek 4-4

Reducirani moment savijanja

$$\begin{aligned} M_{2\text{red}} &= \sqrt{(M_2 \cdot \beta_{kf})^2 + 0,75 \cdot (\alpha_0 \cdot T_2 \cdot \beta_{kt})^2} \\ M_{2\text{red}} &= \sqrt{(6177,6 \cdot 1,48)^2 + 0,75 \cdot (0,78 \cdot 3850 \cdot 1,49)^2} \\ M_{2\text{red}} &= 9930,12 \text{ Nmm} \end{aligned} \quad (62)$$

$M_4$  - moment savijanja u promatranom presjeku

$$M_4 = F_{VR} \cdot l_3 - F_{AY} \cdot l_5 = 202,8 \cdot 40 - 483,6 \cdot 4 = 6177,6 \text{ Nmm} \quad (63)$$

$\beta_{kf}$  - faktor zareznog djelovanja u promatranom presjeku prema [4]

$$\beta_{kf} = 1 + c_1 \cdot (\beta_{kf2} - 1) = 1 + 0,38 \cdot (2,25 - 1) = 1,48 \quad (64)$$

Potrebne veličine iz konstrukcije za računanje faktora prema slici 14

$$D=14, d=12, \rho=0,3$$

$c_1$  - faktor za odnose  $D/d \neq 2$  očitan iz grafa prema [4]

$$c_1 \left( \frac{D}{d} = 1,17 \right) = 0,38 \quad (65)$$

$\beta_{kf2}$  - faktor kod savijanja za odnos  $D/d=2$  očitan iz grafa prema [4]

$$\beta_{kf2} \left( \frac{\rho}{d} = 0,025, R_m = 370 \frac{\text{N}}{\text{mm}^2} \right) = 2,25 \quad (66)$$

$$\beta_{kt} = 1 + c_2 \cdot (\beta_{kt1,4} - 1) = 1 + 0,7 \cdot (1,7 - 1) = 1,49 \quad (67)$$

$c_2$  - faktor za odnose  $D/d \neq 1,4$  očitan iz grafa prema [4]

$$c_2 \left( \frac{D}{d} = 1,17 \right) = 0,7 \quad (68)$$

$\beta_{kt1,4}$  - faktor kod uvijanja za odnos  $D/d=1,4$  očitan iz grafa prema [4]

$$\beta_{kt1,4} \left( \frac{\rho}{d} = 0,025, R_m = 370 \frac{\text{N}}{\text{mm}^2} \right) = 1,7 \quad (69)$$

Faktor sigurnosti u presjeku 4-4

$$S_4 = \frac{b_1 \cdot b_2 \cdot \sigma_{fDN}}{\varphi \cdot \sigma_4} = \frac{1 \cdot 0,9 \cdot 190}{1,2 \cdot 58,53} = 2,43 \quad (70)$$

$$\sigma_4 = \frac{M_{4red}}{W_4} = \frac{9930,12}{169,65} = 58,53 \text{ N/mm}^2 \quad (71)$$

$$W_4 = \frac{\pi \cdot d_4^3}{32} = \frac{\pi \cdot 12^3}{32} = 169,65 \text{ mm}^3 \quad (72)$$

## Presjek 5-5

Reducirani moment savijanja

$$\begin{aligned} M_{5red} &= \sqrt{(M_5 \cdot \beta_{kf})^2 + 0,75 \cdot (\alpha_0 \cdot T_2 \cdot \beta_{kt})^2} \\ M_{5red} &= \sqrt{(1432,1 \cdot 1,36)^2 + 0,75 \cdot (0,78 \cdot 3850 \cdot 1,2)^2} \\ M_{5red} &= 3678,7 \text{ Nmm} \end{aligned} \quad (73)$$

$M_5$  - moment savijanja u promatranom presjeku

$$M_5 = F_{BY} \cdot l_4 = 280,8 \cdot 5,1 = 1432,1 \text{ Nmm} \quad (74)$$

$$\beta_{kf} = 1 + \eta_k \cdot (\alpha_{ks} - 1) = 1 + 0,17 \cdot (3,1 - 1) = 1,36 \quad (75)$$

$$\eta_k = \frac{1}{1 + \frac{8}{\rho} \cdot \left(1 - \frac{R_{p0,2}}{R_m}\right)^3} = \frac{1}{1 + \frac{8}{0,11} \cdot \left(1 - \frac{220}{370}\right)^3} = 0,17 \quad (76)$$

$$\rho \approx 0,1 \cdot s = 0,1 \cdot 1,1 = 0,11 \text{ mm} \quad (77)$$

$$\alpha_{ks} = 1,14 + 1,08 \sqrt{\frac{10 \cdot t}{s}} = 1,14 + 1,08 \sqrt{\frac{10 \cdot 0,35}{1,1}} = 3,1 \quad (78)$$

$$\beta_{kt} = 1 + \eta_k \cdot (\alpha_{kt} - 1) = 1 + 0,17 \cdot (2,28 - 1) = 1,2 \quad (79)$$

$$\alpha_{kt} = 1,48 + 0,45 \sqrt{\frac{10 \cdot t}{s}} = 1,48 + 0,45 \sqrt{\frac{10 \cdot 0,35}{1,1}} = 2,28 \quad (80)$$

Faktor sigurnosti u presjeku 5-5

$$S_5 = \frac{b_1 \cdot b_2 \cdot \sigma_{fDN}}{\varphi \cdot \sigma_5} = \frac{0,97 \cdot 0,9 \cdot 190}{1,2 \cdot 12,81} = 10,79 \quad (81)$$

$$\sigma_5 = \frac{M_{5\text{red}}}{W_5} = \frac{3678,7}{287,1} = 12,81 \text{ N/mm}^2 \quad (82)$$

$$W_3 = \frac{\pi \cdot d_5^3}{32} = \frac{\pi \cdot 14,3^3}{32} = 287,1 \text{ mm}^3 \quad (83)$$

## Presjek 6-6

Reducirani moment savijanja

$$M_{6\text{red}} = \sqrt{0,75 \cdot (\alpha_0 \cdot T_2 \cdot \beta_{kt})^2} \quad (84)$$

$$M_{6\text{red}} = \sqrt{0,75 \cdot (0,78 \cdot 3850 \cdot 1,72)^2} = 4473,16 \text{ Nmm}$$

$$\rho \approx 0,1 \cdot s = 0,1 \cdot 1,1 = 0,11 \text{ mm} \quad (85)$$

$$\beta_{kt} = 1 + \eta_k \cdot (\alpha_{kt} - 1) = 1 + 0,48 \cdot (2,49 - 1) = 1,72 \quad (86)$$

$$\eta_k = \frac{1}{1 + \frac{8}{\rho} \cdot \left(1 - \frac{R_{p0,2}}{R_m}\right)^3} = \frac{1}{1 + \frac{8}{0,5} \cdot \left(1 - \frac{220}{370}\right)^3} = 0,48 \quad (87)$$

$$\alpha_{kt} = 1,48 + 0,45 \sqrt{\frac{10 \cdot t}{s}} = 1,48 + 0,45 \sqrt{\frac{10 \cdot 2}{4}} = 2,49 \quad (88)$$

Faktor sigurnosti u presjeku 6-6

$$S_6 = \frac{b_1 \cdot b_2 \cdot \sigma_{fDN}}{\varphi \cdot \sigma_6} = \frac{1 \cdot 0,9 \cdot 190}{1,2 \cdot 62,5} = 2,28 \quad (89)$$

$$\sigma_6 = \frac{M_{6\text{red}}}{W_6} = \frac{4473,16}{71,57} = 62,5 \text{ N/mm}^2 \quad (90)$$

$$W_6 = \frac{\pi \cdot d_6^3}{32} = \frac{\pi \cdot 9^3}{32} = 71,57 \text{ mm}^3 \quad (91)$$

### Presjek 7-7

Reducirani moment savijanja

$$M_{7\text{red}} = \sqrt{0,75 \cdot (\alpha_0 \cdot T_2 \cdot \beta_{kt})^2} \quad (92)$$

$$M_{7\text{red}} = \sqrt{0,75 \cdot (0,78 \cdot 3850 \cdot 1,9)^2} = 4941,3 \text{ Nmm}$$

Faktor sigurnosti u presjeku

$$S_7 = \frac{b_1 \cdot b_2 \cdot \sigma_{fDN}}{\varphi \cdot \sigma_7} = \frac{0,99 \cdot 0,9 \cdot 190}{1,2 \cdot 33,84} = 4,2 \quad (93)$$

$$\sigma_7 = \frac{M_{7\text{red}}}{W_7} = \frac{4941,3}{146} = 33,84 \text{ N/mm}^2 \quad (94)$$

$$W_7 = 0,012 \cdot (2 \cdot d_7 - t_1)^3 = 0,012 \cdot (2 \cdot 13 - 3)^3 = 146 \text{ mm}^3 \quad (95)$$

$d_7$  - promjer vratila na mjestu promatranog presjeka

$t_1$  - dubina utora za pero

### Provjera odabranih ležajeva

U točki A nalazi se slobodno ležajno mjesto. Odabran je kuglični ležaj sa oznakom 6001 dinamičke nosivosti  $C=5400$  N.

Dinamičko opterećenje ležaja:

$P_r$  - ekvivalentno dinamičko radikalno opterećenje

$$P_r = F_{AY} = 486,6 \text{ N} \quad (96)$$

$$C_1 = P_r \cdot \left( \frac{60 \cdot n_{VR} \cdot L_{10h\_min}}{10^6} \right)^{\frac{1}{E}} \quad (97)$$

$$C_1 = 486,6 \cdot \left( \frac{60 \cdot 1768,75 \cdot 8000}{10^6} \right)^{\frac{1}{3}} = 4601,92 \text{ N}$$

$L_{10h\_min}$  - zahtijevani nazivni vijek trajanja ležaja u satima

$E$  - eksponent vijeka trajanja (dodir u točki)

$C > C_1$ , ležaj zadovoljava.

U točki B je čvrsto ležajno mjesto. Odabran je kuglični ležaj sa oznakom 6002 dinamičke nosivosti  $C=5850$  N.

Dinamičko opterećenje ležaja:

$$C_1 = P_r \cdot \left( \frac{60 \cdot n_{VR} \cdot L_{10h,min}}{10^6} \right)^{\frac{1}{\epsilon}} \quad (98)$$

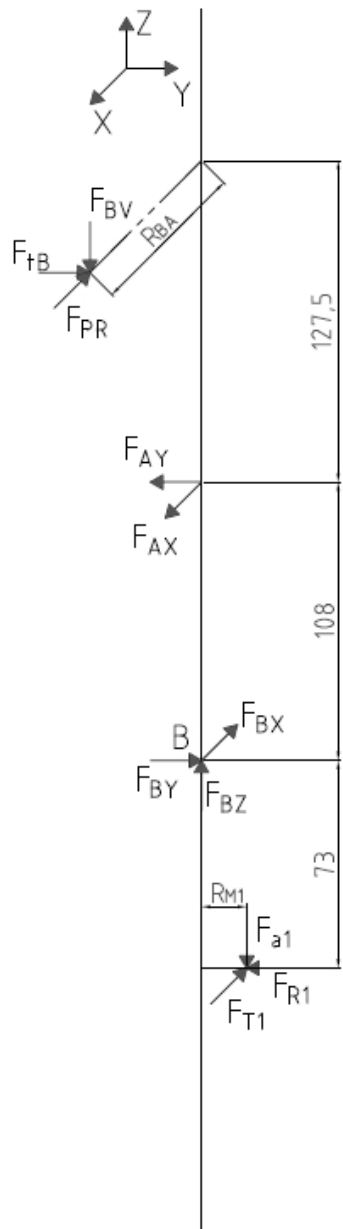
$$C_1 = 280,8 \cdot \left( \frac{60 \cdot 1768,75 \cdot 8000}{10^6} \right)^{\frac{1}{3}} = 2658,8 \text{ N}$$

$$P_r=280,8 \text{ N}$$

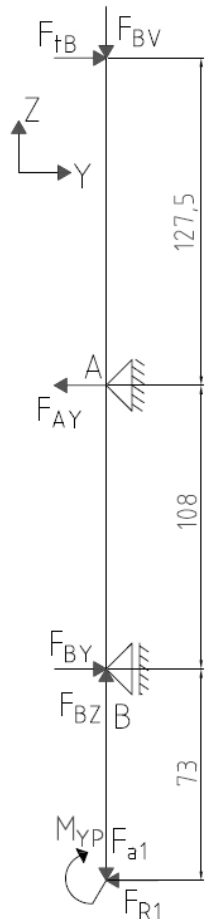
$C > C_1$ , ležaj zadovoljava.

Ležaj 6002 ima bitno veću nosivost od postojećeg opterećenja no unatoč tome je odabran iz razloga jednostavnije montaže cijelog sklopa ulaznog vratila u kućište. Eventualna ušteda na cijeni ležaja je zanemariva.

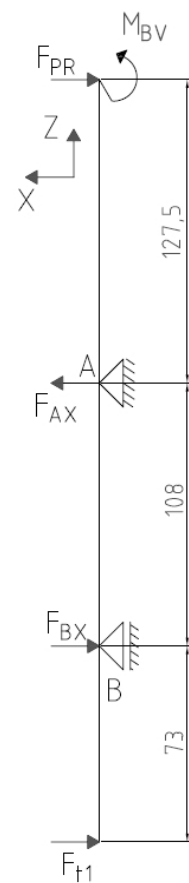
### 5.7.2. Izlazno vratilo brusilice



Slika 19. Prostorno opterećenje vratila



Slika 18. Opterećenje vratila u Z-Y ravnini



Slika 17. Opterećenje vratila u Z-X ravnini

$F_{BV} = 40 \text{ N}$ , sila otpora brušenja pri translatornom gibanju

$F_{PR} = 125 \text{ N}$ , sila pritiska obratka o alat

$$F_{PR} = p \cdot A = 0,01 \cdot 12500 = 125 \text{ N} \quad (99)$$

$p$  - tlak obratka na alat.

U literaturi [12][13] se može naći da je najčešće korišten podatak pri pokusima  $p = 0,01 \text{ N/mm}^2$ .

$$A = d_{BA} \cdot l_{BA} = 100 \cdot 125 = 12500 \text{ mm}^2 \quad (100)$$

$A$  - projicirana površina brusnog tuljca (alata)

$d_{BA}$  - promjer brusnog tuljca

$l_{BA}$  - radna duljina brusnog tuljca

Iz jednadžbe ravnoteže (torzijskog) momenta oko Z osi slijedi vrijednost sile  $F_t$  (tangencijalne sile na alatu pri brušenju)

$$\begin{aligned} \Sigma M_Z &= 0 \\ T_u - T_{1\max} - T_{BR} &= 0 \\ T_{BR} &= T_u - T_{1\max} = 3811,5 - 117,9 = 3693,6 \text{ Nmm} \end{aligned} \quad (101)$$

$T_u$  - moment doveden sa ulaznog vratila umanjen za gubitke u valjnim ležajevima na ulaznom vratilu

$$T_u = T_2 \cdot \eta_{VL} = 3850 \cdot 0,99 = 3811,5 \text{ Nmm} \quad (102)$$

$T_{BR}$  - raspoloživ moment za brušenje na alatu

$$F_{tB} = \frac{T_{BR}}{D_{BA}/2} = \frac{3693,6}{100/2} = 73,87 \text{ N} \quad (103)$$

Komponente reakcijskih sila u ležajevima A i B u Z-Y ravnini

$$M_{YP} = F_{a1} \cdot r_{m1} = 57,36 \cdot 14 = 803,04 \text{ Nmm} \quad (104)$$

$M_{YP}$  - moment oko osi x nakon redukcije sile  $F_{a1}$  sa diobenog promjera pužnog vijka na vratilo

$$\begin{aligned}\Sigma F_Z &= 0 \\ F_{BZ} - F_{a1} - F_{BV} &= 0 \\ F_{BZ} = F_{BV} + F_{a1} &= 40 + 57,36 = 97,36 \text{ N}\end{aligned}\tag{105}$$

$$\begin{aligned}\Sigma M_A &= 0 \\ F_{BY} \cdot 108 - F_{tB} \cdot 127,5 - F_{R1} \cdot (108 + 73) - M_{YP} &= 0 \\ F_{BY} = \frac{F_{R1} \cdot 180 + M_{YP} + F_{tB} \cdot 127,5}{108} & \\ F_{BY} = \frac{21,04 \cdot 180 + 803,04 + 73,87 \cdot 127,5}{108} &= 129,71 \text{ N}\end{aligned}\tag{106}$$

$$\begin{aligned}\Sigma F_Y &= 0 \\ F_{tB} - F_{AY} + F_{BY} - F_{R1} &= 0 \\ F_{AY} &= F_{BY} - F_{R1} + F_{tB} \\ F_{AY} &= 129,71 - 21,04 + 73,87 = 182,54 \text{ N}\end{aligned}\tag{107}$$

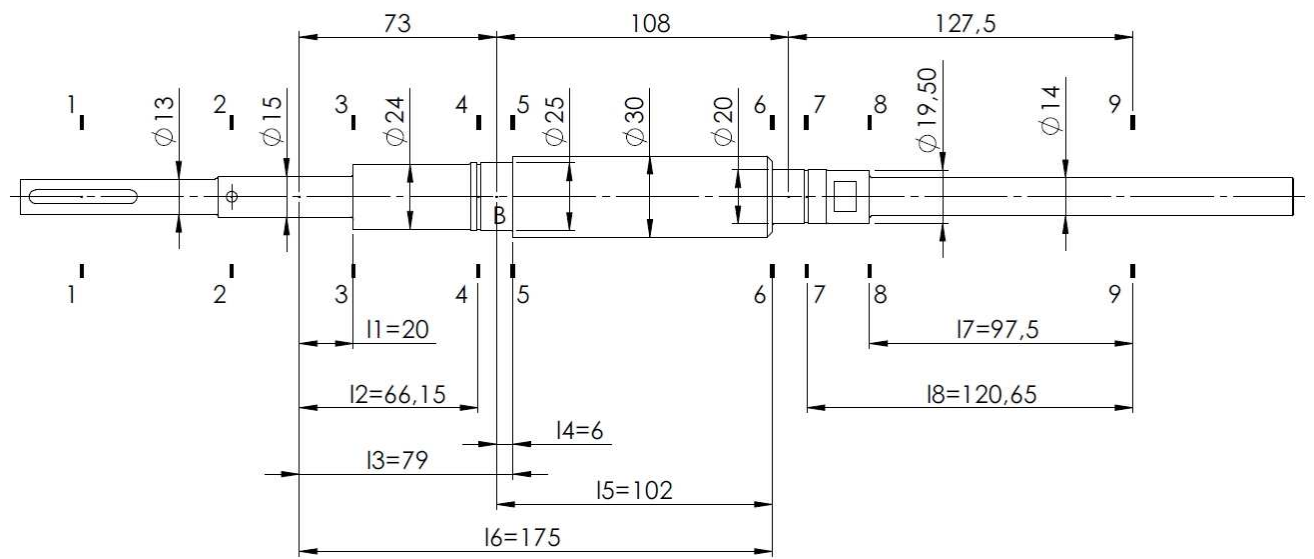
Komponente reakcijskih sila u ležajevima u Z-X ravnini

$$M_{BV} = F_{BV} \cdot \frac{d_{BA}}{2} = 40 \cdot \frac{100}{2} = 2000 \text{ Nmm}\tag{108}$$

$M_{BV}$  - moment oko osi y nakon redukcije sile  $F_{BV}$  sa promjera brusnog tuljca na vratilo

$$\begin{aligned}\Sigma M_A &= 0 \\ F_{BX} \cdot 108 - F_{PR} \cdot 127,5 + F_{t1} \cdot (108 + 73) + M_{BV} &= 0 \\ F_{BX} = \frac{-F_{t1} \cdot 181 - M_{BV} + F_{PR} \cdot 127,5}{108} & \\ F_{BX} = \frac{-8,42 \cdot 181 - 2000 + 125 \cdot 127,5}{108} &= 114,94 \text{ N}\end{aligned}\tag{109}$$

$$\begin{aligned}\Sigma F_X &= 0 \\ F_{AX} - F_{PR} - F_{BX} - F_{t1} &= 0 \\ F_{AX} &= F_{PR} + F_{BX} + F_{t1} = 125 + 114,94 + 8,42 = 248,36 \text{ N}\end{aligned}\tag{110}$$



Slika 20. Konstrukcijske duljine i presjeci na izlaznom vratilu

**Presjek 1-1**

Reducirani moment savijanja

$$M_{1\text{red}} = \sqrt{0,75 \cdot (\alpha_0 \cdot T_u \cdot \beta_{kt})^2} \quad (111)$$

$$M_{1\text{red}} = \sqrt{0,75 \cdot (0,78 \cdot 3811,5 \cdot 1,9)^2} = 4891,89 \text{ Nmm}$$

$$\alpha_0 = \frac{\sigma_{fDN}}{1,73 \cdot \tau_{tDI}} = \frac{190}{1,73 \cdot 140} = 0,78 \quad (112)$$

Faktor sigurnosti u presjeku

$$S_1 = \frac{b_1 \cdot b_2 \cdot \sigma_{fDN}}{\varphi \cdot \sigma_1} = \frac{0,99 \cdot 0,9 \cdot 190}{1,2 \cdot 33,51} = 4,2 \quad (113)$$

$$\sigma_1 = \frac{M_{1\text{red}}}{W_1} = \frac{4891,89}{146} = 33,51 \text{ N/mm}^2 \quad (114)$$

$$W_1 = 0,012 \cdot (2 \cdot d_1 - t_1)^3 = 0,012 \cdot (2 \cdot 13 - 3)^3 = 146 \text{ mm}^3 \quad (115)$$

$d_1$  - promjer vratila na mjestu promatranog presjeka

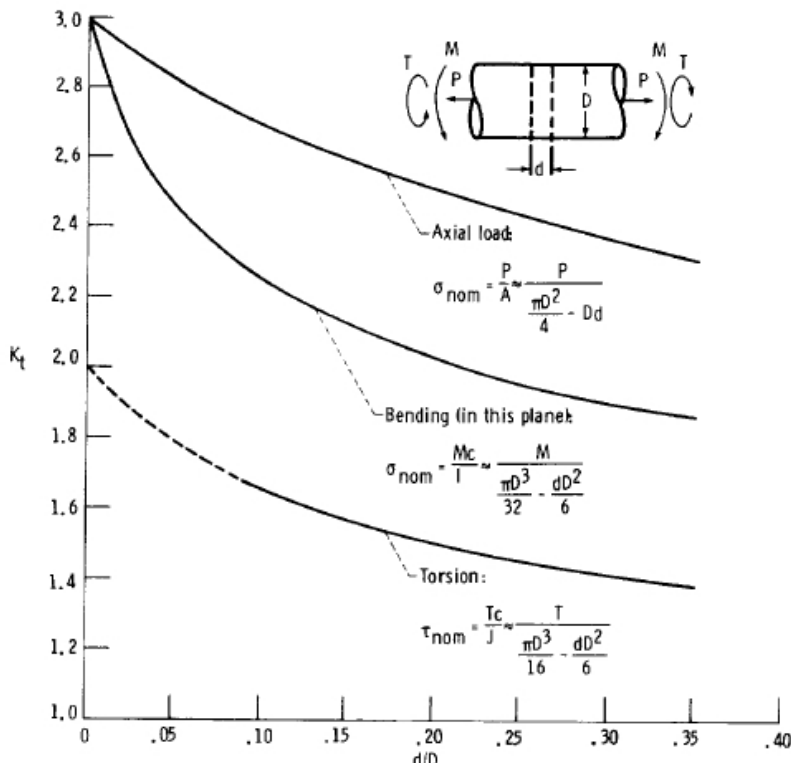
$t_1$  - dubina utora za pero

## Presjek 2-2

$$M_{2\text{red}} = \sqrt{0,75 \cdot (\alpha_0 \cdot T_u \cdot \beta_{kt})^2} \quad (116)$$

$$M_{2\text{red}} = \sqrt{0,75 \cdot (0,78 \cdot 3811,5 \cdot 1,41)^2} = 3630,3 \text{ Nmm}$$

$\beta_{kt}$  - faktor zareznog djelovanja kod torzijskog opterećenja prema slici 21



Slika 21. Graf iz [21] za određivanje  $\beta_{kt}$  za dijelove sa cilindričnim provrtom

Karakteristika presjeka	
$W$	$0,1d^3 - 0,17D \cdot d^2$

Slika 22. Moment  
tromosti presjeka sa  
provrtom

Faktor sigurnosti u presjeku

$$S_2 = \frac{b_1 \cdot b_2 \cdot \sigma_{fDN}}{\varphi \cdot \sigma_2} = \frac{0,99 \cdot 0,9 \cdot 190}{1,2 \cdot 19,68} = 7,17 \quad (117)$$

$$\sigma_2 = \frac{M_{2\text{red}}}{W_2} = \frac{3630,3}{184,5} = 19,68 \text{ N/mm}^2 \quad (118)$$

$$W_2 = 0,1 \cdot d^3 - 0,17 \cdot D^2 = 0,1 \cdot 15^3 - 0,17 \cdot 4 \cdot 15^2 = 184,5 \text{ mm}^3 \quad (119)$$

### Presjek 3-3

Reducirani moment savijanja

$$\begin{aligned} M_{3\text{red}} &= \sqrt{(M_3 \cdot \beta_{kf})^2 + 0,75 \cdot (\alpha_0 \cdot T_{BR} \cdot \beta_{kt})^2} \\ M_{3\text{red}} &= \sqrt{(1235,37 \cdot 1,51)^2 + 0,75 \cdot (0,78 \cdot 3693,6 \cdot 1,3)^2} \\ M_{3\text{red}} &= 3741,69 \text{ Nmm} \end{aligned} \quad (120)$$

$M_3$  - moment savijanja u promatranom presjeku

$$M_{3-Z-Y} = M_{YP} + F_{R1} \cdot l_1 = 803,04 + 21,04 \cdot 20 = 1223,84 \text{ Nmm} \quad (121)$$

$$M_{3-Z-X} = -F_{t1} \cdot l_1 = -8,42 \cdot 20 = -168,4 \text{ Nmm} \quad (122)$$

$$M_3 = \sqrt{M_{3Z-Y}^2 + M_{3Z-X}^2} \quad (123)$$

$$M_3 = \sqrt{1223,84^2 + (-168,4)^2} = 1235,37 \text{ Nmm}$$

$$\beta_{kf} = 1 + c_1 \cdot (\beta_{kf2} - 1) = 1 + 0,85 \cdot (1,6 - 1) = 1,51 \quad (124)$$

Potrebne veličine iz konstrukcije za računanje faktora prema slici 20.

$D=24$ ,  $d=15$ ,  $\rho=1$

$$c_1 \left( \frac{D}{d} = 1,6 \right) = 0,85 \quad (125)$$

$$\beta_{kf2} \left( \frac{\rho}{d} = 0,071, R_m = 370 \frac{\text{N}}{\text{mm}^2} \right) = 1,6 \quad (126)$$

$$\beta_{kt} = 1 + c_2 \cdot (\beta_{kt1,4} - 1) = 1 + 1 \cdot (1,3 - 1) = 1,3 \quad (127)$$

$$c_2 \left( \frac{D}{d} = 1,6 \right) = 1 \quad (128)$$

$$\beta_{kt1,4} \left( \frac{\rho}{d} = 0,071, R_m = 370 \frac{\text{N}}{\text{mm}^2} \right) = 1,3 \quad (129)$$

Faktor sigurnosti u presjeku 3-3

$$S_3 = \frac{b_1 \cdot b_2 \cdot \sigma_{fDN}}{\varphi \cdot \sigma_3} = \frac{0,97 \cdot 0,9 \cdot 190}{1,2 \cdot 11,29} = 12,24 \quad (130)$$

$$\sigma_3 = \frac{M_{3red}}{W_3} = \frac{3741,69}{331,34} = 11,29 \text{ N/mm}^2 \quad (131)$$

$$W_3 = \frac{\pi \cdot d_3^3}{32} = \frac{\pi \cdot 15^3}{32} = 331,34 \text{ mm}^3 \quad (132)$$

#### Presjek 4-4

Reducirani moment savijanja

$$\begin{aligned} M_{4red} &= \sqrt{(M_4 \cdot \beta_{kf})^2 + 0,75 \cdot (\alpha_0 \cdot T_{BR} \cdot \beta_{kt})^2} \\ M_{4red} &= \sqrt{(2264,41 \cdot 1,47)^2 + 0,75 \cdot (0,78 \cdot 3693,6 \cdot 1,28)^2} \end{aligned} \quad (133)$$

$$M_{4red} = 4612,96 \text{ Nmm}$$

$M_4$  - moment savijanja u promatranom presjeku

$$\begin{aligned} M_{4z-Y} &= M_{YP} + F_{R1} \cdot l_2 \\ M_{4z-Y} &= 803,04 + 21,04 \cdot 66,15 = 2194,84 \text{ Nmm} \end{aligned} \quad (134)$$

$$M_{4z-X} = -F_{t1} \cdot l_2 = -8,42 \cdot 66,15 = -556,98 \text{ Nmm} \quad (135)$$

$$M_4 = \sqrt{M_{4z-Y}^2 + M_{4z-X}^2} \quad (136)$$

$$M_4 = \sqrt{2194,84^2 + (-556,98)^2} = 2264,41 \text{ Nmm}$$

$$\beta_{kf} = 1 + \eta_k \cdot (\alpha_{ks} - 1) = 1 + 0,2 \cdot (3,36 - 1) = 1,47 \quad (137)$$

$$\eta_k = \frac{1}{1 + \frac{8}{\rho} \cdot \left(1 - \frac{R_{p0,2}}{R_m}\right)^3} = \frac{1}{1 + \frac{8}{0,13} \cdot \left(1 - \frac{220}{370}\right)^3} = 0,2 \quad (138)$$

$$\alpha_{ks} = 1,14 + 1,08 \sqrt{\frac{10 \cdot t}{s}} = 1,14 + 1,08 \sqrt{\frac{10 \cdot 0,55}{1,3}} = 3,36 \quad (139)$$

$\rho$  - polumjer zakrivljenosti na mjestu koncentratora naprezanja, vidjeti na slici 16

$$\rho \approx 0,1 \cdot s = 0,1 \cdot 1,3 = 0,13 \text{ mm} \quad (140)$$

$$\beta_{kt} = 1 + \eta_k \cdot (\alpha_{kt} - 1) = 1 + 0,2 \cdot (2,4 - 1) = 1,28 \quad (141)$$

$$\alpha_{kt} = 1,48 + 0,45 \sqrt{\frac{10 \cdot t}{s}} = 1,48 + 0,45 \sqrt{\frac{10 \cdot 0,55}{1,3}} = 2,4 \quad (142)$$

Faktor sigurnosti u presjeku 4-4

$$S_4 = \frac{b_1 \cdot b_2 \cdot \sigma_{fDN}}{\varphi \cdot \sigma_4} = \frac{0,92 \cdot 0,9 \cdot 190}{1,2 \cdot 3,44} = 38,11 \quad (143)$$

$$\sigma_4 = \frac{M_{4\text{red}}}{W_4} = \frac{4612,96}{1340,27} = 3,44 \text{ N/mm}^2 \quad (144)$$

$$W_4 = \frac{\pi \cdot d_4^3}{32} = \frac{\pi \cdot 23,9^3}{32} = 1340,27 \text{ mm}^3 \quad (145)$$

## Presjek 5-5

Reducirani moment savijanja

$$\begin{aligned} M_{5\text{red}} &= \sqrt{(M_5 \cdot \beta_{kf})^2 + 0,75 \cdot (\alpha_0 \cdot T_{BR} \cdot \beta_{kt})^2} \\ M_{5\text{red}} &= \sqrt{(2162,39 \cdot 1,59)^2 + 0,75 \cdot (0,78 \cdot 3693,6 \cdot 1,56)^2} \\ M_{5\text{red}} &= 5193,34 \text{ Nmm} \end{aligned} \quad (146)$$

$M_5$  - moment savijanja u promatranom presjeku

$$\begin{aligned} M_{5Z-Y} &= M_{YP} + F_{R1} \cdot l_3 - F_{BY} \cdot l_4 \\ M_{5Z-Y} &= 804,04 + 21,04 \cdot 79 - 129,71 \cdot 6 = 1687,94 \text{ Nmm} \end{aligned} \quad (147)$$

$$\begin{aligned} M_{5Z-X} &= -F_{t1} \cdot l_3 - F_{BX} \cdot l_4 \\ M_{5Z-X} &= -8,42 \cdot 79 - 114,94 \cdot 6 = -1351,58 \text{ Nmm} \end{aligned} \quad (148)$$

$$M_5 = \sqrt{M_{5Z-Y}^2 + M_{5Z-X}^2} \quad (149)$$

$$M_5 = \sqrt{1687,94^2 + (-1351,58)^2} = 2162,39 \text{ Nmm}$$

$$\beta_{kf} = 1 + c_1 \cdot (\beta_{kf2} - 1) = 1 + 0,45 \cdot (2,3 - 1) = 1,59 \quad (150)$$

Potrebne veličine iz konstrukcije za računanje faktora prema slici 20.

$D=30, d=25, \rho=0,5$

$$c_1 \left( \frac{D}{d} = 1,2 \right) = 0,45 \quad (151)$$

$$\beta_{\text{kf2}} \left( \frac{\rho}{d} = 0,02, R_m = 370 \frac{\text{N}}{\text{mm}^2} \right) = 2,3 \quad (152)$$

$$\beta_{\text{kt}} = 1 + c_2 \cdot (\beta_{\text{kt1,4}} - 1) = 1 + 0,8 \cdot (1,7 - 1) = 1,56 \quad (153)$$

$$c_2 \left( \frac{D}{d} = 1,2 \right) = 0,8 \quad (154)$$

$$\beta_{\text{kt1,4}} \left( \frac{\rho}{d} = 0,02, R_m = 370 \frac{\text{N}}{\text{mm}^2} \right) = 1,7 \quad (155)$$

Faktor sigurnosti u presjeku 5-5

$$S_5 = \frac{b_1 \cdot b_2 \cdot \sigma_{\text{fDN}}}{\varphi \cdot \sigma_5} = \frac{0,92 \cdot 0,9 \cdot 190}{1,2 \cdot 3,39} = 38,67 \quad (156)$$

$$\sigma_5 = \frac{M_{5\text{red}}}{W_5} = \frac{5193,34}{1533,98} = 3,39 \frac{\text{N}}{\text{mm}^2} \quad (157)$$

$$W_5 = \frac{\pi \cdot d_5^3}{32} = \frac{\pi \cdot 25^3}{32} = 1533,98 \text{ mm}^3 \quad (158)$$

## Presjek 6-6

Reducirani moment savijanja

$$\begin{aligned} M_{6\text{red}} &= \sqrt{(M_6 \cdot \beta_{\text{kf}})^2 + 0,75 \cdot (\alpha_0 \cdot T_{\text{BR}} \cdot \beta_{\text{kt}})^2} \\ M_{6\text{red}} &= \sqrt{(15832,01 \cdot 1,99)^2 + 0,75 \cdot (0,78 \cdot 3693,6 \cdot 1,7)^2} \\ M_{6\text{red}} &= 31789,93 \text{ Nmm} \end{aligned} \quad (159)$$

$M_6$  - moment savijanja u promatranom presjeku

$$\begin{aligned} M_{6z-Y} &= M_{YP} + F_{R1} \cdot l_6 - F_{BY} \cdot l_5 \\ M_{6z-Y} &= 803,04 + 21,04 \cdot 175 - 129,71 \cdot 102 \\ M_{6z-Y} &= -8745,38 \text{ Nmm} \end{aligned} \quad (160)$$

$$\begin{aligned} M_{6z-x} &= -F_{t1} \cdot l_6 - F_{Bx} \cdot l_5 = -15,38 \cdot 175 - 103,28 \cdot 102 \\ M_{6z-x} &= -13197,38 \text{ Nmm} \end{aligned} \quad (161)$$

$$M_6 = \sqrt{M_{6z-y}^2 + M_{6z-x}^2} \quad (162)$$

$$M_6 = \sqrt{(-8745,38)^2 + (-13197,38)^2} = 15832,01 \text{ Nmm}$$

$$\beta_{kf} = 1 + c_1 \cdot (\beta_{kf2} - 1) = 1 + 0,79 \cdot (2,25 - 1) = 1,99 \quad (163)$$

Potrebne veličine iz konstrukcije za računanje faktora prema slici 20:

$D=30, d=20, \rho=0,5$

$$c_1 \left( \frac{D}{d} = 1,5 \right) = 0,79 \quad (164)$$

$$\beta_{kf2} \left( \frac{\rho}{d} = 0,025, R_m = 370 \frac{\text{N}}{\text{mm}^2} \right) = 2,25 \quad (165)$$

$$\beta_{kt} = 1 + c_2 \cdot (\beta_{kt1,4} - 1) = 1 + 1 \cdot (1,7 - 1) = 1,7 \quad (166)$$

$$c_2 \left( \frac{D}{d} = 1,5 \right) = 1 \quad (167)$$

$$\beta_{kt1,4} \left( \frac{\rho}{d} = 0,025, R_m = 370 \frac{\text{N}}{\text{mm}^2} \right) = 1,7 \quad (168)$$

Faktor sigurnosti u presjeku 6-6

$$S_6 = \frac{b_1 \cdot b_2 \cdot \sigma_{fDN}}{\varphi \cdot \sigma_6} = \frac{0,95 \cdot 0,9 \cdot 190}{1,2 \cdot 40,48} = 3,34 \quad (169)$$

$$\sigma_6 = \frac{M_{6red}}{W_6} = \frac{31789,93}{785,4} = 40,48 \text{ N/mm}^2 \quad (170)$$

$$W_6 = \frac{\pi \cdot d_6^3}{32} = \frac{\pi \cdot 20^3}{32} = 785,4 \text{ mm}^3 \quad (171)$$

**Presjek 7-7**

Reducirani moment savijanja

$$\begin{aligned} M_{7\text{red}} &= \sqrt{(M_7 \cdot \beta_{kf})^2 + 0,75 \cdot (\alpha_0 \cdot T_{BR} \cdot \beta_{kt})^2} \\ M_{7\text{red}} &= \sqrt{(15828,78 \cdot 1,45)^2 + 0,75 \cdot (0,78 \cdot 3693,6 \cdot 1,27)^2} \\ M_{7\text{red}} &= 23169,43 \text{ Nmm} \end{aligned} \quad (172)$$

$M_7$  - moment savijanja u promatranom presjeku

$$M_{7\_Z-Y} = -F_{tB} \cdot l_8 = -73,87 \cdot 120,65 = -8912,42 \text{ Nmm} \quad (173)$$

$$\begin{aligned} M_{7_Z-X} &= -F_{PR} \cdot l_8 + M_{BV} = -125 \cdot 120,65 + 2000 \\ M_{7_Z-X} &= -13081,25 \text{ Nmm} \end{aligned} \quad (174)$$

$$M_7 = \sqrt{M_{7_Z-Y}^2 + M_{7_Z-X}^2} = \sqrt{(-8912,42)^2 + (-13081,25)^2} \quad (175)$$

$$M_7 = 15828,78 \text{ Nmm}$$

$$\beta_{kf} = 1 + \eta_k \cdot (\alpha_{ks} - 1) = 1 + 0,2 \cdot (3,26 - 1) = 1,45 \quad (176)$$

$$\eta_k = \frac{1}{1 + \frac{8}{\rho} \cdot \left(1 - \frac{R_{p0,2}}{R_m}\right)^3} = \frac{1}{1 + \frac{8}{0,13} \cdot \left(1 - \frac{220}{370}\right)^3} = 0,2 \quad (177)$$

$\rho$  - polumjer zakrivljenosti na mjestu koncentratora naprezanja, vidjeti sliku 16

$$\rho \approx 0,1 \cdot s = 0,1 \cdot 1,3 = 0,13 \text{ mm} \quad (178)$$

$$\alpha_{ks} = 1,14 + 1,08 \sqrt{\frac{10 \cdot t}{s}} = 1,14 + 1,08 \sqrt{\frac{10 \cdot 0,5}{1,3}} = 3,26 \quad (179)$$

$$\beta_{kt} = 1 + \eta_k \cdot (\alpha_{kt} - 1) = 1 + 0,2 \cdot (2,36 - 1) = 1,27 \quad (180)$$

$$\alpha_{kt} = 1,48 + 0,45 \sqrt{\frac{10 \cdot t}{s}} = 1,48 + 0,45 \sqrt{\frac{10 \cdot 0,5}{1,3}} = 2,36 \quad (181)$$

Faktor sigurnosti u presjeku 7-7

$$S_7 = \frac{b_1 \cdot b_2 \cdot \sigma_{fDN}}{\varphi \cdot \sigma_7} = \frac{0,95 \cdot 0,9 \cdot 190}{1,2 \cdot 34,4} = 4,01 \quad (182)$$

$$\sigma_7 = \frac{M_{7\text{red}}}{W_7} = \frac{23169,43}{673,38} = 34,4 \text{ N/mm}^2 \quad (183)$$

$$W_7 = \frac{\pi \cdot d_7^3}{32} = \frac{\pi \cdot 19^3}{32} = 673,38 \text{ mm}^3 \quad (184)$$

### Presjek 8-8

Reducirani moment savijanja

$$\begin{aligned} M_{8\text{red}} &= \sqrt{(M_8 \cdot \beta_{kf})^2 + 0,75 \cdot (\alpha_0 \cdot T_{BR} \cdot \beta_{kt})^2} \\ M_{8\text{red}} &= \sqrt{(12476,33 \cdot 1,44)^2 + 0,75 \cdot (0,78 \cdot 3593,6 \cdot 1,3)^2} \\ M_{8\text{red}} &= 18240,96 \text{ Nmm} \end{aligned} \quad (185)$$

$M_8$  - moment savijanja u promatranom presjeku

$$M_{8\text{-Z-Y}} = -F_{tB} \cdot l_7 = -73,87 \cdot 97,5 = -7202,33 \text{ Nmm} \quad (186)$$

$$\begin{aligned} M_{8\text{-Z-X}} &= -F_{PR} \cdot l_7 + M_{BV} = -125 \cdot 97,5 + 2000 \\ M_{8\text{-Z-X}} &= -10187,5 \text{ Nmm} \end{aligned} \quad (187)$$

$$M_8 = \sqrt{M_{8\text{-Z-Y}}^2 + M_{8\text{-Z-X}}^2} = \sqrt{(-7202,33)^2 + (-10187,5)^2} \quad (188)$$

$$M_8 = 12476,33 \text{ Nmm}$$

$$\beta_{kf} = 1 + c_1 \cdot (\beta_{kf2} - 1) = 1 + 0,7 \cdot (1,63 - 1) = 1,44 \quad (189)$$

Potrebne veličine iz konstrukcije za računanje faktora prema slici 20

$$D=19,5, d=14, \rho=1$$

$$c_1 \left( \frac{D}{d} = 1,4 \right) = 0,7 \quad (190)$$

$$\beta_{kf2} \left( \frac{\rho}{d} = 0,07, R_m = 370 \frac{\text{N}}{\text{mm}^2} \right) = 1,63 \quad (191)$$

$$\beta_{kt} = 1 + c_2 \cdot (\beta_{kt1,4} - 1) = 1 + 1 \cdot (1,3 - 1) = 1,3 \quad (192)$$

$$c_2 \left( \frac{D}{d} = 1,4 \right) = 1 \quad (193)$$

$$\beta_{kt1,4} \left( \frac{\rho}{d} = 0,07, R_m = 370 \frac{N}{mm^2} \right) = 1,3 \quad (194)$$

Faktor sigurnosti u presjeku 8-8

$$S_8 = \frac{b_1 \cdot b_2 \cdot \sigma_{fDN}}{\varphi \cdot \sigma_8} = \frac{0,97 \cdot 0,9 \cdot 190}{1,2 \cdot 67,71} = 2,04 \quad (195)$$

$$\sigma_8 = \frac{M_{8red}}{W_8} = \frac{18240,96}{269,39} = 67,71 \text{ N/mm}^2 \quad (196)$$

$$W_8 = \frac{\pi \cdot d_8^3}{32} = \frac{\pi \cdot 14^3}{32} = 269,39 \text{ mm}^3 \quad (197)$$

### Presjek 9-9

Reducirani moment savijanja

$$M_{9red} = \sqrt{(M_9)^2 + 0,75 \cdot (\alpha_0 \cdot T_{BR})^2} \quad (198)$$

$$M_{9red} = \sqrt{(2000)^2 + 0,75 \cdot (0,78 \cdot 3596,22)^2} = 3146,62 \text{ Nmm}$$

$M_9$  - moment savijanja u promatranom presjeku

$$M_9 = M_{9\_Z-X} = M_{BV} = 2000 \text{ Nmm} \quad (199)$$

Faktor sigurnosti u presjeku 9-9

$$S_9 = \frac{b_1 \cdot b_2 \cdot \sigma_{fDN}}{\varphi \cdot \sigma_9} = \frac{0,97 \cdot 0,9 \cdot 190}{1,2 \cdot 11,68} = 11,83 \quad (200)$$

$$\sigma_9 = \frac{M_{9red}}{W_9} = \frac{3146,62}{269,39} = 11,68 \text{ N/mm}^2 \quad (201)$$

$$W_9 = \frac{\pi \cdot d_9^3}{32} = \frac{\pi \cdot 14^3}{32} = 269,39 \text{ mm}^3 \quad (202)$$

### Provjera ležaja na izlaznom vratilu

Ležajno mjesto A je izvedeno kao slobodno

$$F_A = \sqrt{F_{AX}^2 + F_{AY}^2} = \sqrt{248,36^2 + 182,34^2} = 308,19 \text{ N} \quad (203)$$

Odabran je kuglični ležaj sa oznakom 6004 dinamičke nosivosti  $C=9950 \text{ N}$ .

Dinamičko opterećenje ležaja:

$$\begin{aligned} P_r &= F_A = 308,19 \text{ N} \\ C_1 &= P_r \cdot \left( \frac{60 \cdot n_{VR} \cdot L_{10h\_min}}{10^6} \right)^{\frac{1}{\epsilon}} \\ C_1 &= 308,19 \cdot \left( \frac{60 \cdot 1768,75 \cdot 8000}{10^6} \right)^{\frac{1}{3}} = 2918,24 \text{ N} \end{aligned} \quad (204)$$

$C > C_1$ , ležaj zadovoljava

Ležajno mjesto B je izvedeno kao čvrsto

Radijalna komponenta opterećenja ležaja:

$$F_{Br} = \sqrt{F_{BX}^2 + F_{BY}^2} = \sqrt{114,94^2 + 129,71^2} = 173,31 \text{ N} \quad (205)$$

$F_{Ba} = F_{Bz} = 97,36 \text{ N}$  - aksijalna komponenta opterećenja ležaja

Odabran je kuglični ležaj sa oznakom 6005 dinamičke nosivosti  $C=11900 \text{ N}$ .

Ekvivalentno dinamičko opterećenje ležaja:

$$P_r = X \cdot F_{Br} + Y \cdot F_{Ba} = 0,56 \cdot 173,31 + 2,23 \cdot 97,36 = 314,17 \text{ N} \quad (206)$$

Jednostavni jednoredni i jednostavni dvoredni radikalni kuglični ležajevi						
$\alpha = 0$	$\frac{f_0 \cdot F_a}{C_0}$	$\frac{F_a}{F_r} \leq e$		$\frac{F_a}{F_r} > e$		$e$
		X	Y	X	Y	
	0,172			2,3	0,19	
	0,345			1,99	0,22	
	0,689			1,71	0,26	
	1,03			1,55	0,28	
	1,38	1	0	0,56	1,45	0,3
	2,07				1,31	0,34
	3,45				1,15	0,38
	5,17				1,04	0,42
	6,89				1	0,44

Slika 23. Dinamički faktori X i Y

$X, Y$  - faktori koji se određuju na temelju tablice sa slike 23

$$\frac{f_0 \cdot F_{Ba}}{C_0} = \frac{14 \cdot 97,36}{6550} = 0,21 \quad (207)$$

$e$  - se određuje interpolacijom:  $e=0,21$

$$\frac{F_{Ba}}{F_{Br}} = \frac{97,36}{173,31} = 0,56 \quad (208)$$

Slijedi:  $X=0,56$ ,  $Y=2,23$  (dobiven interpolacijom)

$$C_2 = P_r \cdot \left( \frac{60 \cdot n_{VR} \cdot L_{10h\_min}}{10^6} \right)^{\frac{1}{e}} \quad (209)$$

$$C_2 = 314,17 \cdot \left( \frac{60 \cdot 1768,75 \cdot 8000}{10^6} \right)^{\frac{1}{3}} = 2974,87 \text{ N}$$

$C > C_2$ , ležaj zadovoljava

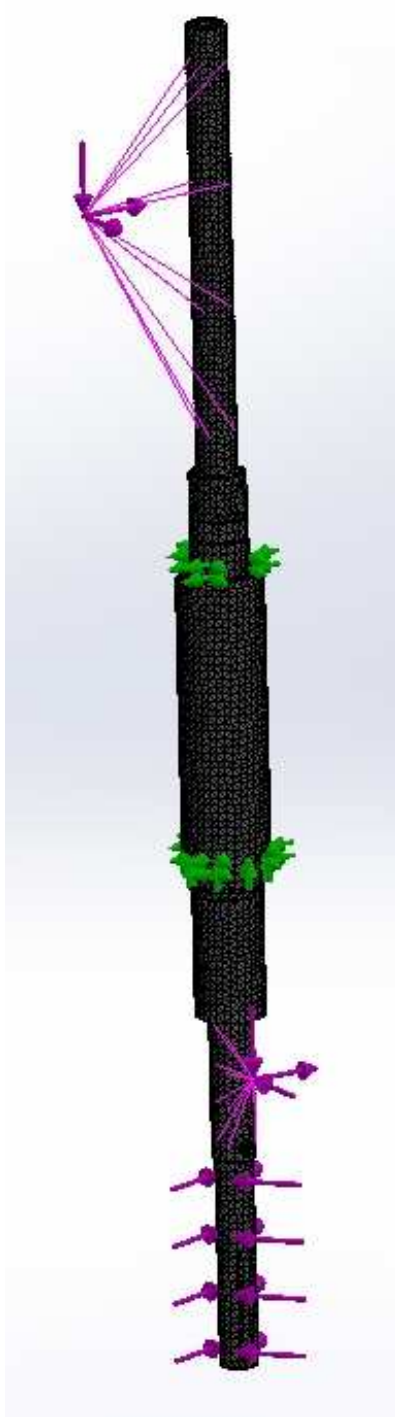
Iz provjere se uočava da su dinamičke nosivosti ležaja prema podacima proizvođača (SKF) bitno veće nego što je potrebno. Zbog potrebne čvrstoće i krutosti vratila, te zahtjeva jednostavnijeg sastavljanja sklopa ipak su odabrani navedeni ležajevi. Razlika u cijeni između izabranih ležaja te onih koji bi bili optimalni s obzirom na dinamičku nosivost je zanemariva.

### Progib vratila

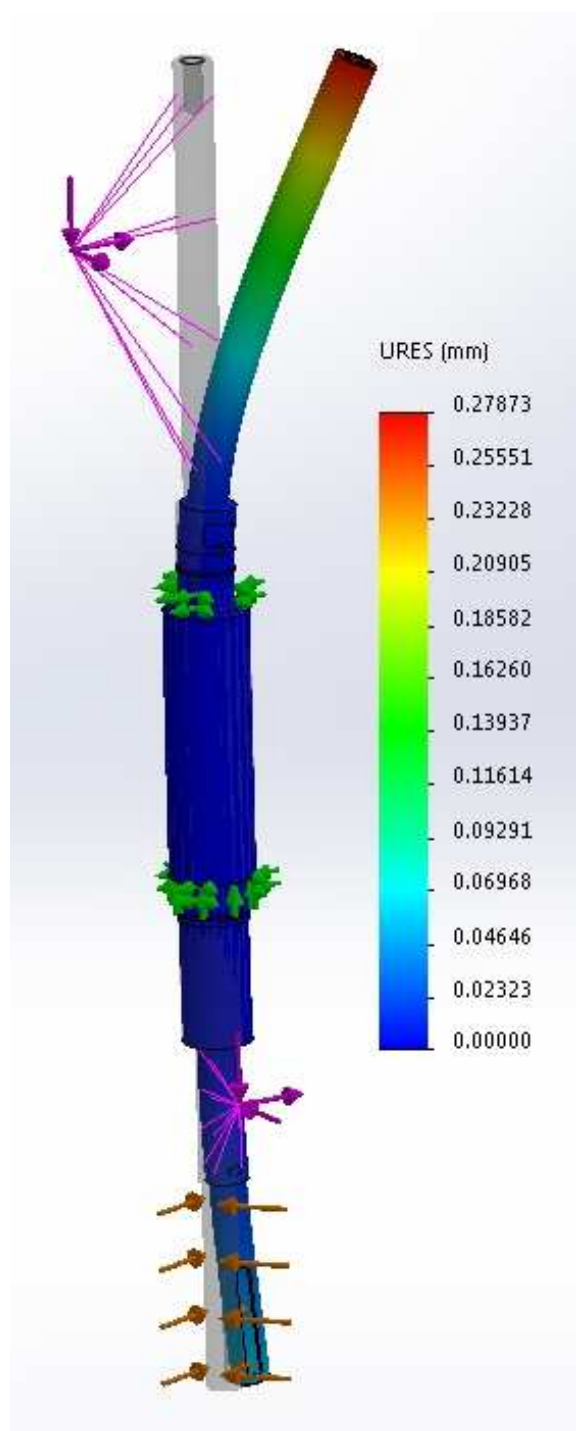
Pravilan zahvat ozubljenja pužnog para moguće ostvariti samo kod točnog uležištenja puža i pužnog kola. Prema [10] progib vratila na mjestu pužnog vijka treba biti manji od iskustvene granice dopuštenog progiba  $f_{fdop}$ .

$$f_{fdop} = \frac{d_{m1}}{1000} = \frac{28}{1000} = 0,028 \text{ mm} \quad (210)$$

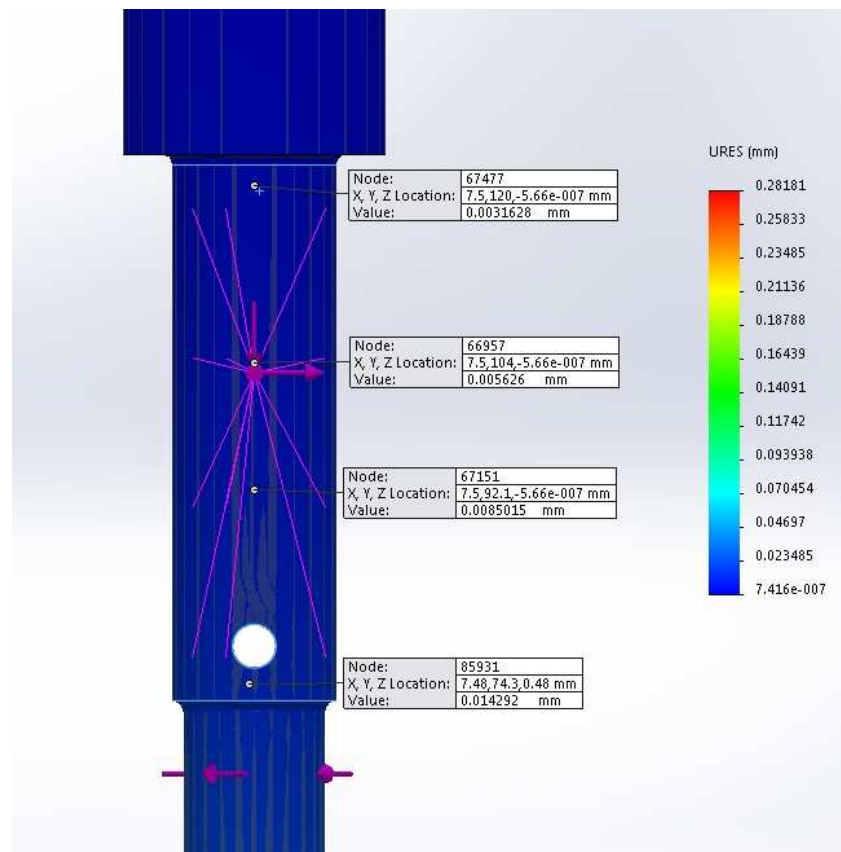
Progib na mjestu puža određen je pomoću modula za analizu metodom konačnih elemenata u sklopu programskog paketa SOLIDWORKS.



Slika 25. Model izlaznog vratila sa definiranim opterećenjima (ljubičasto) i ograničenjima (zeleno)



Slika 24. Izlaznog vratilo u deformiranom obliku

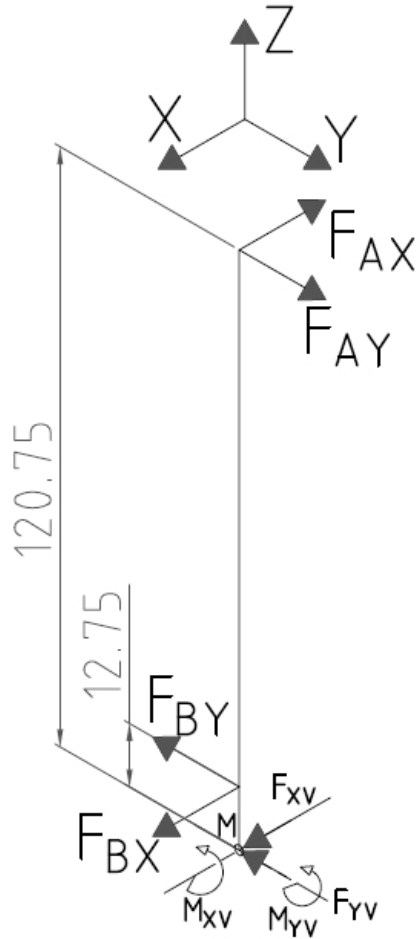


**Slika 26.** Prikaz vrijednosti rezultantne deformacije u pojedinim točkama na mjestu pužnog vijka

### 5.8. Provjera čvrstoće vodilica

Translatirajući sklop sa vodilicama zajedno tvori statički neodređen sustav što bitno otežava proračun čvrstoće svake pojedine vodilice. Kako bi se pojednostavio problem odlučeno je svo opterećenje uzrokovano reakcijskim silama svesti samo na lijevu vodilicu te potom provjeriti njenu čvrstoću. Reakcije ležajeva izlaznog vratila i opterećenja pužnog kola koje uzrokuju savijanje vodilice su prvo reducirane na os ploče koja nosi te elemente. Os ploče je simbolički predstavljena kao greda uklještena na lijevom kraju (mjesto vodilice). Reakcije u uklještenju su sile i momenti koji opterećuju vodilicu.

### Redukcija reakcijskih sila u ležajevima



**Slika 27. Redukcija reakcijskih sila na os nosive ploče**

$$\Sigma F_x = 0 - F_{AX} + F_{BX} + F_{XV} = 0 \quad (211)$$

$$F_{XV} = F_{AX} - F_{BX} = 248,36 - 114,94 = 133,42 \text{ N}$$

$$\Sigma M_{MY} = 0$$

$$-F_{AX} \cdot 120,75 + F_{BX} \cdot 12,75 + M_{YY} = 0 \quad (212)$$

$$M_{YY} = F_{AX} \cdot 120,75 - F_{BX} \cdot 12,75$$

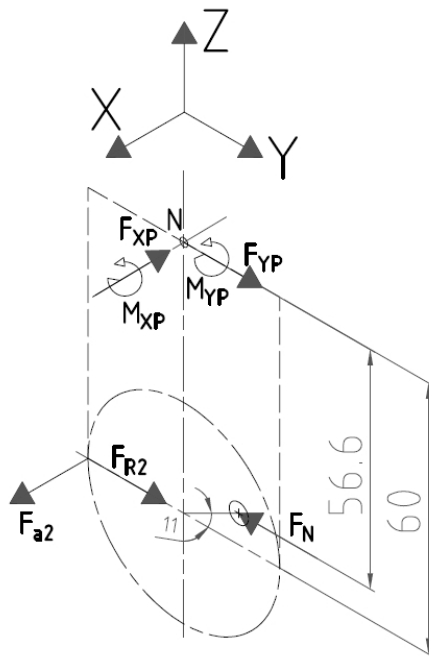
$$M_{YY} = 248,36 \cdot 120,75 - 114,94 \cdot 12,75 = 28523,99 \text{ Nmm}$$

$$\Sigma F_Y = 0$$

$$F_{AY} - F_{BY} - F_{YY} = 0 \quad (213)$$

$$F_{YY} = F_{AY} - F_{BY} = 182,54 - 129,71 = 52,83 \text{ N}$$

$$\begin{aligned}\Sigma M_{MX} &= 0 \\ -F_{AY} \cdot 120,75 + F_{BY} \cdot 12,75 + M_{XV} &= 0 \\ M_{XV} &= F_{AY} \cdot 120,75 - F_{BY} \cdot 12,75 \\ M_{XV} &= 182,54 \cdot 120,75 - 129,71 \cdot 12,75 = 20387,9 \text{ Nmm}\end{aligned}\tag{214}$$



**Slika 28. Redukcija opterećenja na os nosive ploče**

$$\begin{aligned}\Sigma F_X &= 0 \\ F_{a2} + F_{XP} &= 0\end{aligned}\tag{215}$$

$$F_{XP} = F_{a2} = 6,06 \text{ N}$$

$$\Sigma M_{NY} = 0$$

$$M_{YP} - F_{a2} \cdot 60 = 0\tag{216}$$

$$M_{YP} = F_{a2} \cdot 60 = 6,06 \cdot 60$$

$$M_{YP} = 363,6 \text{ Nmm}$$

$$\Sigma F_Y = 0$$

$$F_{YP} + F_{R2} - F_N = 0\tag{217}$$

$$F_{YP} = -F_{R2} - F_N$$

$$F_{YP} = -15,15 + 19,87 = 4,72 \text{ N}$$

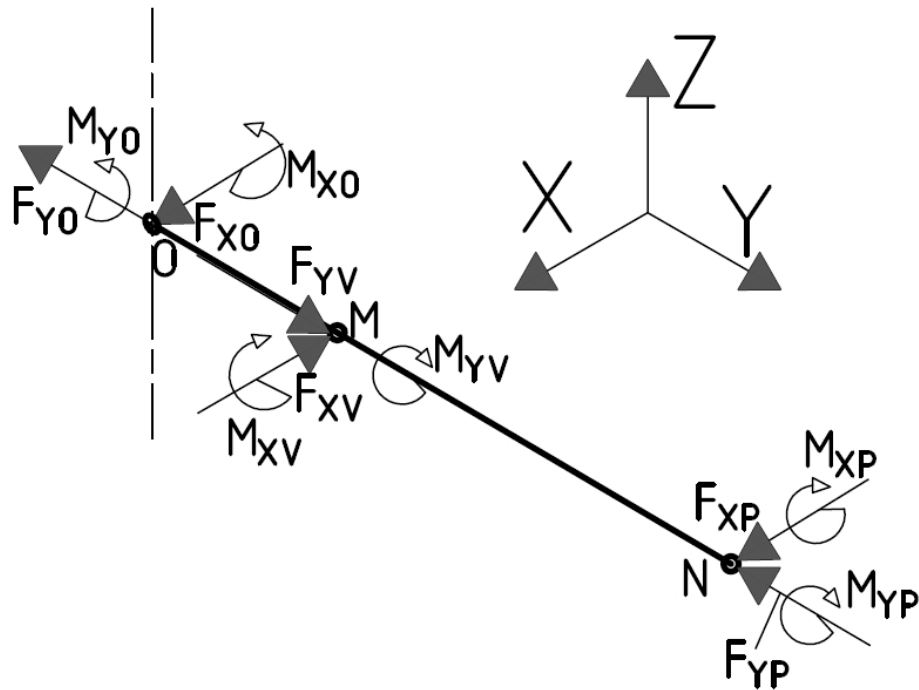
$$\Sigma M_{NX} = 0$$

$$F_{R2} \cdot 60 - F_N \cdot 56,6 + M_{XP} = 0$$

$$M_{XP} = -F_{R2} \cdot 60 + F_N \cdot 56,6 \quad (218)$$

$$M_{XP} = -15,15 \cdot 60 + 19,87 \cdot 56,6$$

$$M_{XP} = 215,64 \text{ Nmm}$$



Slika 29. Redukcija reakcija nosive ploče na točku vodilice

$$\Sigma F_X = 0$$

$$F_{XO} + F_{XP} - F_{XV} = 0 \quad (219)$$

$$F_{XO} = F_{XV} - F_{XP} = 133,42 - 6,06 = 127,36 \text{ N}$$

$$\Sigma M_{OY} = 0$$

$$M_{YO} - M_{YP} - M_{YV} = 0 \quad (220)$$

$$M_{YO} = M_{YP} + M_{YV} = 363,6 + 28523,99 = 28887,6 \text{ Nmm}$$

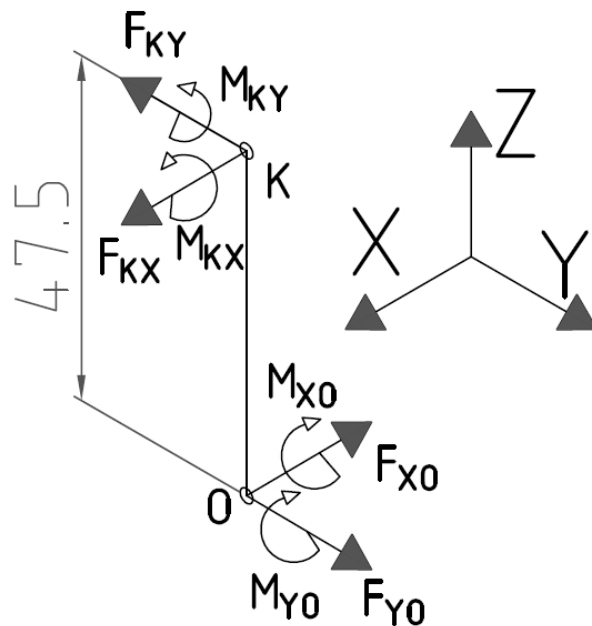
$$\Sigma F_Y = 0$$

$$-F_{YO} + F_{XV} - F_{YP} = 0 \quad (221)$$

$$F_{YO} = -F_{YP} + F_{YV} = -4,72 + 52,83 = 48,11 \text{ N}$$

$$\begin{aligned}\Sigma M_{OX} &= 0 \\ M_{XO} - M_{XV} - M_{XP} &= 0 \\ M_{XO} = M_{XV} + M_{XP} &= 20387,9 + 215,64 = 20603,54 \text{ Nmm}\end{aligned}\tag{222}$$

Vodilica je za nosivu ploču čvrsto spojena vijčanim spojem pa je vodilica analizirana kao vertikalna konzola učvršćena u točki K



Slika 30. Redukcija opterećenja vodilice

$$\begin{aligned}\Sigma F_X &= 0 \\ F_{KX} - F_{XO} &= 0 \\ F_{KX} = F_{XO} &= 127,36 \text{ N}\end{aligned}\tag{223}$$

$$\begin{aligned}\Sigma M_Y &= 0 \\ F_{XO} \cdot 47,5 - M_{YO} - M_{KY} &= 0 \\ M_{KY} = M_{YO} - F_{XO} \cdot 47,5 &= 28887,6 - 127,36 \cdot 47,5 \\ M_{KY} &= 22838 \text{ Nmm}\end{aligned}\tag{224}$$

$$\begin{aligned}\Sigma F_Y &= 0 \\ F_{YO} - F_{KY} &= 0 \\ F_{KY} &= F_{YO} = 48,11 \text{ N}\end{aligned}\tag{225}$$

$$\begin{aligned}\Sigma M_X &= 0 \\ F_{YO} \cdot 47,5 - M_{XO} + M_{KX} &= 0 \\ M_{KX} &= M_{XO} - F_{YO} \cdot 47,5 = 20603,54 - 48,11 \cdot 47,5 \\ M_{KX} &= 18318,32 \text{ Nmm}\end{aligned}\tag{226}$$

Rezultantni moment savijanja

$$\begin{aligned}M_{rez} &= \sqrt{M_{KY}^2 + M_{KX}^2} = \sqrt{22838^2 + 18318,32^2} \\ M_{rez} &= 29276,87 \text{ Nmm}\end{aligned}\tag{227}$$

Savojno naprezanje

$$\sigma = \frac{M_{rez}}{W} = \frac{29276,87}{331,34} = 88,36 \text{ N/mm}^2\tag{228}$$

$$W = \frac{\pi \cdot d^3}{32} = \frac{\pi \cdot 15^3}{32} = 331,34 \text{ mm}^3\tag{229}$$

Rezultantna poprečna sila

$$F_{rez} = \sqrt{F_{KX}^2 + F_{KY}^2} = \sqrt{127,36^2 + 48,11^2} = 136,14 \text{ Nmm}\tag{230}$$

Smično naprezanje

$$\tau = \frac{F_{rez}}{A} = \frac{F_{rez}}{\frac{d^2 \cdot \pi}{4}} = \frac{136,14}{\frac{15^2 \cdot \pi}{4}} = 0,003 \text{ N/mm}^2 \approx 0\tag{231}$$

*d* - promjer vodilice

Faktor sigurnosti za materijal S355J2G3

$$S = \frac{\sigma_{fDN}}{\sigma} = \frac{240}{88,36} = 2,72 \quad (232)$$

### 5.9. Provjera čvrstoće poluge

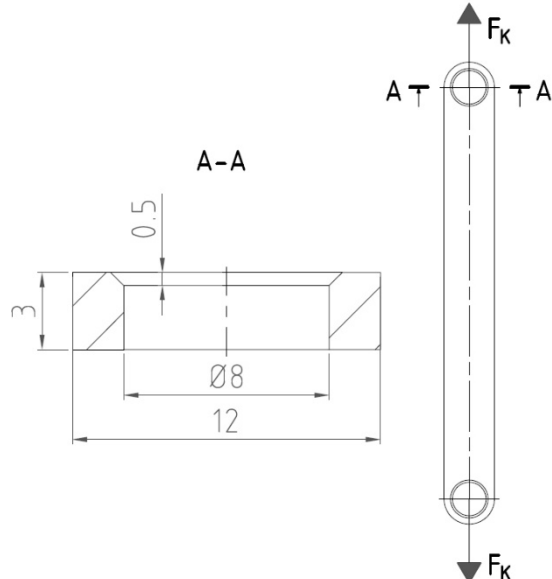
Najveća vlačna sila u poluzi se javlja u donjoj mrtvoj točki kretanja mehanizma, tj. kada je  $\alpha=0^\circ$ .

$$\sigma = \frac{F_K/2}{A_s} = \frac{\frac{112,82}{2}}{12} = 4,7 \frac{\text{N}}{\text{mm}^2} \quad (233)$$

$$\sigma < \sigma_{\text{dop}} = 220 \frac{\text{N}}{\text{mm}^2} \text{ (S235JRG2)}$$

Kritičan presjek

$$A_s = (12 - 8) \cdot 3 = 12 \text{ mm}^2 \quad (234)$$



Slika 31. Skica poluge mehanizma

Površinski tlak u ležaju poluge

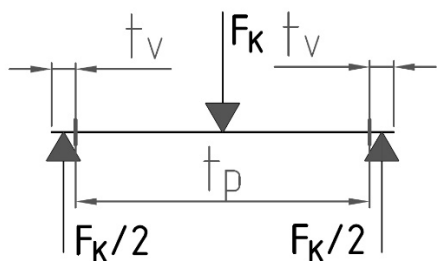
$$p = \frac{\frac{F_K}{2}}{A_l} = \frac{\frac{112,82}{2}}{20} = 2,82 \text{ N/mm}^2 \quad (235)$$

$$p < p_{\text{dop}} = 30 \text{ N/mm}^2 \text{ (Iglidur J)}$$

$A_l$  – projicirana površina

$$A_l = 8 \cdot 2,5 = 20 \text{ mm}^2 \quad (236)$$

### 5.10. Provjera čvrstoće svornjaka u ekscentru



Slika 32. Skica opterećenja svornjaka

Naprezanje na savijanje

$$\sigma = \frac{M}{W} = \frac{817,95}{21,21} = 38,56 \text{ N/mm}^2 \quad (237)$$

$$M = \frac{F_K \cdot (t_p + 2 \cdot t_v)}{8} = \frac{112,82 \cdot (50 + 2 \cdot 4)}{8} = 817,95 \text{ Nmm} \quad (238)$$

$$W = \frac{\pi \cdot d^3}{32} = \frac{\pi \cdot 6^3}{32} = 21,21 \text{ mm}^3 \quad (239)$$

$d$ -promjer svornjaka

Faktor sigurnosti za materijal S235JRG2

$$S = \frac{\sigma_{\text{fDN}}}{\sigma_{\text{ekv}}} = \frac{190}{38,56} = 4,93 \quad (240)$$

### 5.11. Provjera površinskog tlaka u kliznom ležaju pužnog kola



**Slika 33. Dimenzije kliznog ležaja**

Najveća sila koja uzrokuje površinski pritisak u ležaju se javlja u donjoj mrtvoj točki mehanizma, tj. kada je  $\alpha = 0^\circ$ .

$$p = \frac{F_K}{A_l} = \frac{\frac{112,82}{2}}{754} = 0,08 < p_{\text{dop}} = 0,6 \text{ N/mm}^2 \text{ (CuSn12) [6]} \quad (241)$$

$$A_l = 58 \cdot 13 = 754 \text{ mm}^2 \quad (242)$$

$A_l$  – projicirana površina

## 6. ZAKLJUČAK

Brušenje je sastavni dio procesa obrade drva u konačni proizvod. Jedan od nedostataka te tehnologije jest relativno sporo odvajanje čestica drva pa se najčešće koristi tek u završnoj fazi obrade proizvoda. Kako bi se iskoristile prednosti te tehnologije kao što su mogućnost postizanja dobre kvalitete površine i precizne geometrije proizvoda konstruirana je brusilica sa oscilirajućim gibanjem alata, brusnim tulnjem.

Oscilirajuće, translacijsko gibanje alata i njegova istovremena rotacija oko iste osi je postignuta korištenjem radnog principa klipnog mehanizma uz pomoć pužnog prijenosnika. To je suvremeno rješenje kod kojeg pužni vijak iskorištava glavno rotacijsko gibanje alata te odvodi relativno malu snagu sa pogonskog vratila kako bi pokretao pužno kolo sa ekscentrično uloženim svornjakom što rezultira dobivanjem oscilirajućeg gibanja. Takvom konfiguracijom strojnih elemenata dobivena su dva različita gibanja uz korištenje samo jednog motora što rezultira uštedom novca, prostora te pojednostavljuje konstrukciju. Eventualni nedostatak takvog rješenja je ekscentar u pužnom kolu koji je to veći što je translatorni hod alata veći što rezultira bitno većim dimenzijama pužnog para nego što bi one bile kod klasične primjene u reduktoru iste snage.

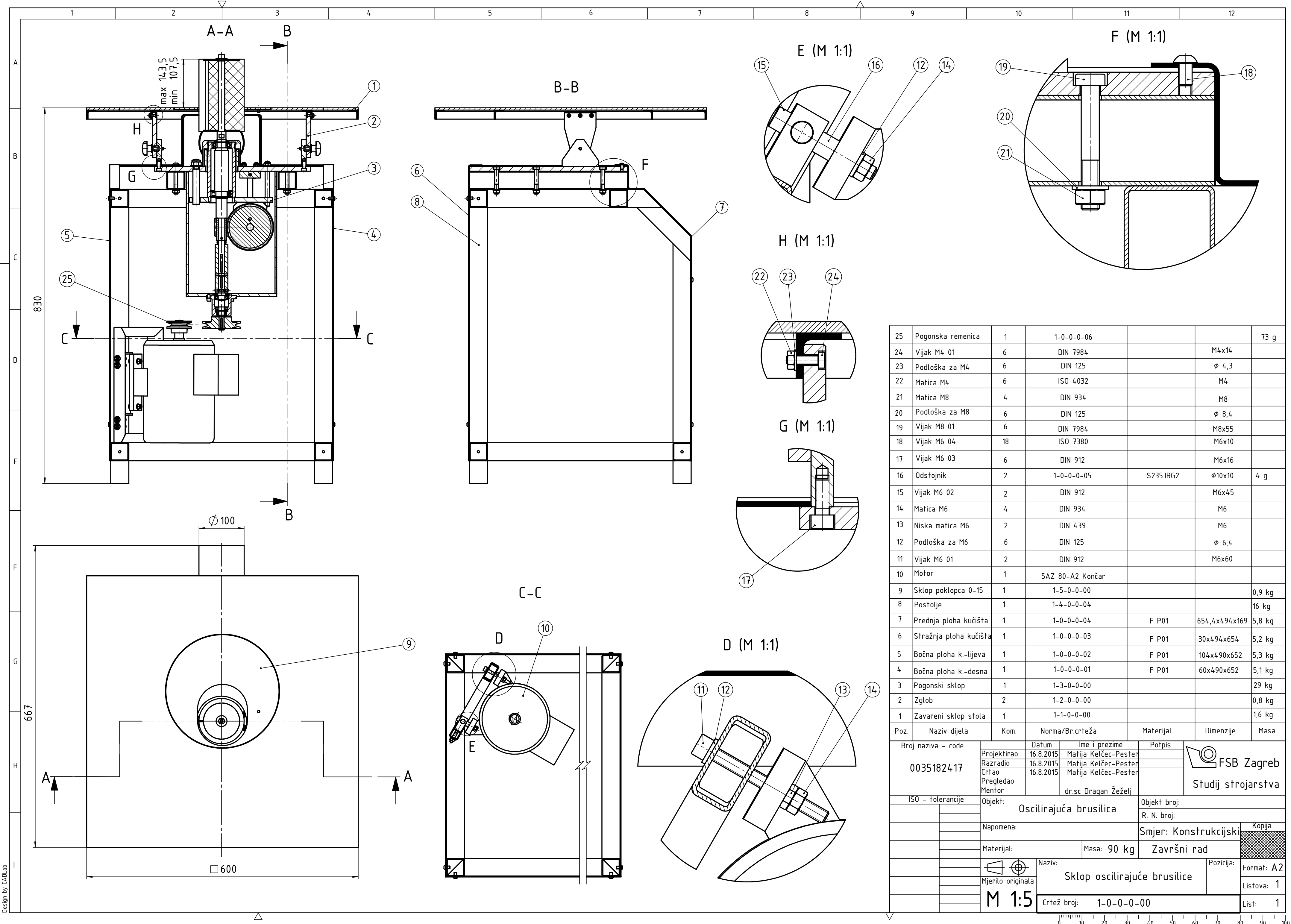
U radu je proveden proračun svih važnijih strojnih dijelova na temelju dostupnih eksperimentalnih podataka o opterećenju iz literature. Dijelovi su dimenzionirani uz nešto veće koeficijente sigurnosti zbog postizanja veće krutosti vratila koji nose pužni par te nedovoljno poznatih sila koje opterećuju alat. S obzirom da pritisak obratka na alat ovisi samo o volji korisnika te sile mogu značajno varirati.

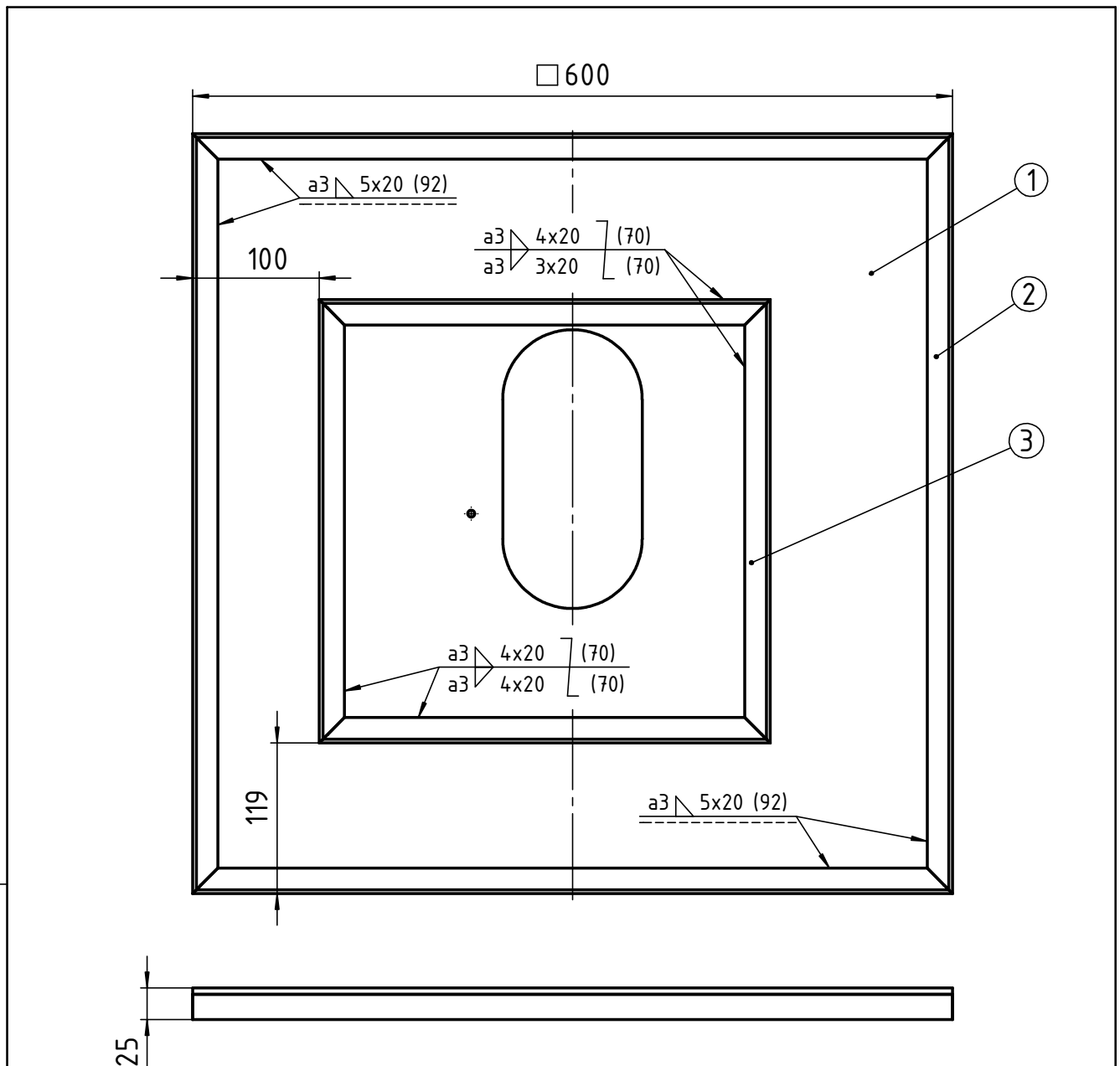
## LITERATURA

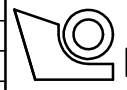
- [1] Kraut, B.: Strojarski priručnik; Sajema, Zagreb, 2009.
- [2] Decker, K. H.: Elementi strojeva, Tehnička knjiga Zagreb, 2006.
- [3] Herold, Z.: Računalna i inženjerska grafika, Zagreb, 2007.
- [4] Horvat, Z.: Vratilo (Proračun), Zagreb
- [5] Jeras, D.: Motori s unutrašnjim izgaranjem; Zagreb, 1975.
- [6] Križan, B.: Osnove proračuna i oblikovanja konstrukcijskih elemenata, Školska knjiga, Zagreb, 2008.
- [7] Kovač, B.: Praktičar 2 – strojarstvo 1, Grafički zavod Hrvatske, Zagreb, 1973.
- [8] Filetin, T., Kovačiček, F., Indof, J.: Svojstva i primjena materijala, Fakultet strojarstva i Brodogradnje, Zagreb, 2009.
- [9] Jelaska, D., Podrug, S.: Proračun remenskih prijenosa, FESB Split, Split, 2001.
- [10] Oberšmit, E.: Ozubljenja i zupčanici, SNL, Zagreb, 1982.
- [11] Csanády, E., Magoss, E.: Mechanics of Wood Machining, Springer, 2011.
- [12] Samolej, A., Barcík, Š.: Influence of specific pressure on cutting power and wood removal by disc sander, Drvna industrija 57, 2006.
- [13] Luo, B., Li, L., Liu, H., Xu, M., Xing, F.: Analysis of Sanding Parameters, Sanding Force, Normal Force, Power Consumption, and Surface Roughness in Sanding Wood-Based Panels, BioResources 9, 2014
- [14] Ruxandra, L. M., Badescu, L. A.: Research on Power Consumption for Sanding Process with Abrasive Brushes to Solid Spruce and MDF Panels, Procedia Engineering 100, 2014
- [15] <http://www.igus.hr/>
- [16] <http://www.skf.com/hr/index.html>
- [17] <http://www.wmh-herion.de/en/home.html>
- [18] <http://www.koncar-mes.hr/>
- [19] <http://www.optibelt.com/en.html>
- [20] Matejiček, F.: Kinetika sa zbirkom zadataka, Slavonski Brod, 2010.
- [21] Lowenthal, H. S.: Design of Power Transmitting Shafts, NASA, 1984.
- [22] <http://www.jettools.com/us/en/home/>
- [23] Jelaska, D.: Radijalni klizni ležaj (Proračun), Split, 2003

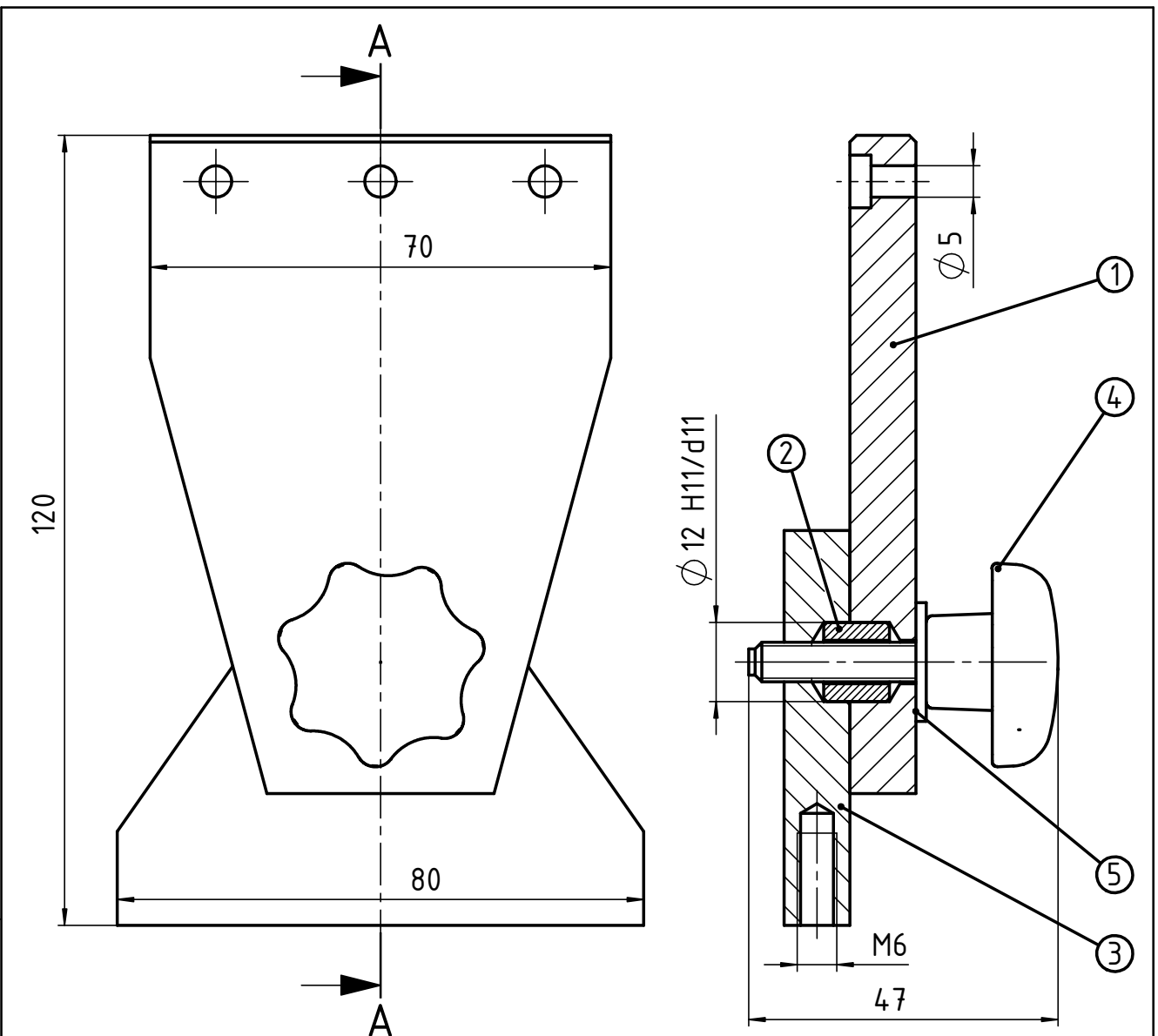
## **PRILOZI**

- I. CD-R disc
- II. Tehnička dokumentacija





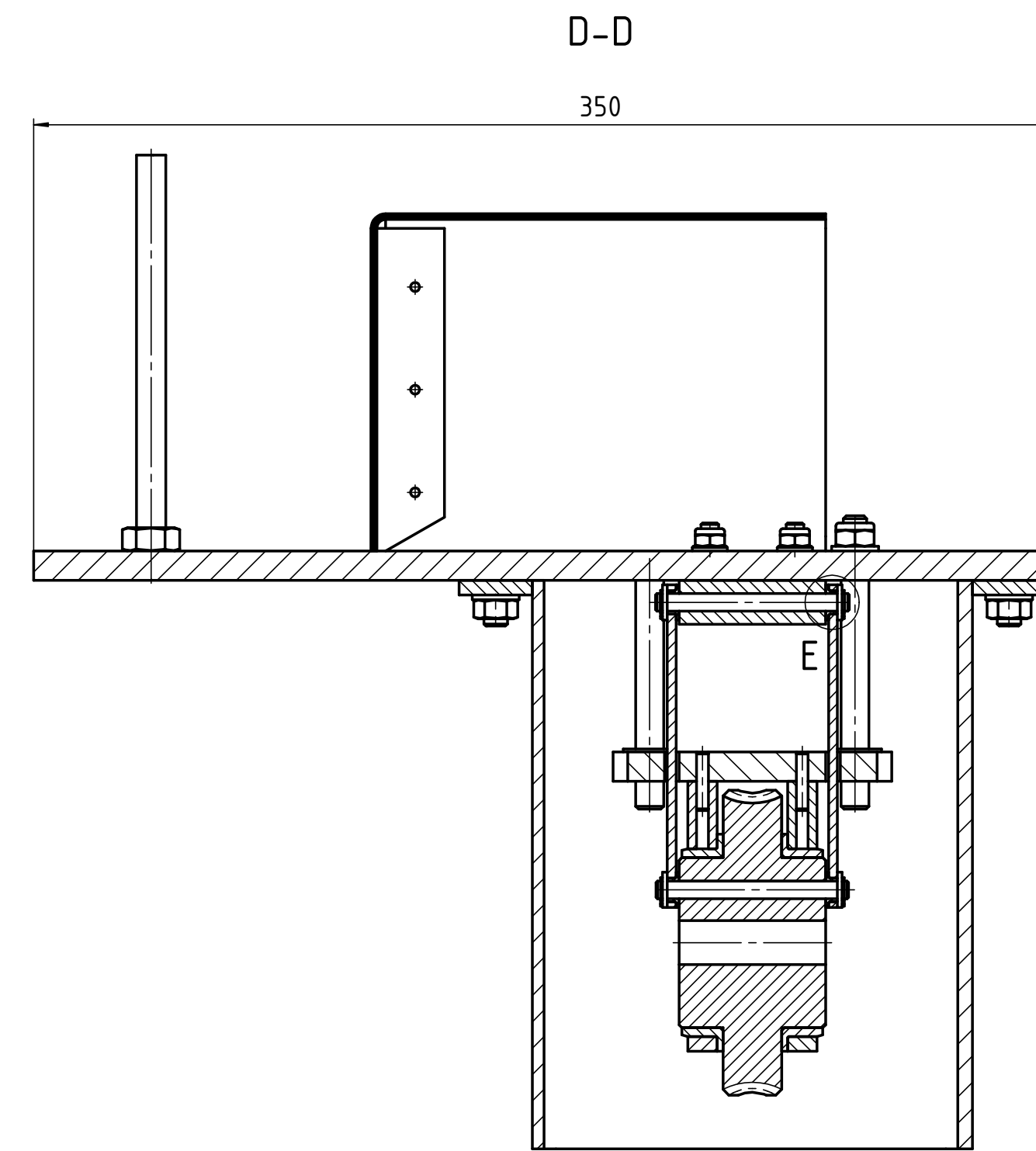
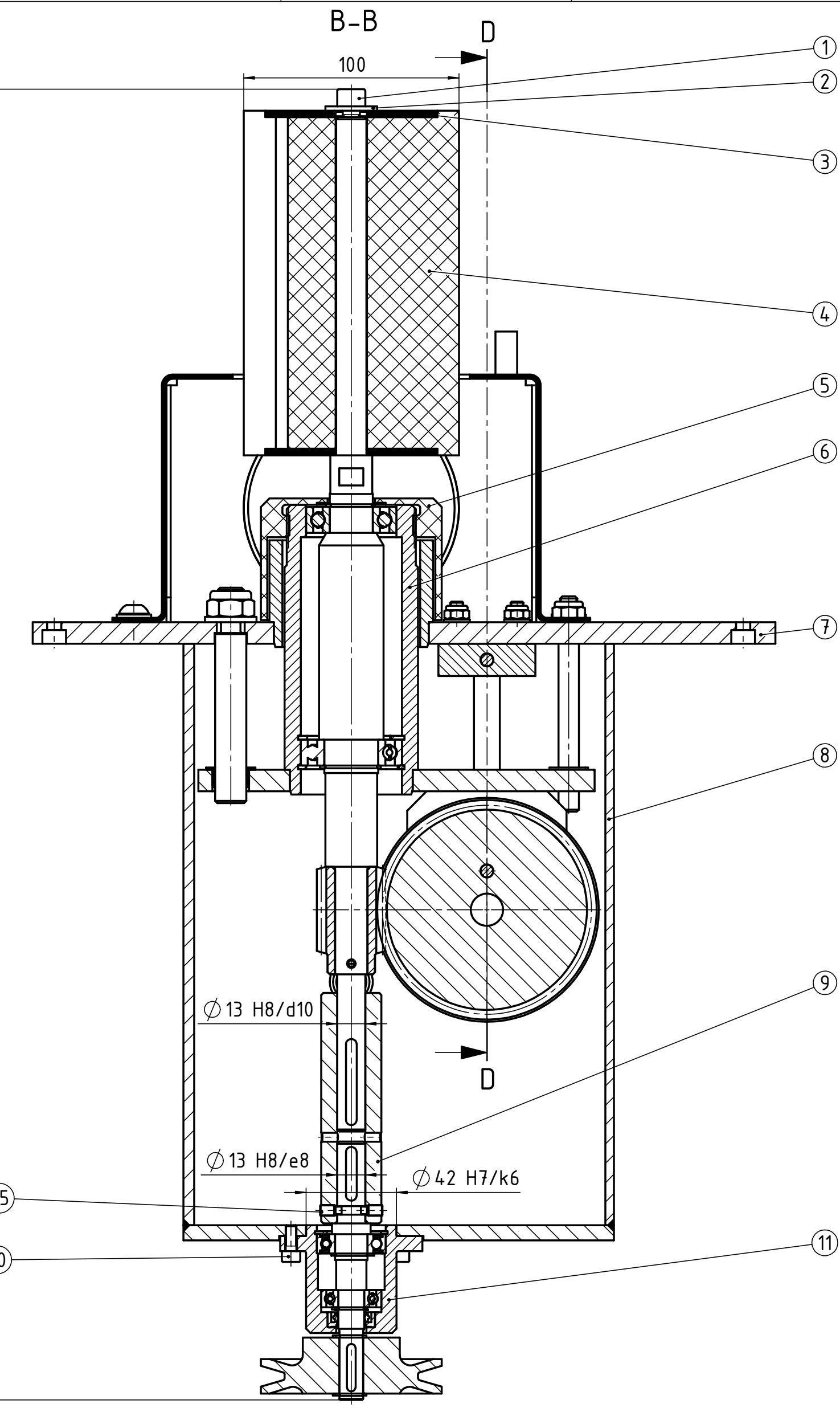
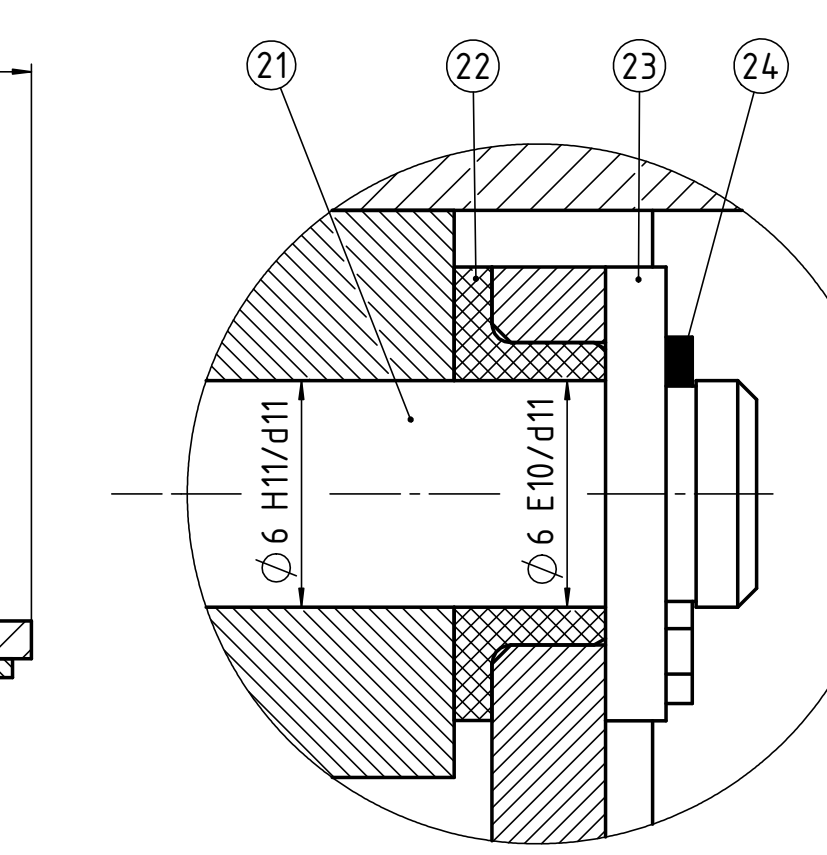
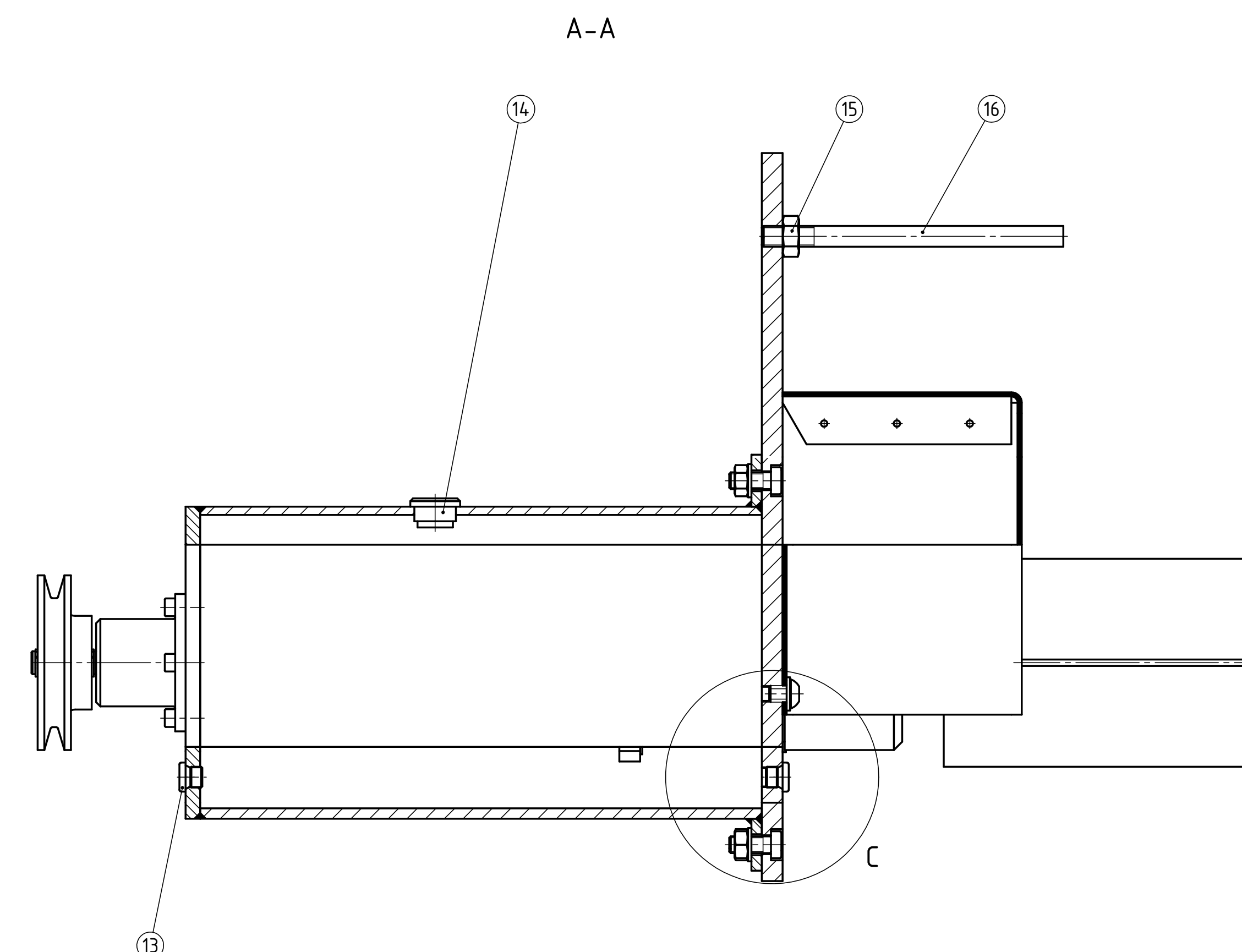
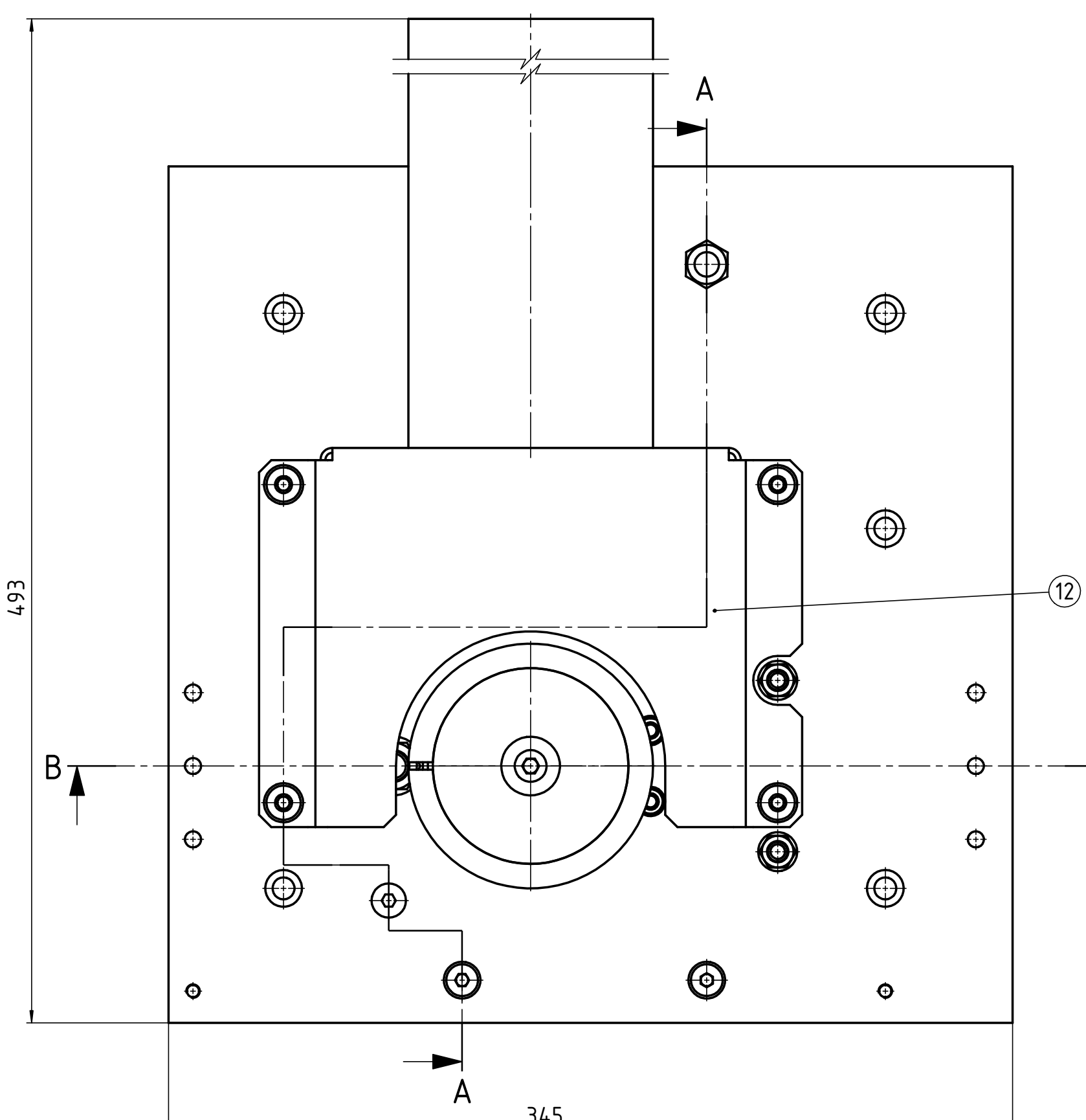
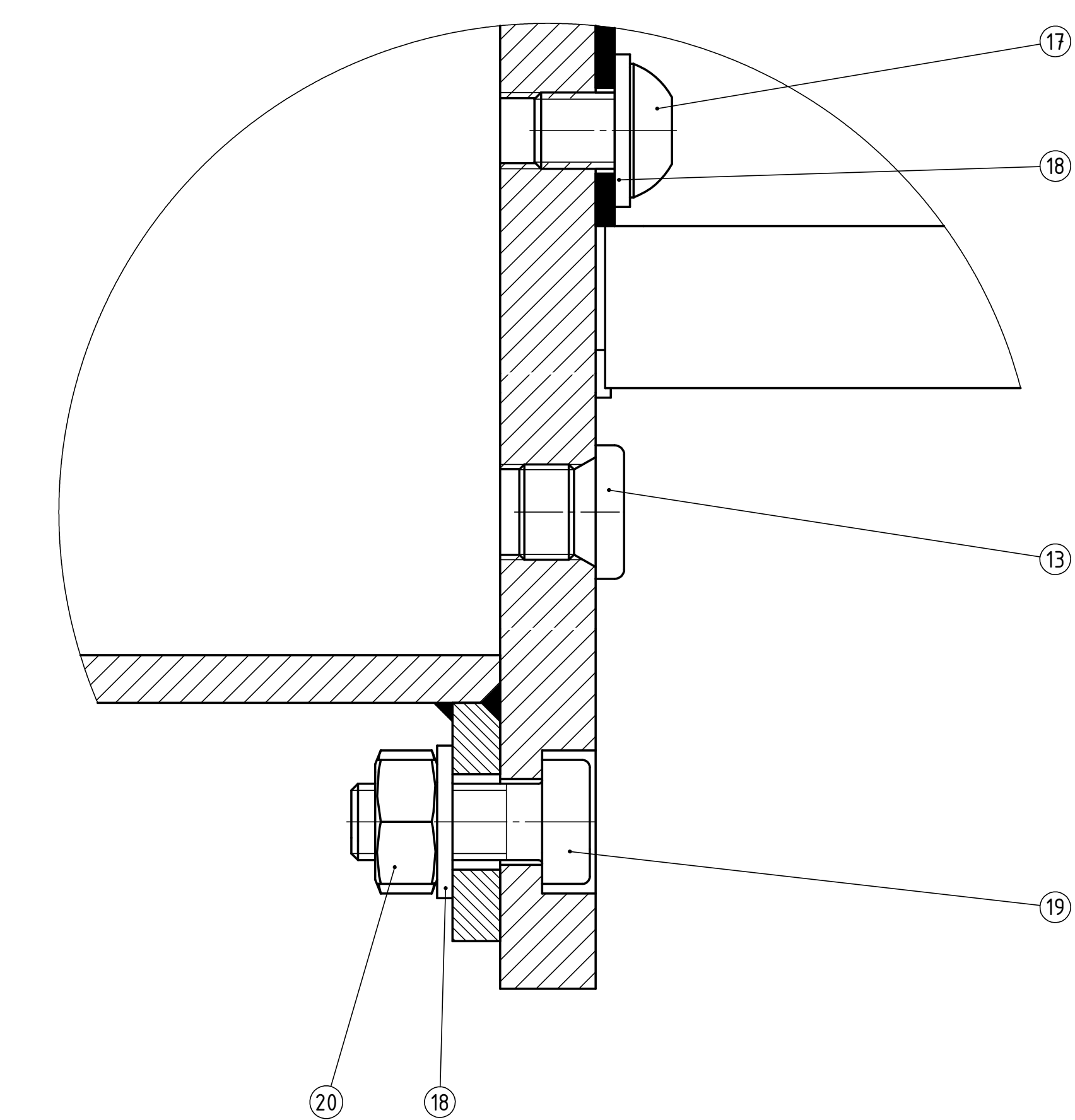
3	Mali okvir	1	1-1-0-0-03	S235JRG2	356X350X20	1,2 kg
2	Veliki okvir	1	1-1-0-0-02	S235JRG2	600X600X20	2,1 kg
1	Radna ploha	1	1-1-0-0-01	S235JRG2	600X600X5	1,3 kg
Poz.	Naziv dijela	Kom.	Norma/Br.crteža	Materijal	Dimenzije	Masa
Broj naziva - code 0035182417		Datum	Ime i prezime	Potpis	 <b>FSB Zagreb</b> Studij strojarstva	
	Projektirao	14.8.2015	Matija Kelčec-Pester			
	Razradio	14.8.2015	Matija Kelčec-Pester			
	Crtao	14.8.2015	Matija Kelčec-Pester			
	Pregledao					
	Mentor		dr.sc Dragan Žeželj			
ISO - tolerancije		Objekt:	Oscilirajuća brusilica	Objekt broj:		
				R. N. broj:		
		Napomena:		Smjer: Konstrukcijski	Kopija	
		Materijal:	Masa: 1,6 kg	Završni rad		
			Naziv: <b>Zavareni sklop stola</b>	Pozicija: 1	Format: A4	
		Mjerilo originala <b>M 1:5</b>			Listova: 1	
			Crtež broj: 1-1-0-0-02		List: 1	



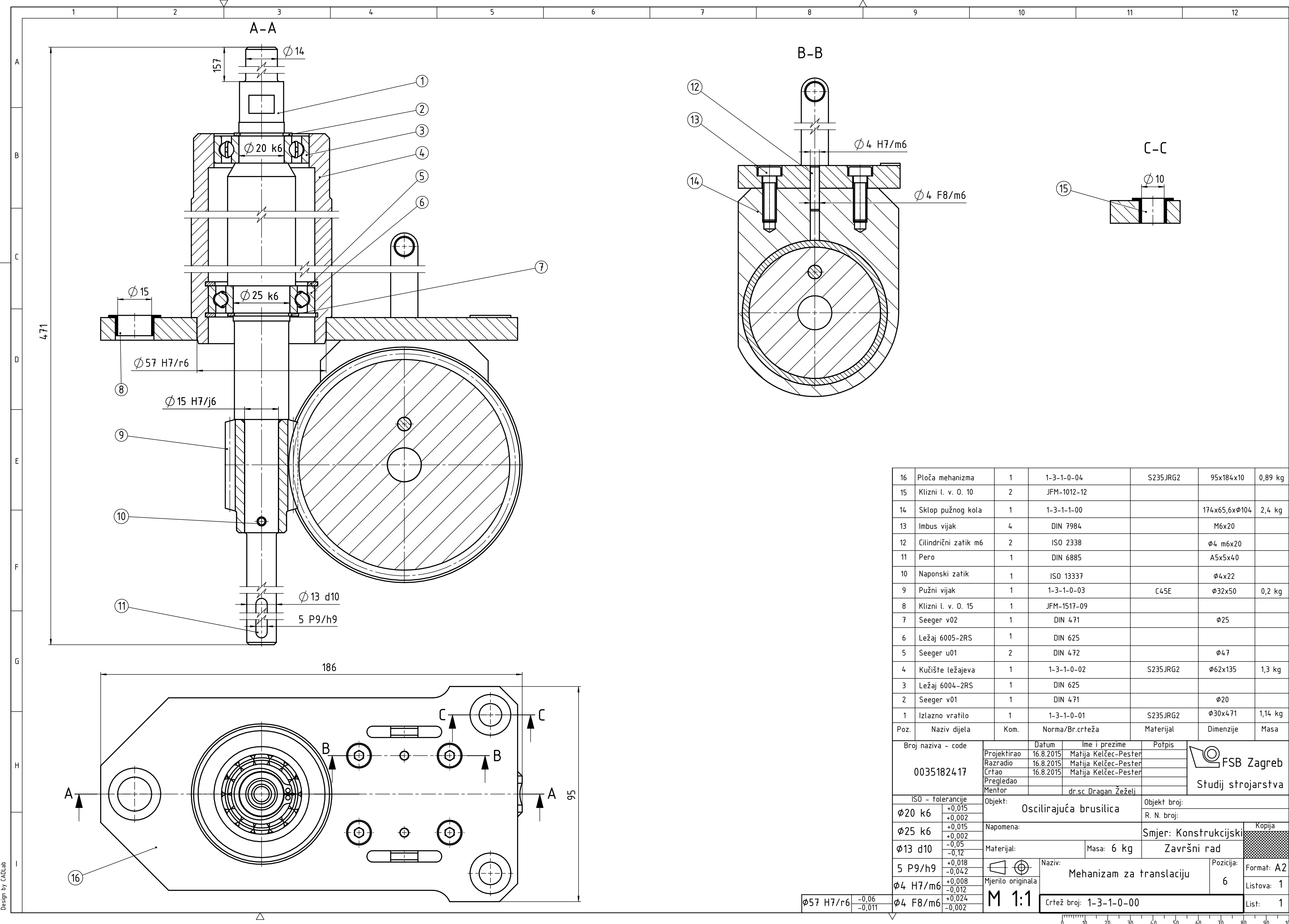
5	Podloška	1	DIN 9021		Ø6,3/Ø18	
4	Vijak s ručkom	1	DIN 6336		M 6x25	
3	Donja ploča zgloba	1	1-2-0-0-03	S235JRG2	60x80x10	0,3 kg
2	Osovinica zgloba	1	1-2-0-0-02	S235JRG2	Ø12/Ø6,6x10	
1	Gornja ploča zgloba	1	1-2-0-0-01	S235JRG2	100x70x10	0,4 kg
Poz.	Naziv dijela	Kom.	Norma/Br.crteža	Materijal	Dimenzije	Masa
Broj naziva - code 0035182417		Datum	Ime i prezime	Potpis	 <b>FSB Zagreb</b> Studij strojarstva	
		Projektirao 14.8.2015	Matija Kelčec-Pester			
		Razradio 14.8.2015	Matija Kelčec-Pester			
		Črtao 14.8.2015	Matija Kelčec-Pester			
		Pregledao				
		Mentor	dr.sc Dragan Žeželj			
ISO - tolerancije		Objekt: Ø12 H11/d11 +0,27 +0,05	Oscilirajuća brusilica	Objekt broj:		
				R. N. broj:		
		Napomena:		Smjer: Konstrukcijski	Kopija	
		Materijal:	Masa: 0,8 kg	Završni rad	Kopija	
			Naziv: Mjerilo originala <b>Zglob</b>	Pozicija: 2	Format: A4	
		<b>M 1:1</b>	Crtež broj: 1-2-0-0-00		Listova: 1	
Design by CADLab					List: 1	

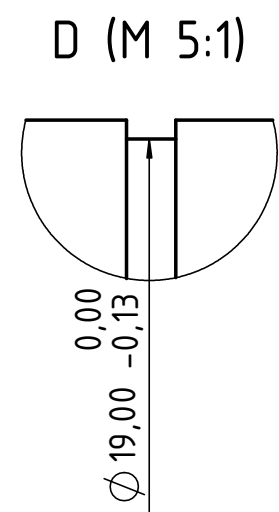
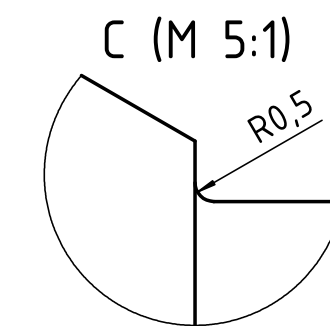
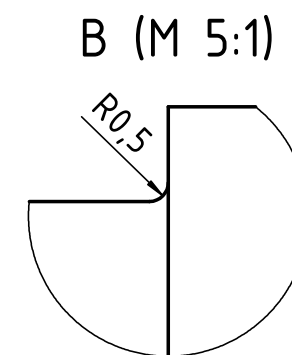
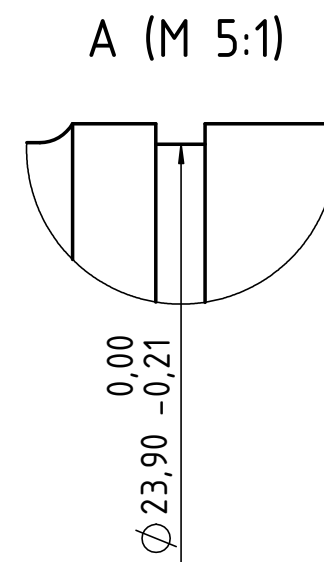
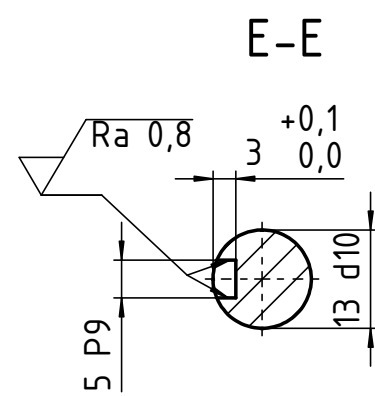
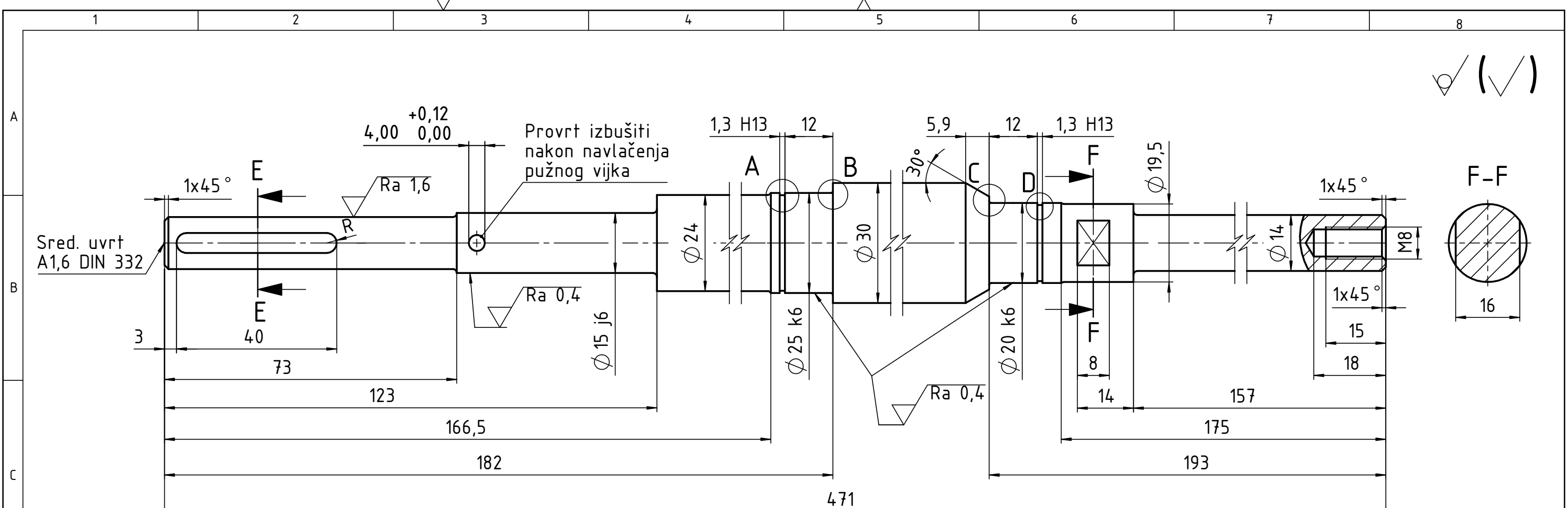
max 645

min 609

E  
(M 5:1)C  
(M 2:1)

Broj naziva - code	Datum	Ime i prezime	Potpis
0035182417	15.8.2015.	Matija Kelčec-Pester	
	15.8.2015.	Matija Kelčec-Pester	
	16.8.2015.	Matija Kelčec-Pester	
		Prepledao	
		Menor	dr.sc. Dragan Žeželj
ISO - tolerancije		Objekt:	Objekt broj:
$\varnothing 13$ H8/e8	+0,086 +0,032	Oscilirajuća brusilica	R. N. broj:
$\varnothing 13$ H8/d10	+0,05 +0,025	Napomena:	
$\varnothing 42$ H7/m6	+0,016 -0,025	Materijal:	Smjer: Konstrukcijski
$\varnothing 6$ H11/d11	+0,18 +0,03	Masa: 29 kg	Završni rad
$\varnothing 6$ E10/d11	+0,173 +0,05	Mjerilo originala	Pozicija: A1
		Naziv:	Format: A1
			Listova: 1
			List: 1



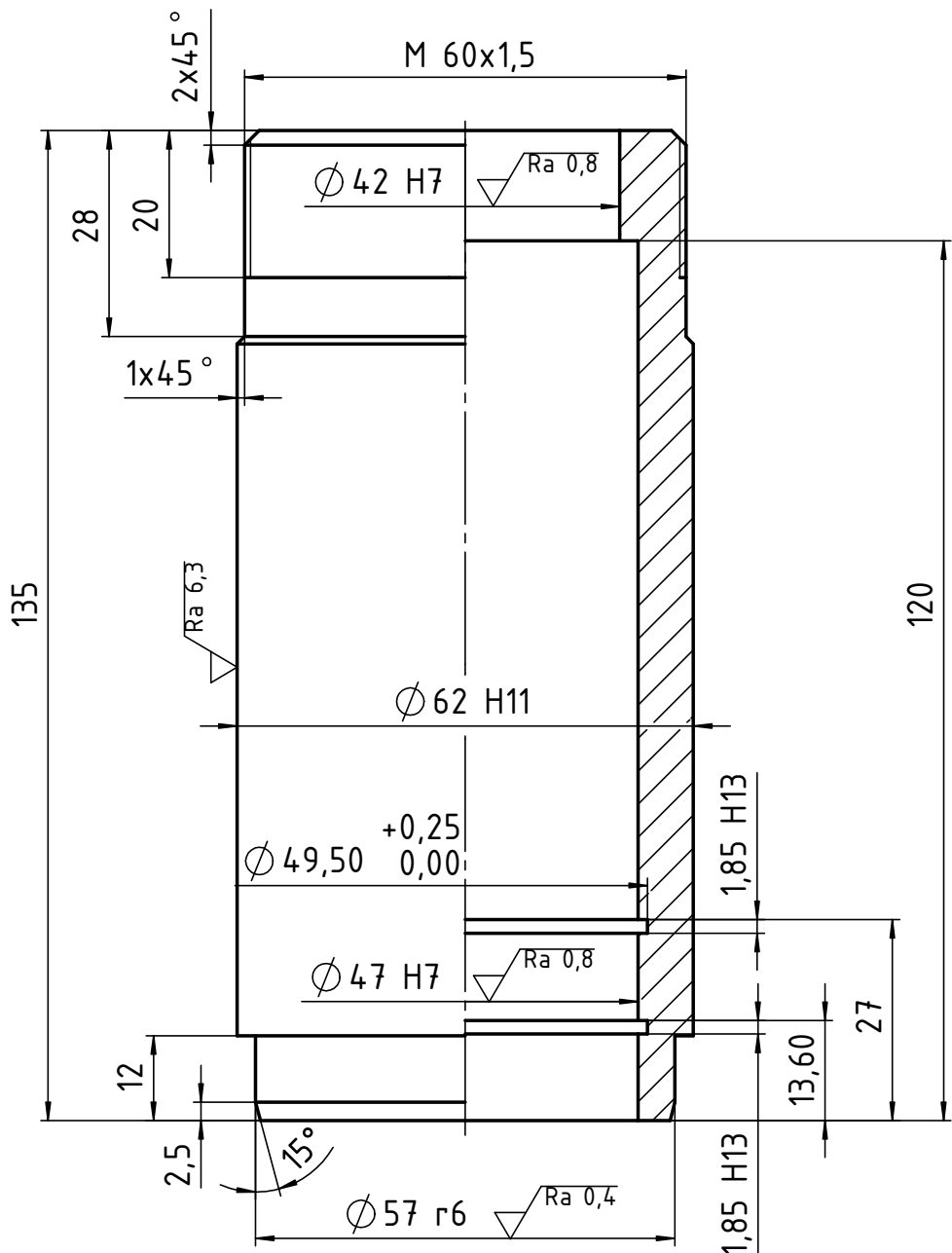


Svi radijusi na prijelazima vratila iznose  $R=1$  mm, osim dva prikazana kao detalji B i C.

Provrt  $\phi 4$  mm izbušiti kroz već postojeći provrt na pužnom viku nakon navlačenja.

Broj naziva - code	Datum	Ime i prezime	Potpis
0035182417	16.8.2015	Matija Kelčec-Pester	
	16.8.2015	Matija Kelčec-Pester	
	16.8.2015	Matija Kelčec-Pester	
ISO - tolerancije	Objekt:		Objekt broj:
$\phi 13$ d10	-0.05 -0.12	Oscilirajuća brusilica	R. N. broj:
$\phi 15$ j6	+0.008 -0.003	Napomena:	Kopija
$\phi 25$ k6	+0.015 -0.002	Tol. slobodnih mjera: ISO 2768-m	Smjer: Konstrukcijski
$\phi 20$ k6	+0.015 +0.002	Materijal: S235JRG2	Završni rad
5 P9	-0.012 -0.042	Masa: 1,14 kg	
1,3 H13	+0.14 0	Naziv: Izlazno vratilo	Pozicija: Format: A3
			1
			Listova: 1
			List: 1

✓ (✓)



Broj naziva - code  0035182417	Datum	Ime i prezime	Potpis
	Projektirao 14.8.2015	Matija Kelčec-Pester	
	Razradio 14.8.2015	Matija Kelčec-Pester	
	Črtao 14.8.2015	Matija Kelčec-Pester	
	Pregledao		
	Mentor	dr.sc Dragan Žeželj	
ISO - tolerancije		Objekt: Oscilirajuća brusilica	Objekt broj: R. N. broj:
Ø62 H11	+0,19 0	Napomena: Tol. slobodnih mjera: ISO 2768-m	Smjer: Konstrukcijski Kopija
Ø57 r6	+0,06 +0,041		
Ø47 H7	+0,025 0		
Ø42 H7	+0,025 0	Materijal: S235JRG2 Naziv: Kučište ležajeva Mjerilo originala 1:1	Završni rad Pozicija: 4 Format: A4 Listova: 1 List: 1
		Crtanje broj: 1-3-1-0-02	

1

2

3

4

5

6

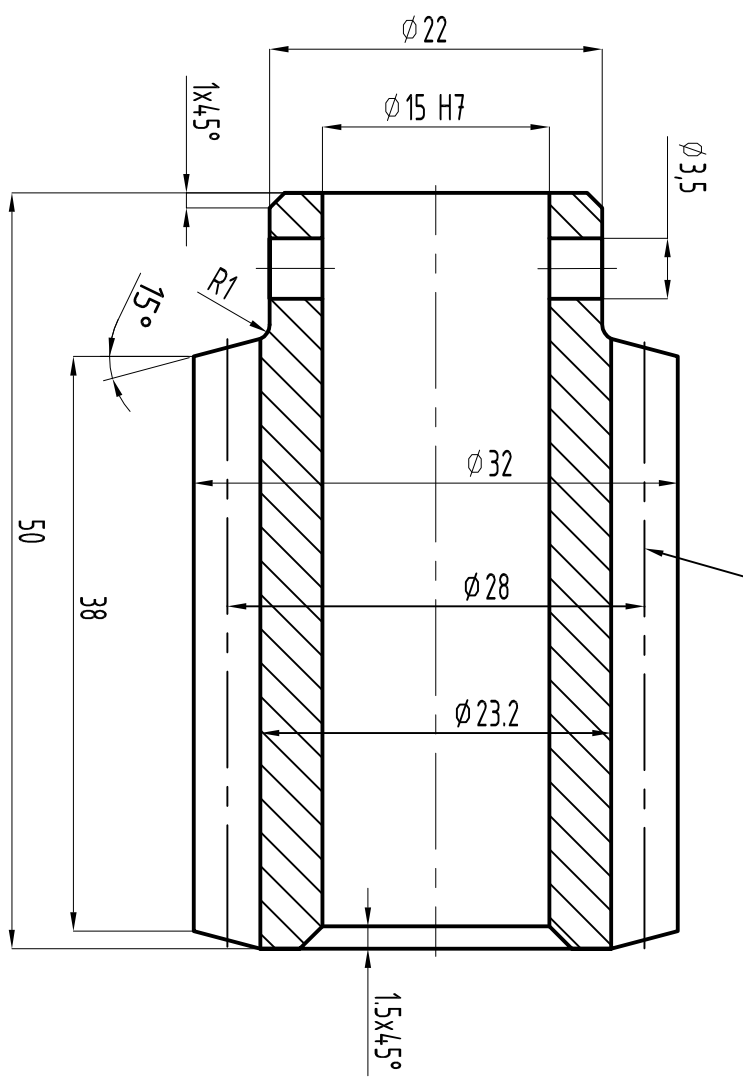
7

8

↙/⟨√⟩

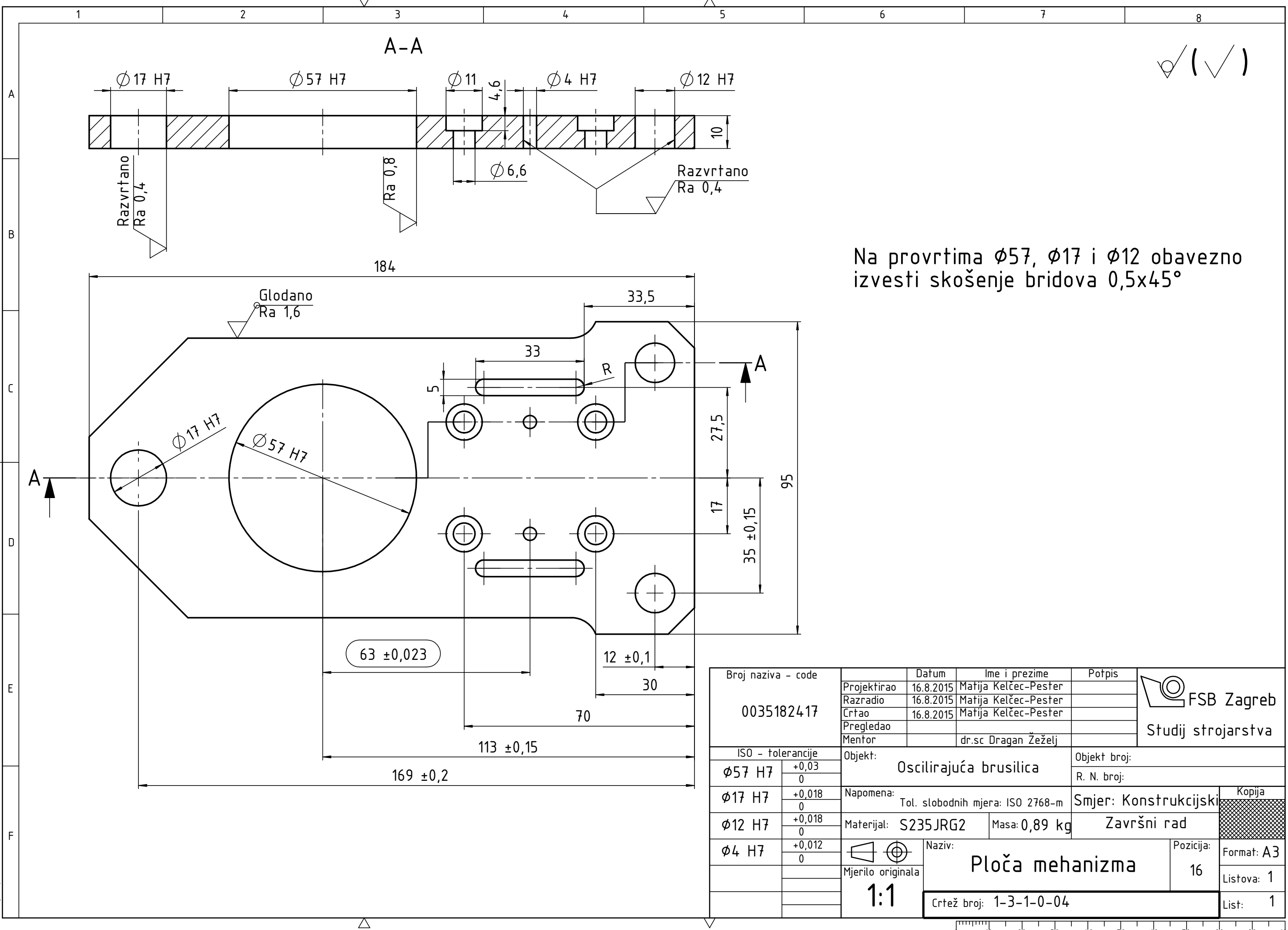
## Pužni vijak

Broj zubi	$Z_1$	1
Smjer zavojnice		Desni
Modul	$m$	2
Srednji promjer	$d_{m1}$	28
Kut zahvata u normalnoj ravnini $\alpha_n$		20°
Aksijalni korak	$P_a$	6,283
Uspon	$P$	6,283
Srednji kut uspona	$\gamma_m$	4,086°
Debljina zuba	$s_{m1}$	3,134
Tjemena visina zuba	$h_a$	2
Osni razmak	$a$	$63 \pm 0,023$
Profil		ZA



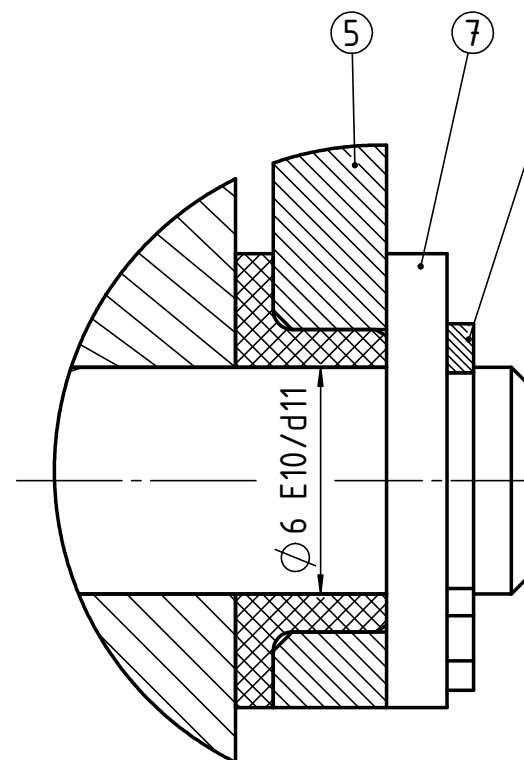
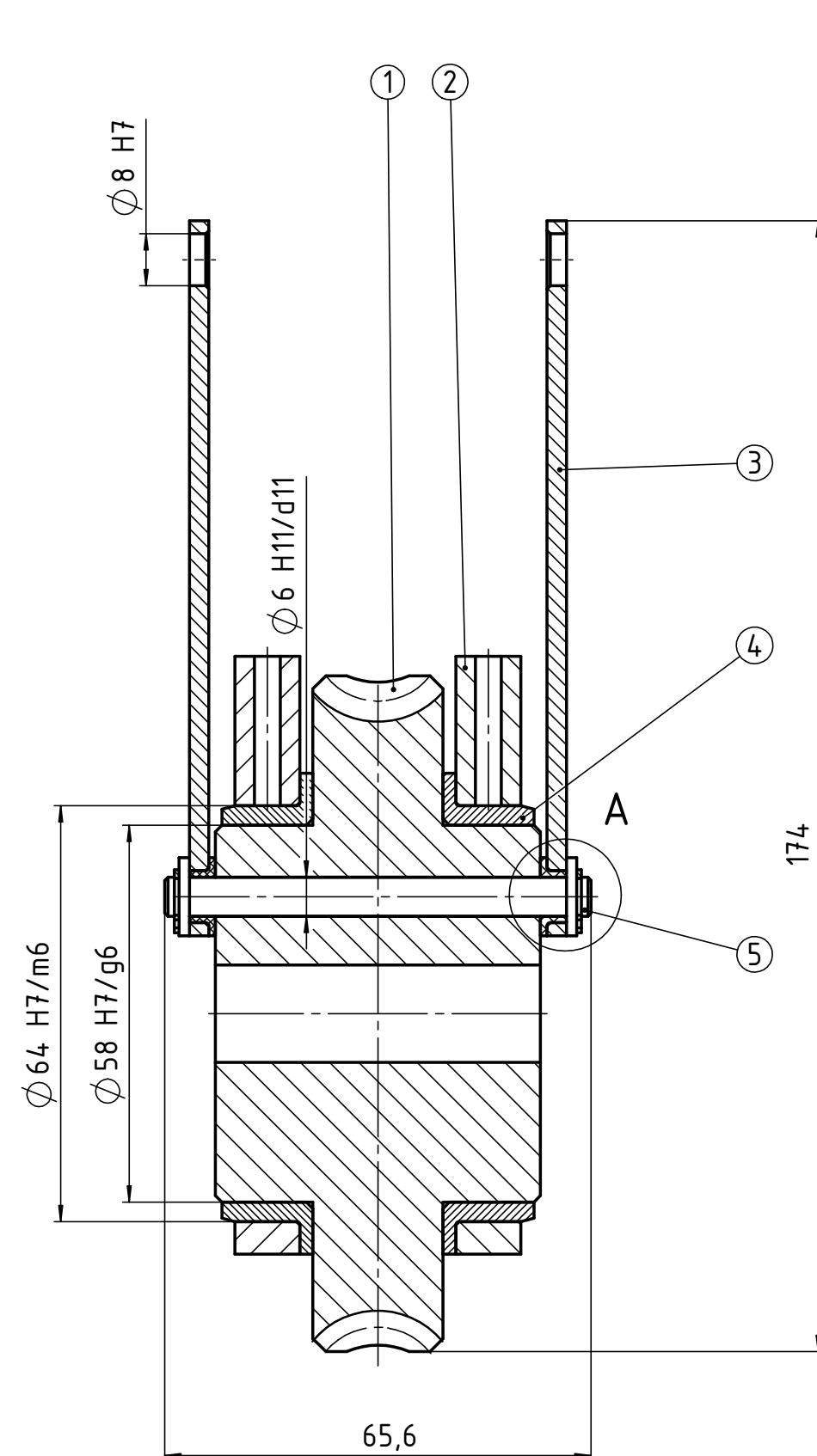
Broj zubi pužnog kola	$Z_2$	49
Dijobeni promjer pužnog kola	$d_{w2}$	98
Kvaliteta ozubljenja 8		

Br. naziva - code	Datum	Ime i prezime	Potpis	FSB Zagreb Studij strojarstva
0035182417	16.8.2015	Marija Kelčec-Pester		
Razradio	16.8.2015	Marija Kelčec-Pester		
Crtao	16.8.2015	Marija Kelčec-Pester		
Pregledao		dr.sc. Dragan Žeželj		
ISO - tolerancije		Objekt:	Objekt broj:	
$\phi 15\ H7$	+0,018 0	Oscilirajuća brusilica	R. N. broj:	
Napomena:	Tol. slobodnih mjer: ISO 2768-m	Smjer: Konstrukcijski	Konija	
Materijal:	C45E	Mas.: 0,2 kg	Završni rad	
Mjerilo originala			Pozicija:	
<b>M 2:1</b>			9	
Crtež broj:	1-3-1-0-03		Format:	A3
			List:	1



1                    2                    3                    4                    5                    6                    7                    8

Detalj A  
(M 5:1)



8	Seeger		2	DIN 471		Ø6	
7	Podloška za M6		2	DIN 125		Ø6,4	
6	Klizni ležaj s.m		2	JFM-0608-04			
5	Svornjak mehanizma		1	1-3-1-1-05	S235JRG2	Ø6x66	14,2 g
4	Klizni ležaj p.k		2	1-3-1-1-04	P. CuSn12.01	Ø74x14	85 g
3	Poluga mehanizma		2	1-3-1-1-03	S235JRG2	12x110	27,5 g
2	Nosač pužnog kola		2	1-3-1-1-02	S235JRG2	92x74x10	0,21 kg
1	Pužno kolo		1	1-3-1-1-01	EN-GJL250S	Ø104x50	1,7 kg
Poz.	Naziv dijela		Kom.	Norma/Br.crtreža	Materijal	Dimenzije	Masa
Broj naziva - code  0035182417				Datum	Ime i prezime	Potpis	
		Projektirao	16.8.2015	Matija Kelčec-Pester			
		Razradio	16.8.2015	Matija Kelčec-Pester			
		Črtao	16.8.2015	Matija Kelčec-Pester			
		Pregledao					
		Mentor		dr.sc Dragan Žeželj			
ISO - tolerancije		Objekt: Oscilirajuća brusilica			Objekt broj:		
Ø6 E10/d11	+0,173 +0,05				R. N. broj:		
Ø6 H11/d11	+0,18 +0,03	Napomena:			Smjer: Konstrukcijski		Kopija
Ø64 H7/m6	+0,019 -0,03						
Ø58 H7/g6	+0,059 +0,01	Materijal:		Masa: 2,4 kg	Završni rad		Format: A3
Ø8 H7	+0,015 0			Naziv: Sklop pužnog kola	Pozicija: 14		
		Mjerilo originala	M 1:1	Crtež broj: 1-3-1-1-00			Listova: 1
							List: 1

1

2

3

4

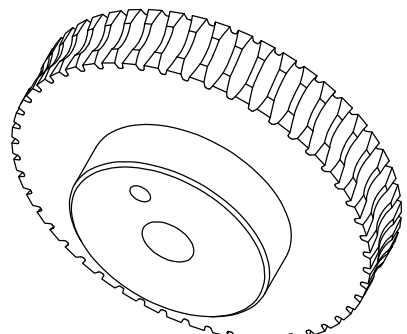
5

6

7

8

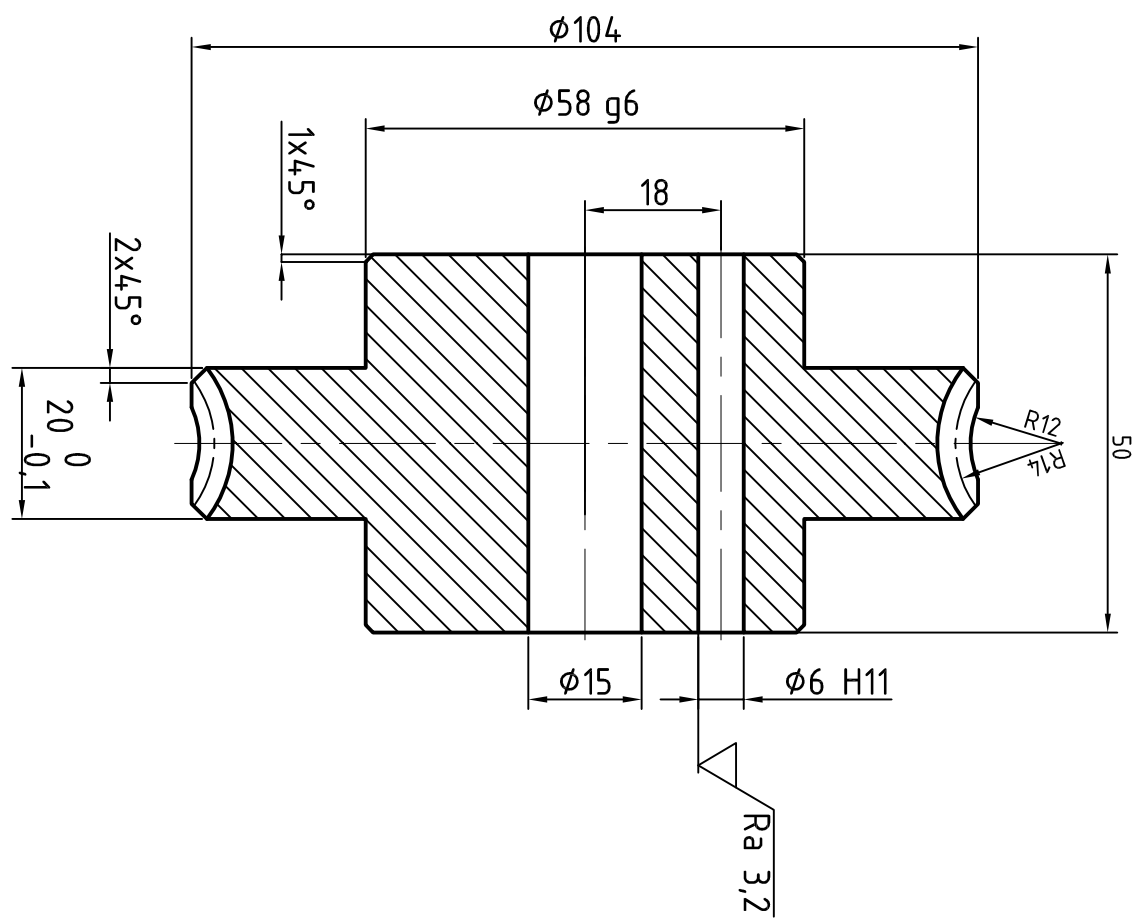
↙/⟨√⟩



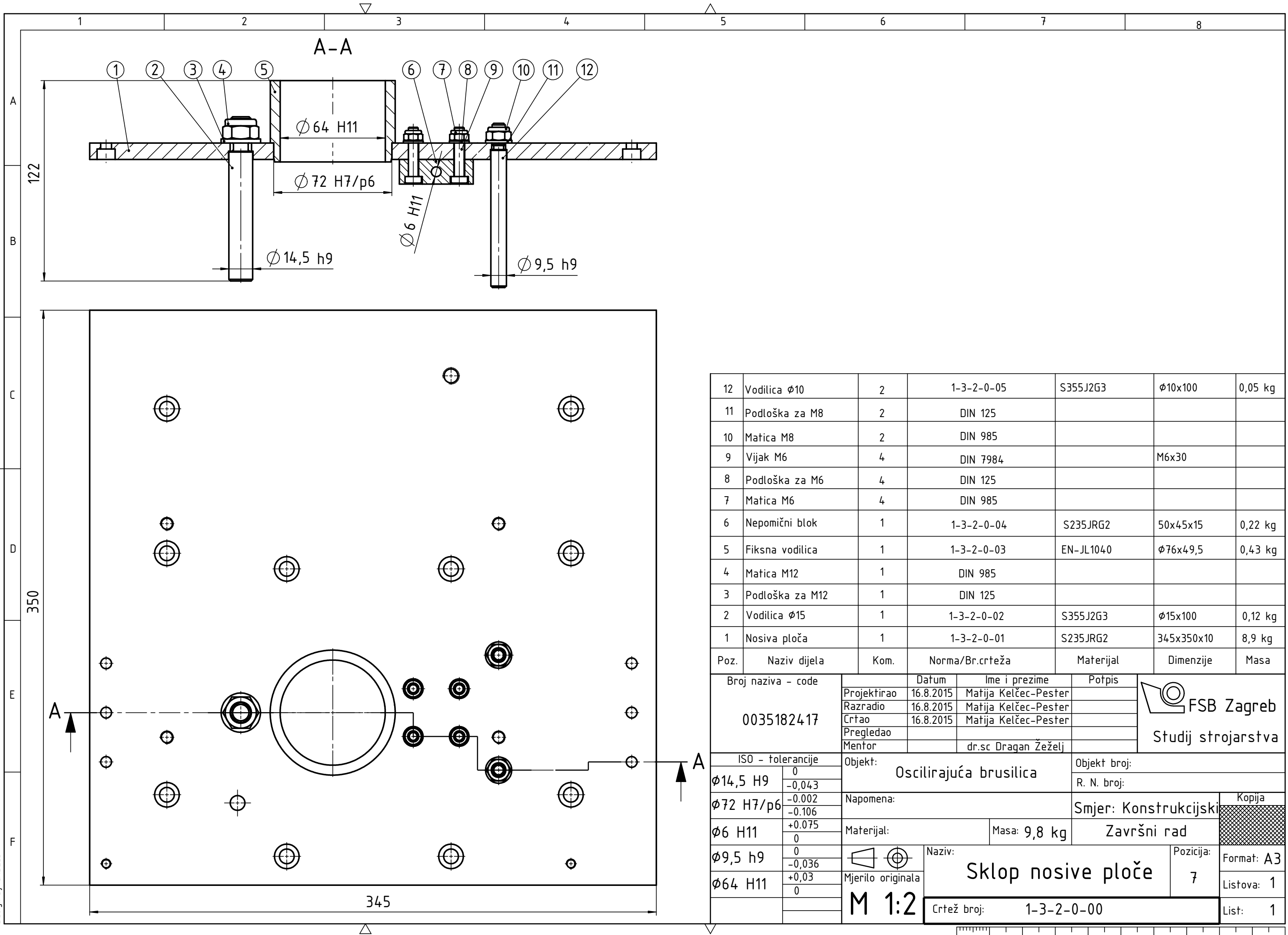
Pužno kolo
------------

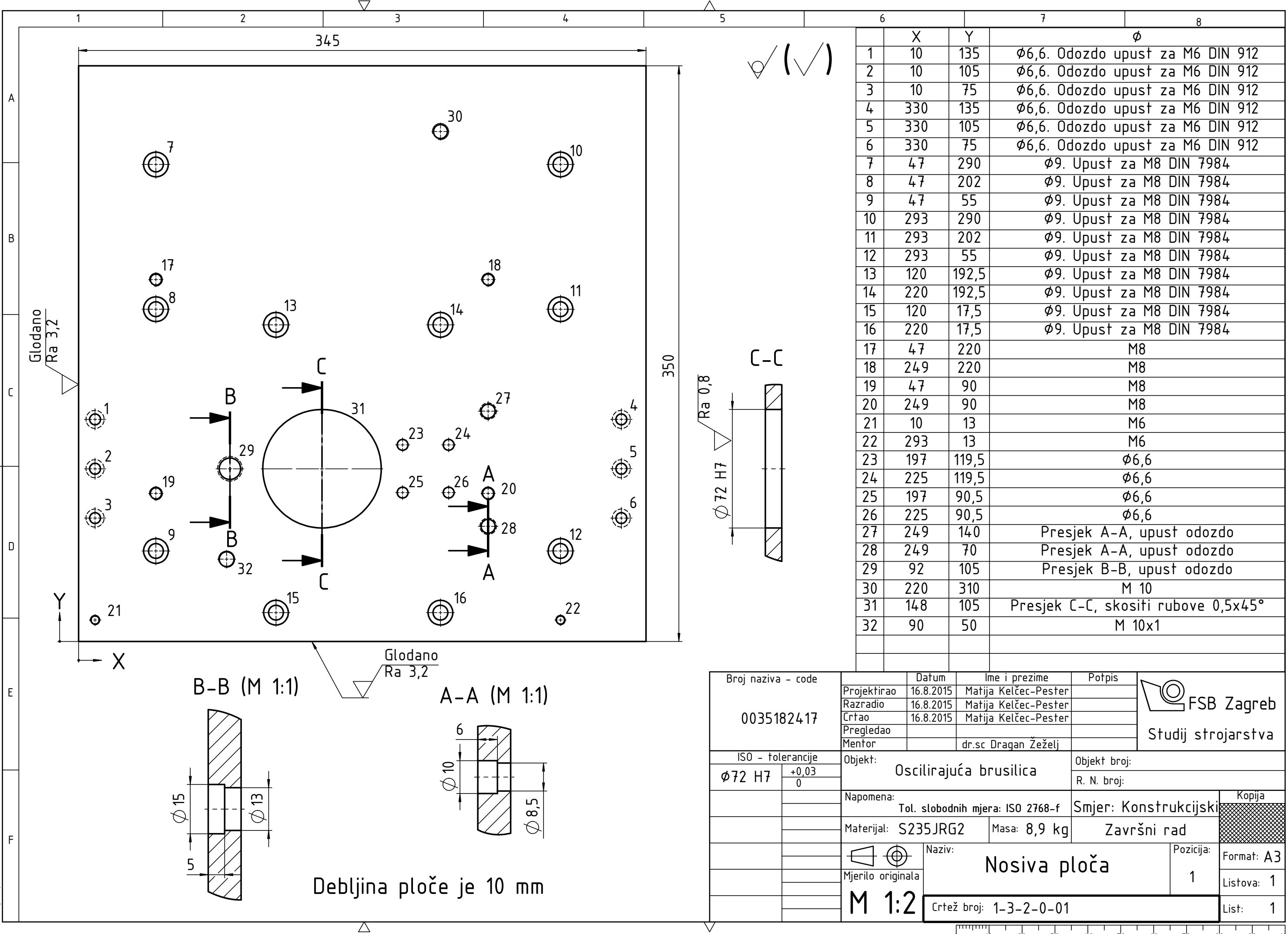
B  
C  
D  
E  
F

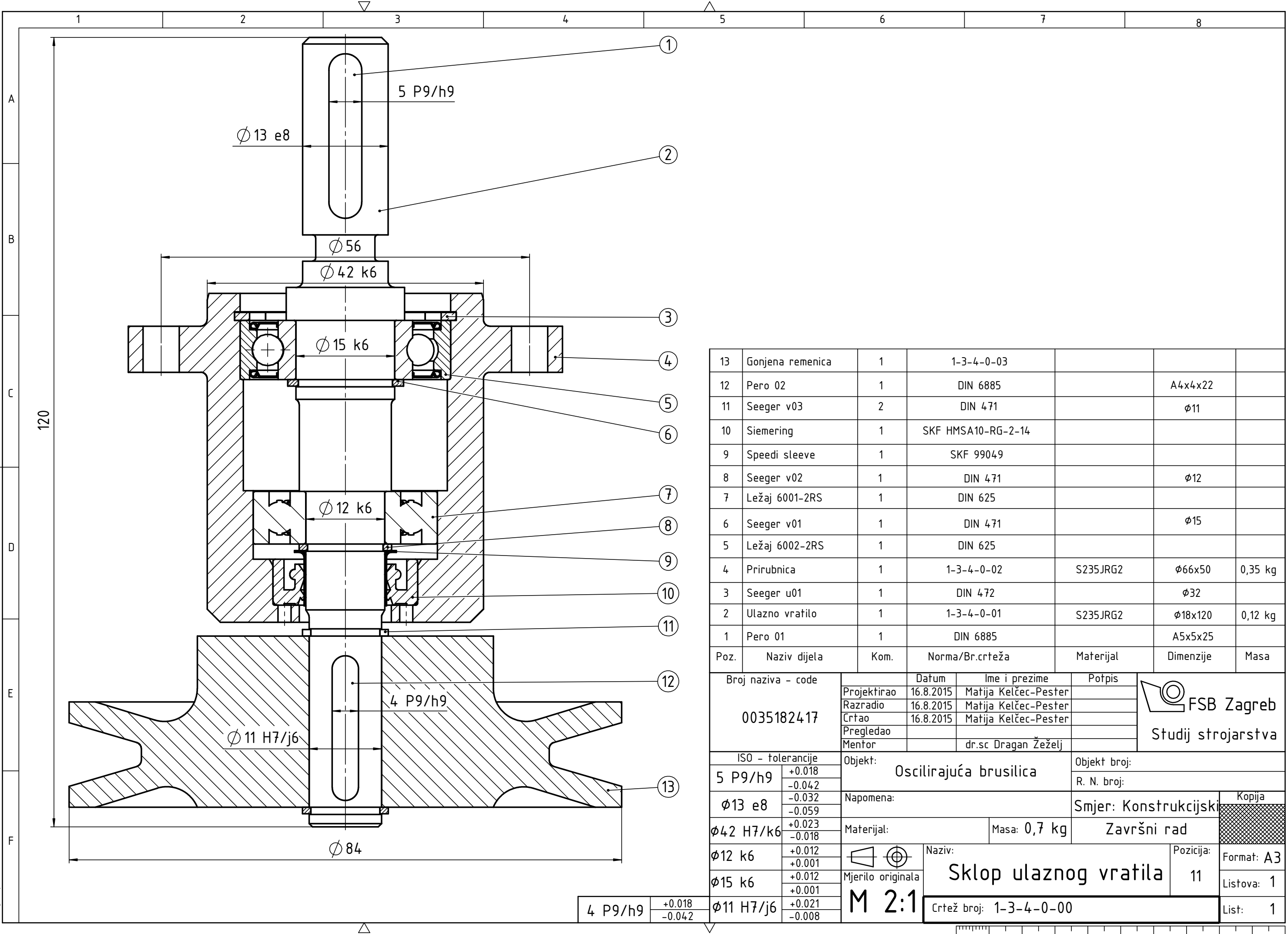
Broj zubi  $Z_2$  49  
Modul  $m$  2  
Diobeni promjer  $d_{m2}$  98  
Srednji promjer  $d_{m2}$  98  
Pomak profila  $x_2 \cdot m$  0  
Kut zahvata u normalnoj ravni  $\alpha_n$  20°  
Osni razmak  $a$   $63 \pm 0,023$   
Puž ZA  $Z_1$  1  
Smjer zavojnica Desni  
Srednji promjer  $d_{m1}$  28  
Debljina zuba  $S_{m2}$  3,134

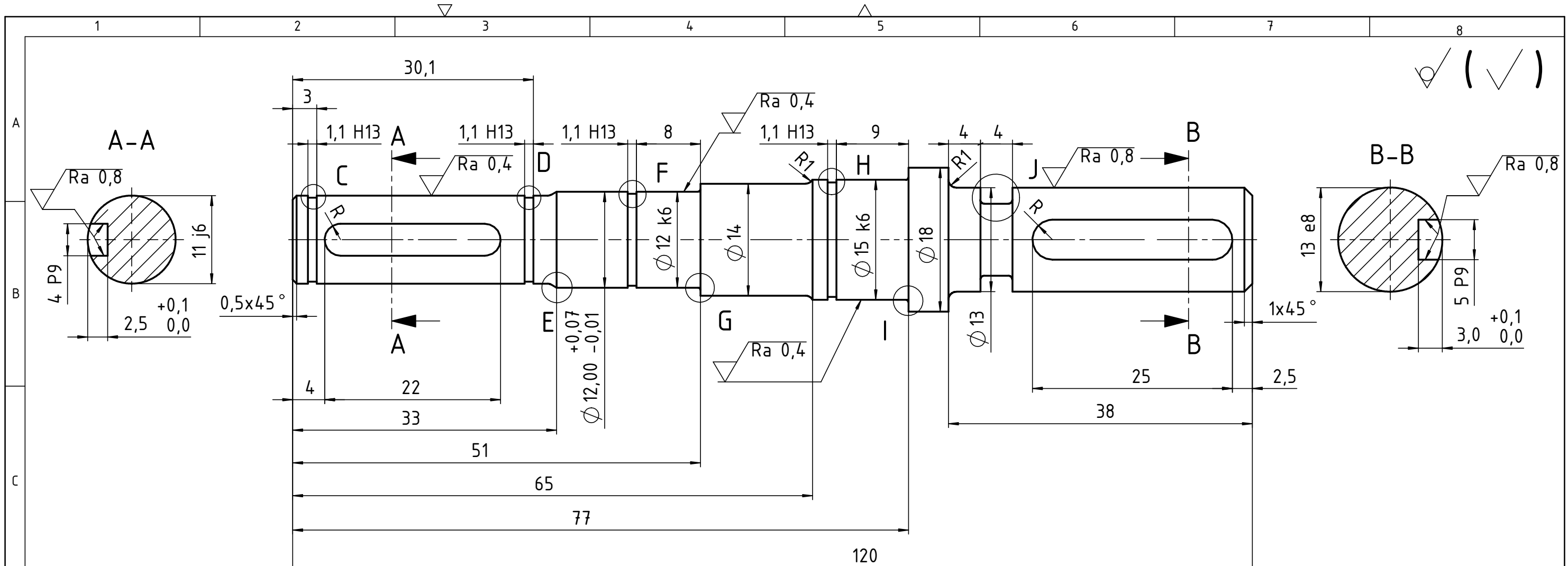


Pužno kolo			
Broj naziva - code	Datum	Ime i prezime	Potpis
0035182417	16.8.2015.	Marija Kelčec-Pester	 Studij strojarstva
ISO - tolerancije	Objekt:	Oscilirajuća brusilica	Objekt broj:
$\phi 58 \text{ g6}$ -0,01 -0,029	Razradio	16.8.2015. Marija Kelčec-Pester	R. N. broj:
$\phi 6 \text{ H11}$ -0,004 -0,012	Criao	16.8.2015. Marija Kelčec-Pester	
Materijal: EN-GJL250S	Masa: 1,7 kg	Završni rad	Kopija
Mjerilo originala	Naziv:	Pužno kolo	Pozicija: 1
M 1:1	Crtež broj:	1-3-1-1-01	Format: A3
			List: 1

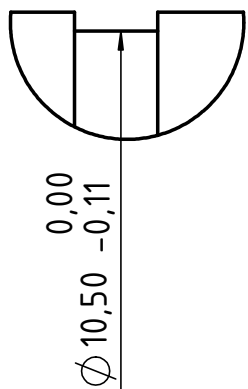




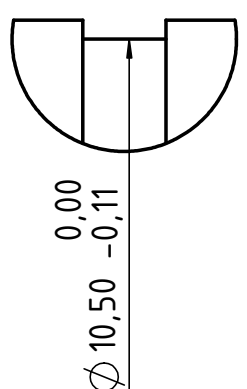




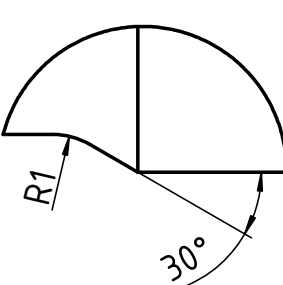
C (M 10:1)



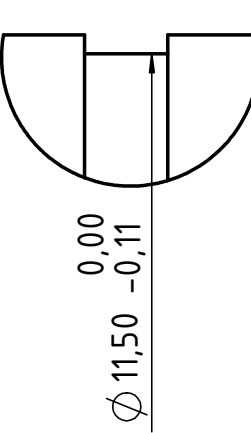
D (M 10:1)



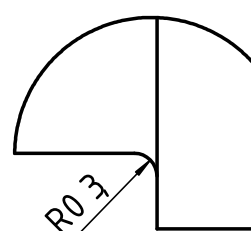
E (M10:1)



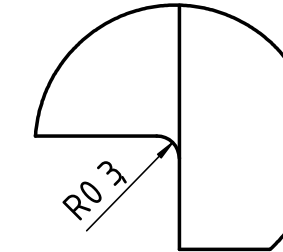
F (M 10:1)



G (M 10:1)

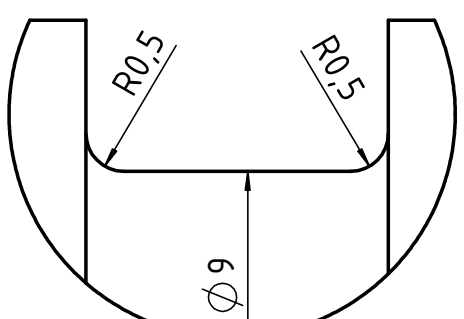


I (M 10:1

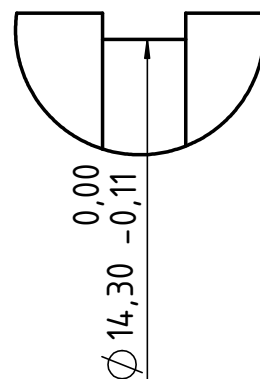


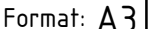
Središnji uvrt na  
čelnim stranama  
vratila je A1,6 DIN 332.

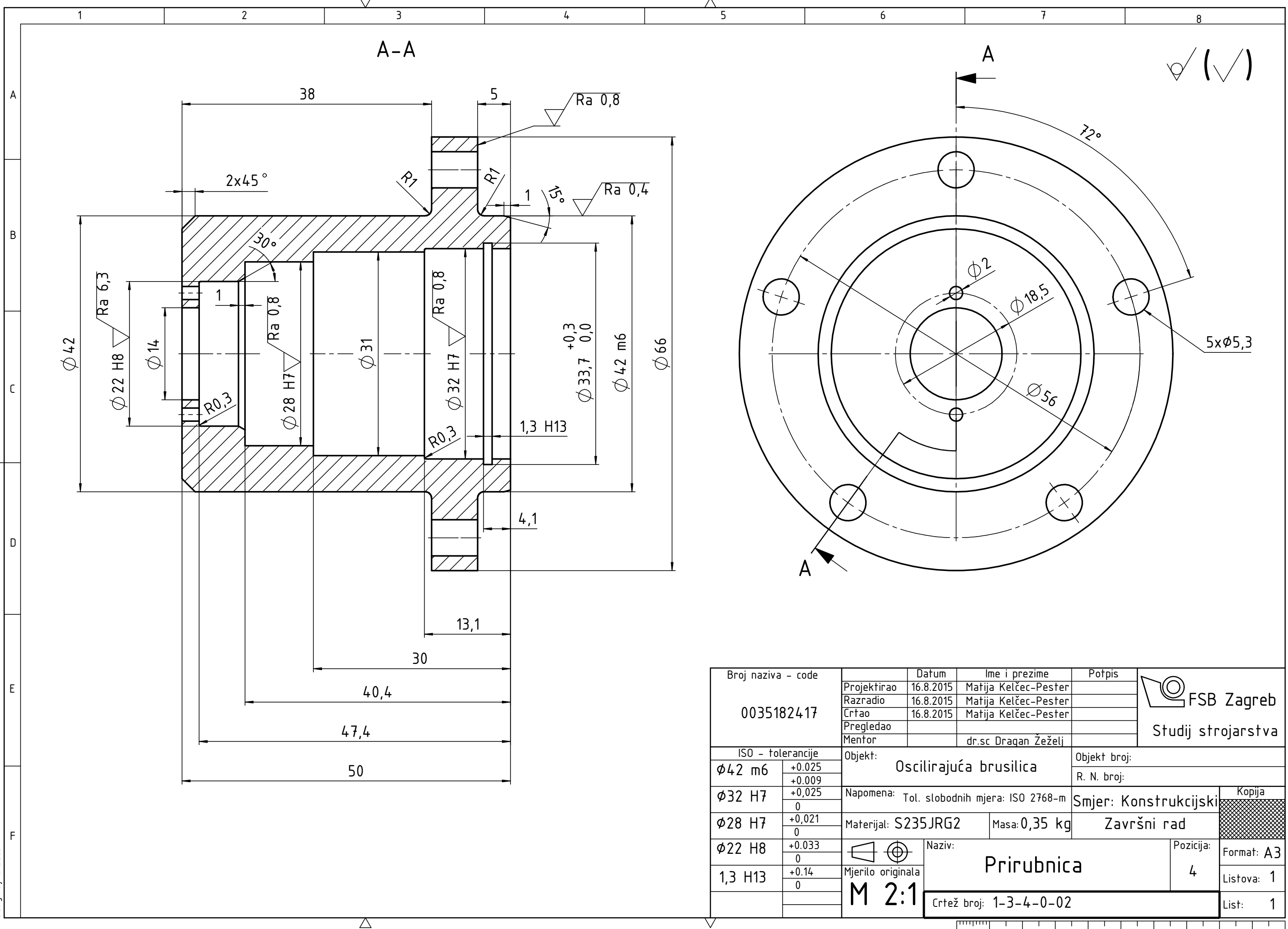
J (M 10:1)

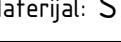


H (M 10:1)



Broj naziva - code <b>0035182417</b>		Datum	Ime i prezime	Potpis	 <b>FSB Zagreb</b> <b>Studij strojarstva</b>
		Projektirao	16.8.2015	Matija Kelčec-Pester	
		Razradio	16.8.2015	Matija Kelčec-Pester	
		Crtao	16.8.2015	Matija Kelčec-Pester	
		Pregledao			
Mentor		dr.sc Dragan Žeželj			
ISO - tolerancije		Objekt: <b>Oscilirajuća brusilica</b>	Objekt broj:		
<b>Ø15 k6</b>	+0.012	Napomena: Tol. slobodnih mjera: ISO 2768-m	Smjer: Konstrukcijski		
	+0.001				
<b>Ø13 e8</b>	-0.032	Materijal: S235JRG2	Masa: 0,12 kg	Završni rad	
	-0.059				
<b>Ø12 k6</b>	+0.012	Naziv: <b>Ulagno vratilo</b>	Pozicija: 2		
	+0.001				
<b>Ø11 j6</b>	+0.008	Mjerilo originala	Format: A3		
	-0.003				
<b>1,1 H13</b>	+0.14		Listova: 1		
	0				
<b>5 P9</b>	-0.012	Crtanje broj: 1-3-4-0-01	List: 1		
	-0.042				



Broj naziva - code <b>0035182417</b>		Datum Projektirao Razradio Crtao Pregledao Mentor	Ime i prezime Matija Kelčec-Pester Matija Kelčec-Pester Matija Kelčec-Pester dr.sc Dragan Žeželj	Potpis	 FSB Zagreb Studij strojarstva
ISO - tolerancije		Objekt: <b>Oscilirajuća brusilica</b>	Objekt broj: R. N. broj:		
<b>Ø42 m6</b>	+0.025 +0.009	Napomena: Tol. slobodnih mjera: ISO 2768-m		<b>Smjer: Konstrukcijski</b>	Kopija
<b>Ø32 H7</b>	+0.025 0	Materijal: S235JRG2		Masa: 0,35 kg	Završni rad
<b>Ø28 H7</b>	+0,021 0				
<b>Ø22 H8</b>	+0.033 0		Naziv: <b>Prirubnica</b>	Pozicija: 4	Format: A3
<b>1,3 H13</b>	+0.14 0	Mjerilo originala <b>M 2:1</b>			Listova: 1
			Crtež broj: 1-3-4-0-02		List: 1

